



TESIS - ME142516

MONITORING KONSUMSI BAHAN BAKAR DAN ESTIMASI EMISI GAS BUANG BERDASARKAN KINERJA KAPAL MENGGUNAKAN DATA *AUTOMATIC IDENTIFICATION SYSTEM (AIS)* UNTUK MENGHITUNG ENERGI EFFICIENCY OPERASIONAL INDEX

AL TAQNA ADAM WIJAYA

04211850010007

DOSEN PEMBIMBING

Dr. I Made Ariana, S.T., M.T.

Dr. Eng. Dhimas Widhi Handani, S.T., M.Sc.

PROGRAM MAGISTER
DEPARTEMEN TEKNIK SISTEM PERKAPALAN
FAKULTAS TEKNOLOGI KELAUTAN
INSTITUT TEKNOLOGI SEPULUH NOPEMBER
SURABAYA
2020

Halaman ini sengaja dikosongkan



THESIS - ME142516

FUEL CONSUMPTION MONITORING AND ESTIMATION OF EXHAUST GAS EMISSION BASED ON SHIP PERFORMANCE USING AUTOMATIC IDENTIFICATION SYSTEM (AIS) DATA TO CALCULATE EFFICIENCY ENERGY OPERATIONAL INDEX

AL TAQNA ADAM WIJAYA

04211850010007

SUPERVISOR

Dr. I Made Ariana, S.T., M.T.

Dr. Eng. Dhimas Widhi Handani, S.T., M.Sc.

MASTER PROGRAM
MARINE ENGINEERING DEPARTMENT
FACULTY OF MARINE TECHNOLOGY
INSTITUT TEKNOLOGI SEPULUH NOPEMBER
SURABAYA
2020

Halaman ini sengaja dikosongkan

LEMBAR PENGESAHAN TESIS

Tesis disusun untuk memenuhi salah satu syarat memperoleh gelar
Magister Teknik (M. T.)
di
Institut Teknologi Sepuluh Nopember
Oleh
Al Taqna Adam Wijaya
NRP. 04211850010007

Tanggal Ujian : 16 Januari 2020
Periode Wisuda : Desember 2020

Disetujui oleh:

Pembimbing:

1. Dr. I Made Ariana, S.T., M.T.
NIP. 1971 0610 1995 12 1001
2. Dr. Dhimas Widhi Handani, ST., M.Sc.
NIP. 1987 0527 2014 04 1001

Pengaji:

1. Prof. Dr. Ketut Buda Artana, S.T., M.Sc.
NIP. 1971 0915 1994 12 1001
2. Beny Cahyono, ST., MT., Ph.D.
NIP. 1979 0319 2008 01 1008

Kepala Departemen Teknik Sistem Perkapalan
Fakultas Teknologi Kelautan



Beny Cahyono, ST., MT., Ph.D.
NIP. 1979 0319 2008 01 1008

Halaman ini sengaja dikosongkan

***MONITORING KONSUMSI BAHAN BAKAR DAN
ESTIMASI EMISI GAS BUANG BERDASARKAN
KINERJA KAPAL MENGGUNAKAN DATA
AUTOMATIC IDENTIFICATION SYSTEM (AIS)
UNTUK MENGHITUNG ENERGI EFFICIENCY
OPERATIONAL INDEX***

Nama mahasiswa : Al Taqna Adam Wijaya
NRP : 04211850010007
Pembimbing : Dr. I Made Ariana, S.T., M.T.
Dr. Dhimas Widhi Handani, ST., M.Sc.

ABSTRAK

Meningkatnya jumlah kapal laut berdampak pada peningkatan jumlah konsumsi bahan bakar dan emisi gas buang yang dihasilkan kapal ketika beroperasi. Analisa IEA dan ICCT menunjukkan jumlah emisi dan konsumsi tahun 2007 hingga 2015 relatif mengalami peningkatan. Emisi gas buang kapal menjadi salah satu sumber utama pencemaran lingkungan laut. Polutan yang berasal dari emisi kapal yang memiliki CO, Nox, HC, SO₂ dan CO₂ yang tinggi, bahkan polutan belerang dapat mengakibatkan risiko terganggunya sistem kesehatan manusia. Oleh karena itu dibutuhkan teknologi monitoring yang digunakan oleh user atau operator untuk memastikan bahwa kapal beroperasi secara efisien. Sistem monitoring yang terintegrasi diharapkan dapat melaporkan informasi seperti konsumsi bahan bakar, emisi serta EEOI yang dihasilkan oleh kapal. Algoritma yang dikembangkan dalam kajian ini menggunakan rumusan empiris Metode Holtrop (untuk dasar perhitungan tahanan) dan Metode Stawave (untuk perhitungan tahanan angin, gelombang, perubahan draft serta sifat air) yang ditulis dalam bahasa pemrograman PHP script. Bahasa pemrograman ini nantinya diharapkan menjadi dasar pengembangan pada interface suatu program untuk memunculkan data monitoring bahan bakar, EEOI serta emisi secara real time pada setiap kapal.

Kata Kunci : Monitoring Bahan Bakar, Emisi, EEOI, Holtrop, Stawave

Halaman ini sengaja dikosongkan

***FUEL CONSUMPTION MONITORING AND
ESTIMATION OF EXHAUST GAS EMISSION BASED
ON SHIP PERFORMANCE USING AUTOMATIC
IDENTIFICATION SYSTEM (AIS) DATA TO
CALCULATE EFFICIENCY ENERGY OPERATIONAL
INDEX***

Name : Al Taqna Adam Wijaya
NRP : 04211850010007
Supervisor : Dr. I Made Ariana, S.T., M.T.
Dr. Dhimas Widhi Handani, ST., M.Sc.

ABSTRACT

The increasing number of ships has an impact on increasing the amount of fuel consumption and exhaust emissions produced by ships when operating. Analysis of IEA and ICCT shows the amount of emissions and consumption in 2007 to 2015 relatively increased. Ship exhaust emissions become one of the main sources of pollution of the marine environment. Pollutants originating from emissions of ships that have high CO, Nox, HC, SO₂ and CO₂, even sulfur pollutants can cause the risk of disruption of the human health system. Therefore monitoring technology is used by the user or operator to ensure that the ship operates efficiently. An integrated monitoring system is expected to report information such as fuel consumption, emissions and EEOI generated by the ship. The algorithm developed in this study uses the empirical formulation of the Holtrop Method (for basic resistance calculations) and the Stawave Method (for calculation of wind resistance, waves, draft changes and water properties) written in the PHP script programming.. This programming is the basis of development at the interface of a program to bring up fuel monitoring data, EEOI and emissions in real time on each ship.

Keyword : Fuel Consumption Monitoring, Emission, EEOI, Holtrop, Stawave

Halaman ini sengaja dikosongkan

KATA PENGANTAR

Puji syukur penulis panjatkan ke hadirat Allah SWT karena dengan rahmat, karunia serta taufik hidayahnya penulis dapat menyelesaikan tesis dengan tepat waktu yang berjudul :

“MONITORING KONSUMSI BAHAN BAKAR DAN ESTIMASI EMISI GAS BUANG BERDASARKAN KINERJA KAPAL MENGGUNAKAN DATA AUTOMATIC IDENTIFICATION SYSTEM (AIS) UNTUK MENGHITUNG ENERGI EFFISIENSI OPERASIONAL INDEX”

Tesis ini sebagai syarat memperoleh gelar Magister Teknik pada bidang studi *Reliability, Availability, Maintainability and Safety* (RAMS) Program Studi S-2 Departemen Teknik Sistem Perkapalan, Fakultas Teknologi Kelautan, Institut Teknologi Sepuluh Nopember.

Pada kesempatan kali ini penulis menyampaikan terima kasih kepada semua pihak yang telah berperan dalam penyusunan Tesis ini, yaitu :

1. Kedua orang tua Soenaryo dan Dewi Sri Hartati atas perhatian dan dukungan moral serta materi yang diberikan kepada penulis serta Kak Qisha Aulia dan Aisyah yang selalu mensupport baik dengan dukungan maupun doa.
2. Bapak Dr. I Made Ariana, S.T., M.T., selaku dosen pembimbing pertama atas pelajaran baik tentang materi kuliah maupun pembelajaran dalam bersikap, yang selalu menginspirasi penulis, dan terimakasih telah memberikan begitu banyak kesempatan kepada penulis untuk mengexplore hal-hal yang baru yang menjadi impian bagi penulis.
3. Bapak Dr. Dhimas Widhi Handani, ST., M.Sc., selaku dosen pembimbing kedua atas kesabaran dalam mengajarkan ilmunya serta selalu membantu penulis ketika mengalami kesulitan dalam progres penggerjaan tesis.
4. Prof. Dr. Ketut Buda Artana, S.T., M.Sc. sebagai ketua laboratorium RAMS dan A. A. B Dinariyana S.T., MES., Ph. D selaku dosen di laboratorium RAMS

yang selalu memberikan arahan, pelajaran dan wejangan kepada mahasiswanya.

5. Teman-teman seperjuangan tesis yaitu Barok, Desta, Pak Ghofur, Pak Guntur, Donny, Chika, Pak Ratno, Jangka semangat menuju wisuda ITS 121.
6. Hayy Nur Abdillah alias calon Ny. Wijaya terima kasih atas segala perhatian dan segala bentuk support moral. Semangat menempuh studi s3 ya.
7. Vario H 6067 AH terima kasih sudah menemani kemanapun pergi dalam mengarungi perjuangan di Kota Surabaya.

Tesis ini tentunya masih jauh dari sempurna, oleh karena itu kritik dan saran yang membangun atas ketidaksempurnaan penyusunan Tesis ini sangat penulis harapkan. Semoga Tesis ini dapat memberi manfaat bagi para pembaca pada umumnya dan penyusun pada khususnya.

Surabaya, 12 Januari 2020

Penulis

DAFTAR ISI

| | |
|---|-----|
| ABSTRAK | i |
| ABSTRACT | iii |
| KATA PENGANTAR | v |
| DAFTAR GAMBAR | ix |
| DAFTAR TABEL..... | xi |
| BAB I PENDAHULUAN..... | 1 |
| 1.1 Latar Belakang..... | 1 |
| 1.2 Perumusan Masalah..... | 5 |
| 1.3 Tujuan Tesis | 6 |
| 1.4 Manfaat..... | 6 |
| 1.5 Batasan Masalah..... | 7 |
| BAB II TINJAUAN PUSTAKA..... | 9 |
| 2.1 <i>Automatic Indentification System (AIS)</i> | 9 |
| 2.2 Efisiensi Energi Operational Index | 9 |
| 2.3 Parameter Kinerja Kapal | 11 |
| 2.4 Daya Kapal dan Konsumsi Bahan Bakar Kapal..... | 16 |
| 2.5 PHP <i>Script</i> | 18 |
| 2.6 MySQL <i>Script</i> | 18 |
| BAB III METODOLOGI PENELITIAN..... | 21 |
| 3.1 Perumusan Masalah..... | 22 |
| 3.2 Studi Literatur..... | 23 |
| 3.3 Pengambilan Data..... | 23 |
| 3.4 BMKG (Badan Meteorologi, Klimatologi, dan Geofisika)..... | 23 |
| 3.5 Parameter Kinerja Kapal | 25 |
| 3.6 Daya Kapal dan Konsumsi Bahan Bakar Kapal..... | 29 |
| 3.7 Perhitungan Bahan Bakar dan Emisi | 31 |
| 3.8 Perhitungan EEOI..... | 32 |
| 3.9 Pembuatan Browser..... | 33 |
| 3.10 Pembuatan Display Mapping..... | 33 |
| 3.11 Verifikasi dan Komparasi | 34 |

| | |
|--|----|
| BAB IV ANALISA DAN PEMBAHASAN | 35 |
| 4.1 Umum | 35 |
| 4.2 Pengambilan Data..... | 35 |
| 4.3. Perhitungan Tahanan Menggunakan Metode Holtrop | 51 |
| 4.4 Perhitungan Tahanan Menggunakan Metode STAWAVE | 59 |
| 4.5. Perhitungan Konsumsi Bahan Bakar..... | 66 |
| 4.6. Perhitungan Emisi | 74 |
| 4.7 Validasi Perhitungan Empiris Konsumsi Bahan Bakar dengan Pengukuran Kondisi Aktual | 79 |
| 4.8 Index Effisiensi (EEOI)..... | 83 |
| BAB V KESIMPULAN DAN SARAN..... | 89 |
| 5.1 Kesimpulan..... | 89 |
| 5.2. Saran | 90 |
| DAFTAR PUSTAKA | 91 |

DAFTAR GAMBAR

| | |
|---|----|
| Gambar 1. 1 Data Peningkatan Jumlah Kapal Niaga Dunia | 1 |
| Gambar 1. 2 Total Estimasi Konsumsi Bahan Bakar dari IEA, IMO da ICCT | 2 |
| Gambar 3. 1 Diagram Alir Metodologi Penelitian | 21 |
| Gambar 3. 2 Peta Prakiraan Tinggi Gelombang | 24 |
| Gambar 3. 3 Peta Prakiraan Arah dan Kecepatan Angin | 25 |
| Gambar 4. 1 Rute Pelayaran KM. Doro Londa Surbaya – Jakarta..... | 37 |
| Gambar 4. 2 Rute Pelayaran KM. Doro Londa Jakarta – Surabya | 38 |
| Gambar 4. 3 Validasi Rute KM.Doro Londa Surabaya – Jakarta | 39 |
| Gambar 4. 4 Konsumsi Bahan Bakar KM. Doro Londa Surabaya – Jakarta 9 s.d 10 Oktober 2019..... | 42 |
| Gambar 4. 5 Flow Rate Konsumsi Bahan Bakar KM Doro Londa 9 s.d 10 Oktober 2019..... | 43 |
| Gambar 4. 6 Konsumsi Bahan Bakar KM Doro Londa tanggal 11 s.d 12 Oktober 2019..... | 46 |
| Gambar 4. 7 Flow Rate Konsumsi Bahan Bakar KM. Doro Londa 11 s.d 12 Oktober 2019..... | 47 |
| Gambar 4. 8 Peta Perkiraan Gelombang pada tanggal 10 Oktober 2019..... | 50 |
| Gambar 4. 9 Peta Perkiraan arah angin pada tanggal 10 Oktober 2019 | 51 |
| Gambar 4. 10 Nilai c_{stem} yang di dapat dari hasil pendekatan gambar yang menyerupai bentuk potongan badan kapal kita | 52 |
| Gambar 4. 11 Grafik tahanan KM. Doro Londa Rute Surabaya-Jakarta berdasarkan Metode Holtrop dengan 25 variasi lokasi dan kondisi lingkungan yang berbeda | 56 |
| Gambar 4. 12 Grafik tahanan KM. Doro Londa Rute Jakarta-Surabaya berdasarkan Metode Holtrop dengan 25 variasi lokasi dan kondisi lingkungan yang berbeda | 58 |
| Gambar 4. 13 Grafik koreksi tahanan KM. Doro Londa Rute Surabaya-Jakarta berdasarkan Metode STAWAVE dengan 25 variasi lokasi dan kondisi lingkungan yang berbeda. | 63 |
| Gambar 4. 14 Grafik koreksi tahanan KM. Doro Londa Rute Jakarta- Surabaya berdasarkan Metode STAWAVE dengan 25 variasi lokasi dan kondisi lingkungan yang berbeda. | 65 |

| | |
|---|----|
| Gambar 4. 15 Grafik tahanan total KM. Doro Londa berdasarkan Metode STAWAVE dan Metode Holtrop dengan 25 variasi lokasi serta kondisi lingkungan yang berbeda | 66 |
| Gambar 4. 16 Grafik <i>flow rate</i> bahan bakar KM. Doro Londa Surabaya-Jakarta | 73 |
| Gambar 4. 17 Grafik <i>flow rate</i> bahan bakar KM. Doro Londa Jakarta-Surabaya | 73 |
| Gambar 4. 18 Grafik Perhitungan Komulatif Bahan Bakar secara Empiris Vs Pengukuran Aktual KM. Doro Londa Rute Surabaya-Jakarta..... | 79 |
| Gambar 4. 19 Grafik Perhitungan Komulatif Bahan Bakar secara Empiris Vs Pengukuran Aktual KM. Doro Londa Rute Jakarta-Surabaya..... | 80 |

DAFTAR TABEL

| | |
|---|----|
| Tabel 1. 1. Perbandingan Emisi CO ₂ Pelayaran dengan Emisi CO ₂ Global | 3 |
| Tabel 2. 1 Faktor konversi massa bahan bakar menjadi CO ₂ | 10 |
| Tabel 4. 1. Ship Particular KM. Doro Londa | 36 |
| Tabel 4. 2. Tabel Posisi Latitude & Longitude KM. Doro Londa tanggal 9 s.d 10 Oktober 2019..... | 36 |
| Tabel 4. 3 Posisi Latitude & Longitude KM. Doro Londa | 37 |
| Tabel 4. 4 Record Konsumsi Bahan Bakar KM. Doro Londa tanggal 9 s.d 10 Oktober 2019..... | 40 |
| Tabel 4. 5 Record Konsumsi Bahan Bakar KM. Doro Londa tanggal 11 s.d 12 Oktober 2019..... | 44 |
| Tabel 4. 6 Data BMKG berdasarkan Posisi Latitude & Longitude KM Doro Londa pada Tanggal 9 s.d 10 Oktober 2019 | 48 |
| Tabel 4. 7 Data BMKG berdasarkan Posisi Latitude & Longitude KM Doro Londa pada Tanggal 9 s.d 10 Oktober 2019 | 49 |
| Tabel 4. 8 <i>Range of variables for statistical power prediction method</i> | 51 |
| Tabel 4. 9. <i>Approximate 1 + k₂ values</i> | 54 |
| Tabel 4. 10. Hasil Perhitungan Empiris Tahanan berdasarkan Metode Holtrop Rute Surabaya-Jakarta | 57 |
| Tabel 4. 11. Hasil Perhitungan Empiris Tahanan berdasarkan Metode Holtrop Rute Jakarta-Surabaya | 58 |
| Tabel 4. 12 Hasil Perhitungan Empiris Tahanan Tambahan berdasarkan Metode STWAVE Rute Surabaya-Jakarta | 62 |
| Tabel 4. 13 Hasil Perhitungan Empiris Tahanan Tambahan berdasarkan Metode STWAVE Rute Jakarta- Surabaya..... | 64 |
| Tabel 4. 14. Hasil Perhitungan Konsumsi Bahan Bakar Rute Surabaya-Jakarta. | 70 |
| Tabel 4. 15. Hasil Perhitungan Konsumsi Bahan Bakar Rute Jakarta-Surabaya. | 72 |
| Tabel 4. 16. Hasil Perhitungan Emisi KM. Doro Londa Rute Surabaya-Jakarta. | 77 |
| Tabel 4. 17. Hasil Perhitungan Emisi KM. Doro Londa Rute Jakarta–Surabaya | 78 |
| Tabel 4. 18. Rekapitulasi Perhitungan Konsumsi Bahan Bakar secara Empiris VS Pengukuran Konsumsi Bahan Bakar secara Aktual..... | 81 |

| | |
|--|----|
| Tabel 4. 19. Faktor konversi massa bahan bakar menjadi CO ₂ | 87 |
| Tabel 4. 20. Massa muatan yang diangkut | 87 |

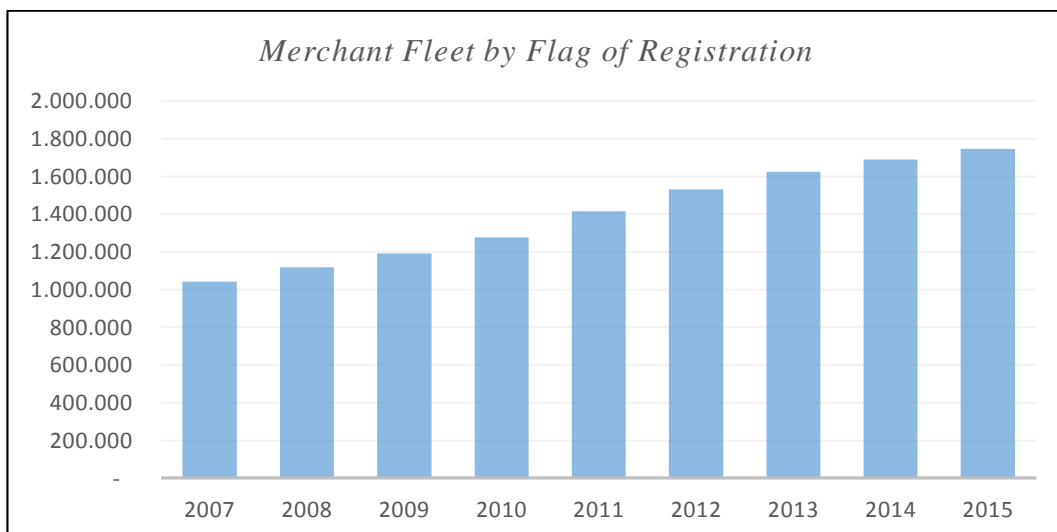
BAB I

PENDAHULUAN

1.1 Latar Belakang

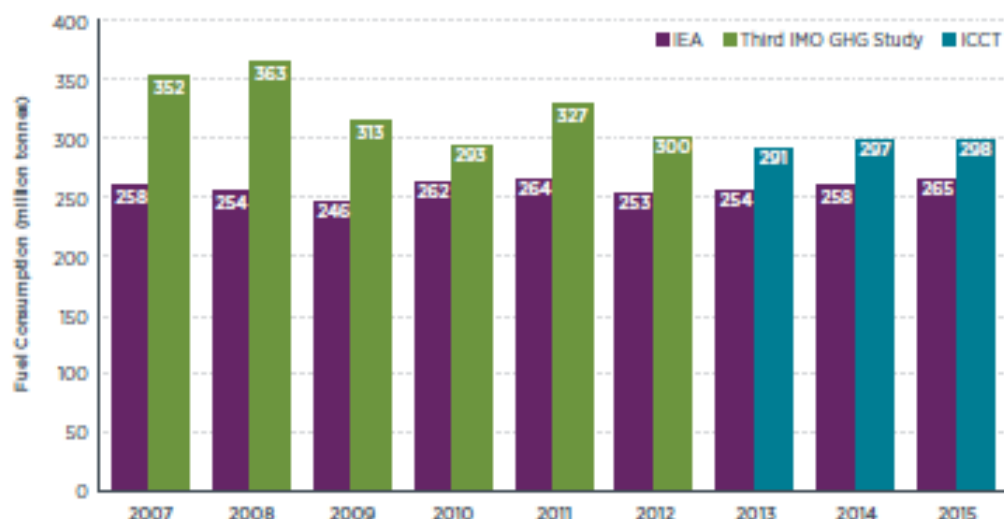
Sektor transportasi mempunyai peranan penting sebagai urat nadi dalam pembangunan nasional untuk membawa dampak positive dalam perkembangan suatu negara. Sektor transportasi merupakan bagian yang dominan dalam pembangunan di bidang politik, ekonomi, sosial, budaya dan pertahanan keamanan. Sejalan dengan program Nawa Cita yang digagas oleh Pemerintah bahwa peranan transportasi diharapkan dapat menghubungkan wilayah perairan Indonesia, yang dalam era perekonomian global arus persaingannya menjadi sangat ketat, sebuah persaingan yang menuntut adanya proses bisnis yang cepat, aman dan efisien. Seluruh keterkaitan ini akan menjadi penentu dalam era perdagangan bebas pada abad ini. Selain sarana, juga diperlukan prasarana transportasi sebagai salah satu upaya untuk membangkitkan pembangunan nasional (Wagijono, 2011).

Sebagian besar dari semua perdagangan global terjadi melalui kapal. Pada waktu tertentu, ada ribuan kapal yang beroperasi di seluruh dunia. Pada tiap tahun selalu ada peningkatan jumlah kapal yang diregistrasi. Data tersebut bisa dilihat melalui Gambar 1. 1 (UNCTADSTAT, 2015).



Gambar 1. 1 Data Peningkatan Jumlah Kapal Niaga Dunia
Sumber : (UNCTADSTAT, 2015)

Meningkatnya jumlah kapal laut berdampak pada peningkatan jumlah konsumsi bahan bakar dan emisi gas buang yang dihasilkan kapal ketika beroperasi. Data pada Gambar 1. 2 menunjukkan jumlah emisi dan konsumsi tahun 2007 hingga 2015 relatif mengalami peningkatan sesuai analisa IEA dan ICCT. Total konsumsi bahan bakar pengiriman meningkat dari 291 juta ton menjadi 298 juta ton (+ 2,4%) jika dilihat pada 3 tahun terakhir dari tahun 2013 hingga tahun 2015. Seperti Studi GHG Ketiga IMO, perkiraan konsumsi bahan bakar secara sistematis lebih tinggi daripada perkiraan konsumsi bahan bakar (IEA) dari Badan Energi Internasional . Namun, kesenjangan estimasi IEA lebih kecil dari Studi GHG IMO. Ini kemungkinan merupakan hasil dari peningkatan cakupan data AIS dari waktu ke waktu, yang mengurangi ketidakpastian estimasi (Olmer, et al., 2017).



Gambar 1. 2 Total Estimasi Konsumsi Bahan Bakar dari IEA, IMO da ICCT,
Sumber : (Olmer, et al., 2017)

Data Tabel 1. 1 menunjukkan bahwa total emisi pengiriman CO₂ meningkat dari 910 juta ton menjadi 932 juta ton (+ 2,4%) pada 3 tahun terakhir yaitu dari tahun 2013 hingga tahun 2015. Emisi pelayaran internasional meningkat 1,4%; emisi pelayaran domestik meningkat 6,8%; dan emisi perikanan meningkat sebesar 17%. Pada 2015, total emisi pengiriman bertanggung jawab atas 2,6% emisi CO₂ global dari penggunaan bahan bakar fosil dan proses industri. Perkapalan

internasional berkontribusi paling besar, mewakili sekitar 87% total emisi CO₂ dari kapal setiap tahun (Olmer, et al., 2017).

Tabel 1. 1. Perbandingan Emisi CO₂ Pelayaran dengan Emisi CO₂ Global

| Item | Third IMO GHG Study (Million Tonnes) | | | | | | ICCT (Million Tonnes) | | |
|--|--------------------------------------|--------|--------|--------|--------|--------|-----------------------|--------|--------|
| | 2007 | 2008 | 2009 | 2010 | 2011 | 2012 | 2013 | 2014 | 2015 |
| Global CO₂ Emissions | 31,95 | 32,13 | 31,82 | 33,66 | 34,72 | 34,96 | 35,67 | 36,08 | 36,06 |
| International Shipping | 881 | 916 | 858 | 773 | 853 | 805 | 801 | 813 | 812 |
| Domestic Shipping | 133 | 139 | 75 | 83 | 110 | 87 | 73 | 78 | 78 |
| Fishing | 86 | 80 | 44 | 58 | 58 | 51 | 36 | 39 | 42 |
| Total Shipping % of Global | 1,100 | 1,135 | 977 | 914 | 1,021 | 942 | 910 | 930 | 932 |
| | 3,50 % | 3,50 % | 3,10 % | 2,70 % | 2,90 % | 2,60 % | 2,50 % | 2,60 % | 2,60 % |

Sumber : (*Olmer, et al., 2017*)

Emisi gas buang menjadi ancaman serius untuk masyarakat yang tinggal di sekitar wilayah pesisir. Polutan berasal dari emisi kapal yang memiliki kandungan SO₂ tinggi dan polutan lainnya (K.W. Ng. Simon, 2013). Emisi gas buang kapal menjadi salah satu sumber utama pencemaran lingkungan laut. Konten belerang akan meningkatkan risiko manusia pada pengurangan kesehatan. Kualitas atmosfer berkorelasi dengan kesehatan manusia. Hal ini secara signifikan berdampak pada risiko kesehatan di sepanjang area yang memiliki lalu lintas kapal yang padat (A.J.Hedley, 2002).

Pada saat yang sama, ada peraturan lingkungan baru yang diterapkan di seluruh dunia. Saat ini, setiap kapal yang bepergian di area kendali emisi (ECA) dimana emisi yang dihasilkan oleh bahan bakar mengandung sulfur rendah, tetapi mulai tahun 2020, Organisasi Maritim Internasional (IMO) akan menerapkan pada semua kapal untuk menggunakan bahan bakar sulfur rendah di mana pun mereka beroperasi. Dalam hal ini dilakukan untuk menekan pencemaran udara oleh emisi yang dihasilkan kapal ketika beroperasi (S&P Global Platts, 2016).

Maka dibutuhkan teknologi pemantauan kinerja yang digunakan oleh pemilik kapal untuk memastikan bahwa kapal beroperasi secara efisien. Pada umumnya ada beberapa faktor yang menunjang kinerja kapal yaitu kondisi lambung, kondisi baling-balingnya, kondisi perairan saat berlayar, komposisi kandungan bahan bakar, dan lain lain. Sebagai contoh ketika kapal beroperasi dengan jenjang waktu yang lama, lambung dan baling-baling dapat menjadi kotor (pertumbuhan organisme laut di kapal). Mungkin ada penurunan kinerja kapal yang signifikan dari waktu ke waktu. Dan dibutuhkan teknik pemantauan atau monitoring kinerja memungkinkan pemilik kapal, operator, dan penyewa untuk melacak kinerja kapal dari waktu ke waktu. Teknik-teknik pemantauan kinerja juga dapat memungkinkan penyewa kapal untuk dapat membandingkan satu kapal dengan yang lain untuk membantu menentukan kapal mana yang lebih hemat biaya untuk disewa.

Beberapa kapal yang lebih baru memiliki perancangan sistem monitoring khusus yang diinstal mencakup pemasangan sensor dan sistem pembelajaran mesin untuk mengevaluasi kinerja kapal. Namun, sebagian besar kapal tidak memiliki sistem monitoring. Pada kapal-kapal ini, satu-satunya informasi kinerja dapat secara manual direkam pada laporan ABK, rekaman informasi kunci sekali sehari seperti lokasi, kecepatan, kondisi cuaca, dan penggunaan bahan bakar. Teknik monitoring dikembangkan dalam tesis sebelumnya dengan asumsi yang bahwa kecepatan kapal dan kondisi cuaca tidak berubah selama satu hari penuh dapat menyebabkan kesalahan besar dalam analisis.

Sekalipun kapal tidak memiliki sensor yang terpasang di kapal, ada sumber informasi lain yang dapat digunakan untuk membantu mengevaluasi kinerja kapal. Banyak kapal besar dan semua kapal penumpang berapapun ukurannya diperlukan untuk dilengkapi dengan *Automatic Identification System* (AIS). Sistem AIS secara otomatis melaporkan informasi utama termasuk posisi, kursus, dan kecepatan, antara data lainnya. Data AIS secara otomatis ditransmisikan dari kapal setiap 30 detik atau 3 menit, tergantung pada kecepatan kapal saat ini. Kajian ini bertujuan untuk mempelajari berbagai cara data AIS dalam frekuensi tinggi yang kemudian

dapat diaplikasikan dalam teknik monitoring untuk meningkatkan analisis kinerja kapal, dengan mengembangkan model analisis monitoring. Integrasi ekonomi internasional memberikan peluang luar biasa bagi negara-negara berkembang untuk mencapai pembangunan ekonomi melalui jalur perdagangan dan investasi internasional. Upaya internasional untuk mengurangi dan menghapus hambatan berbasis peraturan dan hambatan non-tarif terhadap perdagangan telah meningkatkan akses negara-negara berkembang ke pasar industri utama dengan meningkatkan daya saing relatif barang mereka. Pengurangan hambatan-hambatan mendorong peningkatan daya saing perdagangan antar negara, dan menjadikan barang tersedia untuk setiap individu dengan berbagai ragam dan pilihan

Oleh karena itu pentingnya memonitoring seluruh kinerja kapal saat berlayar harus bisa dipastikan agar terpantau untuk dikendalikan. Perangkat (AIS) yang digunakan dengan tujuan awal untuk mengetahui informasi tentang kinerja kapal dan konsumsi bahan bakarnya serta index emisi yang dikeluarkan oleh kapal ketika kapal beroperasi. AIS merupakan alat yang memancarkan gelombang VHF untuk memberikan informasi kepada pihak luar (kapal lain, pelabuhan, administrator, charter, Owner Superintendent, dll).

Dengan penggunaan (AIS) dapat mengidentifikasi *Maritime Mobile Service Identity* (MMSI) kapal, kecepatan, posisi, dimensi dan tipe kapal. Dari data ini kita gabungkan dengan data *shipping database* yang menyediakan berbagai informasi dari kapal salah satunya adalah *Gross Tonnage* (GT) yang dari data tersebut dapat kita analisa sehingga dapat memberikan informasi kepada pihak perusahaan perkapalan tentang informasi yang berkaitan dengan operasional bahan bakar kapal saat berlayar secara *realtime* .

1.2 Perumusan Masalah

Permasalahan pokok pada tesis ini antara lain :

1. Bagaimana merumuskan algoritma perhitungan konsumsi bahan bakar, emisi, dan EEOI dengan mempertimbangkan kondisi pelayaran secara aktual?

2. Bagaimana memvalidasi hasil algoritma perhitungan konsumsi bahan bakar dengan data *Engine Log Book* atau data aktual operasional kapal?
3. Bagaimana mengestimasi Index Effisiensi (EEOI) dan emisi dari data aktual secara hitungan empiris dituliskan di bahasa pemrograman PHP script?

1.3 Tujuan Tesis

Secara umum tujuan penelitian ini adalah untuk :

1. Mengembangkan rumusan algoritma perhitungan bahan bakar, emisi dan EEOI dengan mempertimbangkan kondisi pelayaran secara aktual berdasarkan pendekatan rumusan empiris.
2. Memverifikasi hasil algoritma perhitungan rumusan empiris konsumsi bahan bakar yang berdasarkan kondisi pelayaran secara aktual dengan laporan penggunaan bahan bakar (*Engine Log Book*)
3. Menghitung Index Effisiensi (EEOI) dan emisi berdasarkan data aktual secara rumusan empiris untuk kemudian dituliskan di bahasa pemrograman PHP script.

1.4 Manfaat

Kebermanfaatan pada penelitian ini menyangkai beberapa pihak dalam operasional kegiatan pelayaran. Dari sudut pandang operator atau pemilik kapal digunakannya sistem berbasis monitoring armada sehingga dapat meningkatkan efisiensi dengan cara pengambilan keputusan yang lebih tepat. Dari sudut pandang regulator monitoring emisi memudahkan regulator untuk pengawasan dan implementasi peraturan terkait dan mendukung program penegakan peraturan secara tepat dan efisien.

Selain kebermanfaatan dari segi operator dan regulator, secara akademis penelitian ini memberikan kontribusi multidisiplin ke industri perkapalan. Pada era dimana industri perkapalan dituntut untuk lebih efisien implementasi multidisiplin diharapkan dapat memajukan industri perkapalan. Pemanfaatan sistem monitoring

merupakan salah satu usaha untuk mendigitalisasi industri perkapalan sehingga industri perkapalan dapat menjadi efisien dalam operasionalnya.

1.5 Batasan Masalah

Penelitian yang tidak dibatasi, maka cakupan penelitian dan hasilnya akan meluas, serta berpotensi tidak optimal. Oleh karena itu, penelitian ini akan dibatasi oleh beberapa poin yang diantaranya:

1. Optimasi data aktual pelayaran menjadi parameter perhitungan bahan bakar, produksi emisi dan EEOI yang dikeluarkan oleh *engine maker*.
2. Verifikasi hasil perhitungan empiris dengan data aktual (*Engine Log Book*) pemakaian bahan bakar di Kapal Doro Londa dengan rute pelayaran Surabaya-Jakarta dan sebaliknya.
3. Interpretasi hasil verifikasi konsumsi bahan bakar dan pengeluaran emisi sebagai parameter database untuk optimasi menjadi display kontrol bahan bakar dan emisi berbasis internet.

Halaman ini sengaja dikosongkan

BAB II

TINJAUAN PUSTAKA

2.1 Automatic Identification System (AIS)

Automatic Identification System (AIS) mengacu pada teknologi yang bekerja pada gelombang radio *Very High Frequency* (VHF) yang memungkinkan berbagai informasi kapal seperti nama, posisi, jenis, kecepatan, kursus, kargo, tujuan dll. Secara otomatis dipertukarkan antara kapal untuk mengirim serta antar kapal ke pantai secara real time. Sejak diperkenalkan ke berbagai sektor industri perkapalan, peran penting AIS telah dimainkan dalam memastikan keselamatan navigasi, keamanan maritim, pencarian dan penyelamatan kelautan dan perlindungan lingkungan di laut dan di darat telah diakui dengan baik. Saat ini, pemanfaatan jaringan stasiun AIS berbasis pantai untuk menangkap informasi kapal yang ditransmisikan dari peralatan AIS di atas kapal untuk melacak dan memantau kapal-kapal yang dekat dengan pantai telah menjadi praktik standar layanan pemantauan kapal untuk otoritas maritim di banyak negara. (Chen, 2014).

Untuk saat ini, AIS bisa mengenali kapal lebih dari 300 GT pada perjalanan internasional dan kapal lebih dari 500 GT pada rute domestik. Data statis dan dinamis dari kedua jenis kapal tersebut dapat diperoleh. Informasi dinamis diperbarui setiap 2 sampai 10 detik tergantung pada kecepatan kapal. Informasi statis terdiri dari MMSI (*Maritime Mobile Service Identify*), IMO *number*, *ships name*, *call sign*, *length and beam*, *type of ship*, *location of position-fixing antenna on the ship*. Informasi yang dinamis terdiri dari *Coordinated Universal Time* (UTC), *Course Over Ground* (COG), *Speed Over Ground* (SOG), *Heading*, *Navigation Status*. AIS data digunakan dalam kajian ini adalah MMSI *number*, *latitude and longitude*, IMO *number*. (Rizkie Garnawan, 2012)

2.2 Efisiensi Energi Operational Index

Indikator Operasional Efisiensi Energi didefinisikan sebagai perbandingan massa CO₂ yang dikeluarkan per satuan kerja transportasi. EEOI merupakan sebuah nilai representatif efisiensi energi operasi kapal selama satu periode yang konsisten

yang mewakili keseluruhan pola trading kapal. Bermacam satuan untuk periode dimana EEOI dihitung dapat digunakan dengan memperhitungkan pola operasi setiap individu kapal (misal satuan harian, satuan mingguan, satuan bulanan, satuan pelayaran dari pelabuhan ke pelabuhan, satuan pelayaran ke tujuan, dll). Untuk periode dimana EEOI dihitung, pelayaran dalam kondisi ballast maupun pelayaran yang tidak dimaksudkan untuk transportasi muatan, misalnya pelayaran untuk docking harus dimasukkan.

Faktor konversi massa bahan bakar menjadi CO₂, CF, merupakan faktor non dimensial antara konsumsi bahan bakar dan emisi CO₂ berdasarkan kandungan karbon. Nilai CF untuk setiap jenis bahan bakar ditunjukkan dalam Tabel 2. 1 berikut:

Tabel 2. 1 Faktor konversi massa bahan bakar menjadi CO₂

| Jenis Bahan Bakar | Referensi | $C_f(t - CO_2/t - Fuel)$ |
|--------------------------------------|-------------------|--------------------------|
| Diesel/Gas Oil | ISO8217 DMX-DMC | 3.206000 |
| Light Fuel Oil (LFO) | ISO8217 RMA-RMD | 3.151040 |
| Heavy Fuel Oil (HFO) | ISO8217 RME-RMK | 3.114400 |
| Liquefied Petroleum Gas (LPG) | Propane Butane | 3.000000 3.030000 |
| Liquefied Natural Gas (LNG) | - | 2.750000 |

Sumber : (WG/Efek, 2012)

EEOI menetapkan jumlah ton emisi CO₂ per ton mil laut dihitung menggunakan data operasional aktual (konsumsi bahan bakar, massa muatan yang diangkut, dan jarak berlayar) dan merupakan efisiensi energi kapal yang dicapai secara aktual selama operasi. EEOI dihitung sebagai berikut:

$$EEOI = \frac{(Faktor\ konversi\ massa\ bahan\ bakar\ menjadi\ CO_2) \times (Konsumsi\ bahan\ bakar)}{(massa\ muatan\ aktual\ yang\ diangkat) \times (jarak\ berlayar\ aktual)}$$

Perhitungan EEOI untuk setiap pelayaran secara detail dilakukan dengan menggunakan persamaan berikut :

$$EEOI = \frac{\sum_j FC_j \times C_{Fj}}{(m_{cargo})}$$

Untuk menghitung rata-rata EEOI dalam periode perhitungan termasuk beberapa pelayaran:

$$EEOI_{rata-rata} = \frac{\sum i \sum j (FC_j \times C_{Fj})}{\sum i (m_{cargo} \times D_i)}$$

dimana:

j : jenis bahan bakar

i : jumlah pelayaran

FC_j : massa bahan bakar yang dikonsumsi j pada pelayaran

C_{Fj} : massa bahan bakar untuk faktor konveri massa CO₂ untuk bahan bakar j pada pelayaran

m_{cargo} : muatan yang diangkut (ton) atau kerja yang dilakukan (jumlah TEU atau penumpang) atau gross tonnes untuk kapal penumpang.

D : jarak dalam mil laut sesuai dengan muatan yang diangkut atau kerja yang dilakukan.

Karena muatan cargo bervariasi tergantung pada jenis kapal, perlu dicatat bahwa satuan EEOI dapat bervariasi menurut jenis kapal. Dalam kasus di mana EEOI dihitung dengan hanya menggunakan data operasional pada kondisi ballast, EEOI mencapai nilai tak terbatas karena massa kargo yang diangkut diambil nilai nol dalam kondisi ballast. Oleh karena itu, untuk mengevaluasi EEOI tersebut, harus dihitung dalam periode tertentu, termasuk pelayaran dengan muatan. (WG/Efek, 2012)

2.3 Parameter Kinerja Kapal

Bagian ini memberikan informasi dasar mengenai parameter utama resistensi dan proporsi kapal yang dianalisis dalam tesis ini. Tahanan tambahan atau *added resistance* menggunakan metode STWAVE, dalam metode ini dilakukan

perhitungan perubahan tahanan tambahan pada tahanan gelombang, tahanan angin, tahanan akibat perubahan sarat/draft serta tahanan sifat air. Nilai tahanan tambahan ini diakibatkan adanya pengaruh faktor lingkungan.

2.3.1 Resistansi Kapal

Hambatan kapal yang bepergian melalui air terdiri dari banyak komponen. Ini dapat dibagi menjadi komponen yang dihitung dalam lingkungan statis, seperti resistensi lambung, dan komponen karena lingkungan yang dinamis, seperti keberadaan angin dan gelombang. Komponen utama resistensi yang dipelajari dalam analisis ini dijelaskan di bawah ini.

2.3.2 Hambatan Lambung

Saat lambung kapal melewati badan air, kapal itu mengalami hambatan terhadap gerakan ke depan. Hambatan lambung kapal terutama terdiri dari dua komponen: resistansi akibat gelombang, dan resistansi karena gesekan (Larsson, et al., 2010). Resistansi akibat pembuatan gelombang memperhitungkan perpindahan air dan gelombang yang dihasilkan oleh lambung kapal saat bepergian melalui badan air yang tenang. Hambatan gesekan memperhitungkan resistensi karena lambung menyeret air bersama dengan itu, karena lapisan batas. Area lambung dan geladak di atas garis air juga mengalami hambatan udara saat bepergian dengan kecepatan maju. Hambatan yang membuat gelombang dan hambatan udara untuk kondisi pemuatan tertentu tidak diharapkan berubah seiring waktu, karena bentuk lambung dan geladak diharapkan tetap konstan selama periode yang dianalisis. Namun, resistensi gesekan akan berubah. Resistansi gesekan dari sebuah kapal sebanding dengan kekasaran lambung, yang meningkat karena lambung menjadi kotor dari waktu ke waktu. Sebagai lambung menjadi busuk dan resistensi gesekan meningkat, kinerja kapal akan menurun.

2.3.3 Menambahkan Perlawan Gelombang

Ketika sebuah kapal melewati gelombang laut, kapal itu mengalami resistensi tambahan karena dua sistem gelombang: refleksi gelombang pendek di

lambung kapal, dan gerakan naik-turun yang digerakkan oleh gelombang dan gerakan pitch (Henk van den Boom, 2013). Besarnya tahanan tambahan tergantung pada sejumlah faktor, termasuk keterangan kapal, seperti panjang, balok, dan kecepatan, serta parameter gelombang, seperti tinggi gelombang yang signifikan, periode gelombang, dan arah gelombang. Oleh karena itu, besarnya resistensi gelombang yang ditambahkan akan berubah secara konstan selama umur kapal. Untuk dapat membandingkan kinerja kapal dari waktu ke waktu, resistensi tambahan akibat gelombang harus dihilangkan dari resistansi total, tergantung pada kondisi gelombang yang dialami di setiap lokasi dan waktu tertentu.

$$R_{AWL} = 2 \int_0^{\infty} \frac{R_{wave}(\omega; STW)}{\zeta_A^2} S_n(\omega) d\omega$$

Dimana:

- R_{AWL} : peningkatan resistensi rata-rata pada gelombang tidak beraturan dalam Newton
- R_{wave} : peningkatan resistensi rata-rata pada gelombang reguler dalam Newton
- ζ_A^2 : amplitudo gelombang dalam meter
- ω : frekuensi melingkar dari gelombang reguler dalam rad / s
- STW : kecepatan kapal dalam m / s
- S_n : spektrum frekuensi gelombang dalam m² / s

2.3.4 Menambahkan Hambatan Angin

Meskipun hambatan lambung kapal di dalam air adalah bagian dominan dari resistansi total, ada juga resistansi tambahan karena pergerakan udara. Meskipun perkiraan resistansi dari tes model memperhitungkan resistansi udara di udara diam, masih ada resistansi tambahan akibat angin. Penambahan tahanan karena angin tergantung pada keterangan kapal, seperti koefisien drag dan area depan, dan parameter angin, seperti kecepatan dan arah. Dalam situasi di mana angin datang dari belakang kapal, resistansi tambahan dapat menjadi negatif, menurunkan resistansi total kapal. Mirip dengan resistensi gelombang tambahan, hambatan angin tambahan juga akan terus berubah dari waktu ke waktu, dan harus dihilangkan dari total hambatan yang dialami di setiap lokasi dan waktu tertentu untuk dapat membandingkan kinerja kapal dari waktu ke waktu.

$$R_{wind} = \frac{1}{2} \rho_{air} V_{air}^2 C_X A_F$$

Dimana :

R_{wind} : kekuatan angin di Newton

ρ_{air} : massa jenis udara pada suhu udara yang berpengalaman dalam kg / m³

V_{air}^2 : kecepatan angin dalam m / s

C_x : koefisien angin untuk arah angin relatif

A_F : area permukaan kapal di atas air dalam m²

2.3.5 Perubahan Resistansi karena Draft

Resistensi lambung kapal berubah tergantung pada kondisi pemuatan kapal. Sebuah kapal dengan draft yang lebih besar akan memiliki ketahanan ombak yang lebih besar, karena kapal harus memindahkan lebih banyak air dan menghasilkan gelombang yang berbeda saat bepergian dengan kecepatan maju, serta resistensi gesekan yang lebih besar karena area permukaan lambung yang lebih besar. Draft pengoperasian kapal diharapkan untuk berubah secara teratur sepanjang umur kapal.

Draft kemungkinan akan berubah untuk setiap perjalanan baru, karena muatan barang mungkin berbeda dari perjalanan ke perjalanan, atau kapal dapat melakukan perjalanan dalam kondisi pemberat (tidak dimuat). Selanjutnya, dalam perjalanan tertentu, konsep akan berubah karena pembakaran bahan bakar. Agar dapat membandingkan kinerja kapal secara akurat di berbagai perjalanan dengan konsep yang berbeda, koreksi harus diterapkan untuk menormalkan resistensi terhadap kondisi desain.

$$R_{ADIS} = 0.65 R_T \left(\frac{\Delta_0}{\Delta} - 1 \right)$$

Dimana:

R_{ADIS} : resistensi tambahan karena peningkatan draft dalam Newton

R_T : hambatan total dalam kondisi desain di Newton

Δ_0 : perpindahan dalam kondisi desain

Δ : perpindahan dalam kondisi yang dianalisis

2.3.6 Perubahan Resistansi karena Sifat Air

Resistensi kapal tergantung pada sifat-sifat air yang digunakannya untuk berpergian. Hambatan lambung sebanding dengan kepadatan dan viskositas air. Air dengan kepadatan lebih tinggi dan viskositas lebih tinggi pada gilirannya akan meningkatkan ketahanan kapal. Kepadatan dan viskositas air laut tergantung pada suhu dan salinitas air, yang bervariasi tergantung pada badan air, lokasi, dan waktu dalam setahun. Agar dapat membandingkan kinerja kapal secara akurat di berbagai perjalanan, koreksi resistansi harus diterapkan untuk menyesuaikan resistansi dengan kondisi air yang dinormalisasi.

$$R_{AS} = R_T \left(1 - \frac{P_w}{P_{w0}}\right) - R_F \left(1 - \frac{C_f}{C_{f0}}\right)$$

Dimana:

R_{AS} : koreksi resistansi karena perubahan sifat air di Newton

R_T : hambatan total pada sifat air standar dari uji model

R_F : hambatan gesekan dalam kondisi air di Newton

C_{f0} : koefisien tahanan gesek dalam kondisi air standar

C_f : koefisien tahanan gesek dalam kondisi air

P_w : kepadatan air dalam kondisi air dalam kg / m³

P_{w0} : kepadatan air dalam kondisi air standar dalam kg / m³

2.3.7 Koreksi Resistansi

Hambatan terkoreksi kapal selama setiap periode laporan dapat dihitung dengan mengurangi pekerjaan yang dilakukan oleh koreksi (koreksi jarak yang ditempuh selama setiap periode AIS) dari total kerja efektif yang dilakukan oleh kapal, dan kemudian membaginya dengan total jarak yang ditempuh.

$$R_{corrected} = \frac{W_E - \sum_{i=1}^n R_{AWL} \cdot di - \sum_{i=1}^n R_{wind} \cdot di - \sum_{i=1}^n R_{ADIS} \cdot di - \sum_{i=1}^n R_{AS} \cdot di}{\sum_{i=1}^n di}$$

Dimana:

$R_{corrected}$: resistensi terkoreksi rata-rata selama periode laporan dalam Newton

| | |
|------------|---|
| W_E | : power efektif yang dilakukan oleh kapal |
| R_{AWL} | : koreksi resistansi akibat gelombang |
| R_{wind} | : koreksi resistansi akibat angin |
| R_{ADIS} | : koreksi resistansi akibat draft |
| R_{AS} | : koreksi resistansi akibat sifat air |

2.4 Daya Kapal dan Konsumsi Bahan Bakar Kapal

Untuk kapal yang dipelajari dalam tesis ini, tenaga pendorong dari mesin ditransmisikan ke air sekitarnya melalui baling-baling. Kinerja baling-baling tidak hanya tergantung pada desain baling-baling, tetapi juga sangat tergantung pada aliran ke bidang baling-baling. Beberapa nilai dimaksudkan untuk menggambarkan aliran ke dalam baling-baling, seperti koefisien fraksi bangun, koefisien deduksi dorong, efisiensi lambung, dan efisiensi relatif-rotatif, dihitung selama pengujian model. Kinerja baling-baling itu sendiri, dijelaskan oleh gaya dorong dan koefisien torsi, ditentukan selama tes model air terbuka.

2.4.1 Daya Kapal

Daya yang dikirim ke baling-baling dapat dihitung berdasarkan tahanan yang dikoreksi dan parameter kapal lainnya. Karena kecepatan kapal berubah beberapa kali per hari, kecepatan melalui air dan efisiensi diambil sebagai rata-rata tertimbang selama periode laporan siang hari, seperti yang ditunjukkan dalam persamaan.

$$P_{DCorrective} = \frac{R_{Corrective.} \left(\frac{\sum_{i=1}^n STW_{i.di}}{\sum_{i=1}^n i.di} \right)}{\left(\frac{\sum_{i=1}^n \eta_o \cdot \eta_H \cdot \eta_{RR} \cdot id_i}{\sum_{i=1}^n i.di} \right)}$$

Dimana:

| | |
|-------------------|--|
| $P_{DCorrective}$ | : daya yang dikirim selama periode dalam Watt |
| $R_{Corrective.}$ | : resistensi terkoreksi dalam Newton |
| STW_i | : kecepatan kapal melalui air untuk setiap periode AIS dalam m / s |
| η_o | : efisiensi lambung untuk setiap periode AIS |

- η_H : efisiensi (open water) propeller untuk setiap periode AIS
 η_{RR} : efisiensi rotasi relatif untuk setiap periode AIS

2.4.2 Konsumsi Bahan Bakar Kapal

Konsumsi bahan bakar harian berbanding lurus dengan daya yang disalurkan kapal. Ini dihitung seperti yang ditunjukkan pada persamaan .

$$\frac{M_{fc} = P_{DCorrective} \cdot SFOC_{ME} \cdot 24}{\eta_{trans} \cdot 1000 \cdot 1000}$$

Dimana:

- M_{fc} : massa bahan bakar yang terbakar dalam ton / hari
 $P_{DCorrective}$: daya yang dikirim dalam Watt
 $SFOC_{ME}$: konsumsi bahan bakar spesifik mesin utama dalam kg / kWh
 η_{trans} : effisiensi transmisi

2.4.3 Perhitungan Emisi

Dalam melakukan perhitungan emisi digunakan metode perhitungan berdasarkan karakteristik kapal, seperti mode operasi, kapasitas daya mesin, waktu operasi kapal yang mana data-data tersebut didapatkan dari data AIS. Perhitungan estimasi emisi secara matematis dapat dilihat pada persamaan di bawah ini (Handani, et al., 2018) :

$$E = P \times FL \times T \times EF$$

Dimana:

- P : daya mesin (ME, AE dan AB)
 FL : *fraction load of engine*
 T : waktu operasi engine
 EF : faktor emisi mesin (ME, AE dan AB)

2.5 PHP Script

PHP *Hypertext Preprocessor* merupakan suatu bahasa pemrograman yang difungsikan untuk membangun suatu website dinamis. PHP menyatu dengan kode HTML, maksudnya adalah beda kondisi. HTML digunakan sebagai pembangun atau pondasi dari kerangka layout web, sedangkan PHP difungsikan sebagai prosesnya sehingga dengan adanya PHP tersebut, web akan sangat mudah di-maintenance.

PHP berjalan pada sisi server sehingga PHP disebut juga sebagai bahasa Server Side Scripting. Artinya bahwa dalam setiap/untuk menjalankan PHP, wajib adanya web server. PHP ini bersifat open source sehingga dapat dipakai secara cuma-cuma dan mampu lintas platform, yaitu dapat berjalan pada sistem operasi Windows maupun Linux. PHP juga dibangun sebagai modul pada web server apache dan sebagai binary yang dapat berjalan sebagai CGI.

PHP sebagai alternatif lain memberikan solusi sangat murah (karena gratis digunakan) dan dapat berjalan diberbagai jenis platform. PHP adalah skrip bersifat server-side yang ditambahkan ke dalam HTML. PHP sendiri merupakan singkatan dari *Personal Home Page Tools*. Skrip ini akan membuat suatu aplikasi dapat diintegrasikan ke dalam HTML sehingga suatu halaman web tidak lagi bersifat statis, namun menjadi bersifat dinamis. Sifat server side berarti pengrajaan skrip dilakukan di server, baru kemudian hasilnya di kirimkan ke browser. (Saputra, 2011)

2.6 MySQL Script

Basis data adalah sekumpulan informasi yang diatur agar mudah dicari. Dalam arti umum basis data adalah sekumpulan data yang diproses dengan bantuan komputer yang memungkinkan data dapat diakses dengan mudah dan tepat, yang dapat digambarkan sebagai aktivitas dari satu atau lebih organisasi yang berelasi.

MySQL merupakan suatu database. MySQL dapat juga dikatakan sebagai database yang sangat cocok bila dipadukan dengan PHP. Secara umum, database berfungsi sebagai tempat atau wadah untuk menyimpan, mengklasifikasikan data secara profesional. MySQL bekerja menggunakan SQL *Language (Structure Query*

Language). Itu dapat diartikan bahwa MySQL merupakan standar penggunaan database di dunia untuk penganalisa data.

MySQL termasuk jenis RDBMS (*Relational Database Management System*). Sedangkan RDBMS sendiri akam lebih banyak mengenal istilah seperti tabel, baris, dan kolom digunakan dalam perintah-perintah di MySQL. MySQL merupakan sebuah basis data yang mengandung satu atau sejumlah tabel. Tabel terdiri atas sejumlah baris dan setiap baris mengandung satu atau beberapa kolom. Di dalam PHP telah menyediakan fungsi untuk koneksi ke basis data dengan sejumlah fungsi untuk pengaturan baik menghubungkan maupun memutuskan koneksi dengan server database MySQL sebagai sarana untuk mengumpulkan informasi.

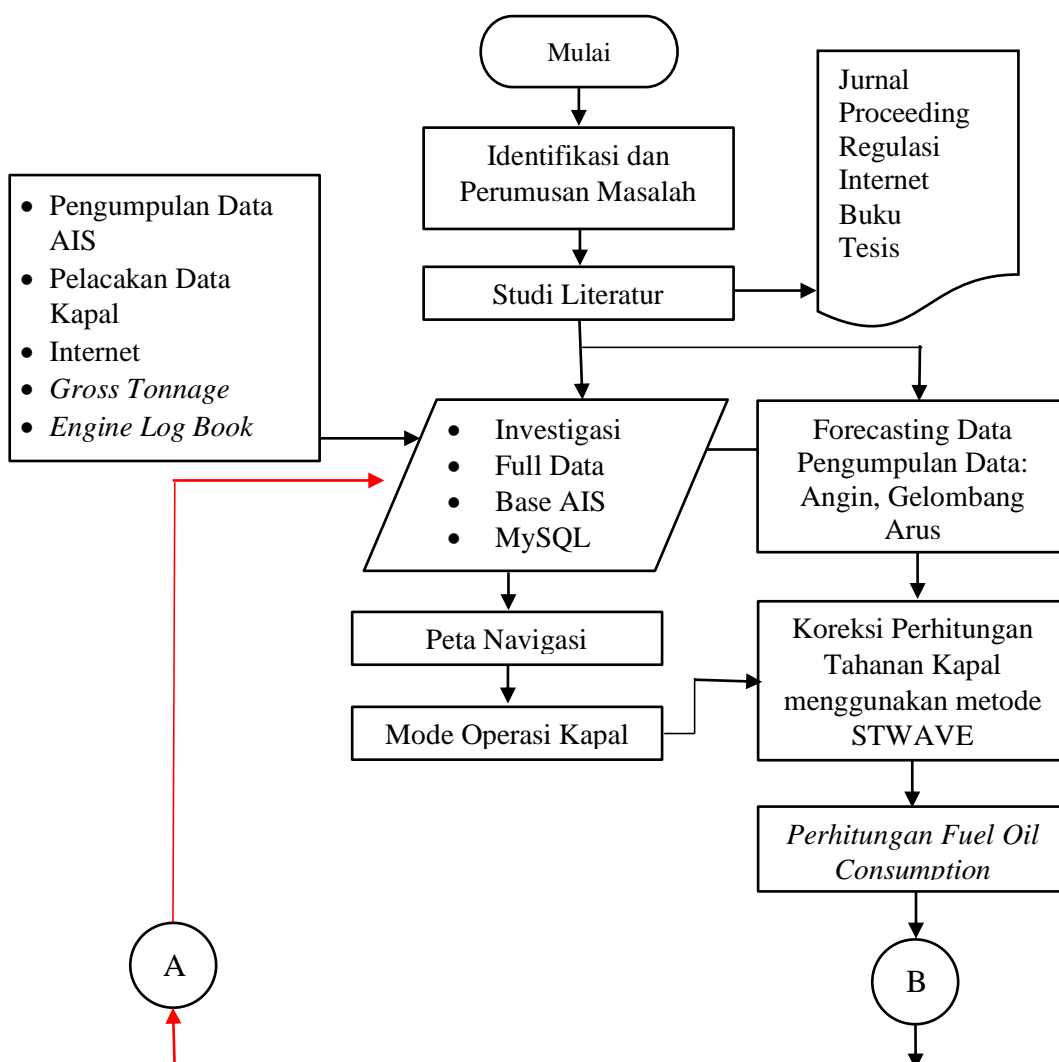
Pada umumnya, perintah yang paling sering digunakan dalam mySQL adalah *select* (mengambil), *insert* (menambah), *update* (mengubah), dan *delete* (menghapus). Selain itu, SQL juga menyediakan perintah untuk membuat database, *field*, ataupun index guna menambah atau menghapus data. (Amanisa, 2010)

Halaman ini sengaja dikosongkan

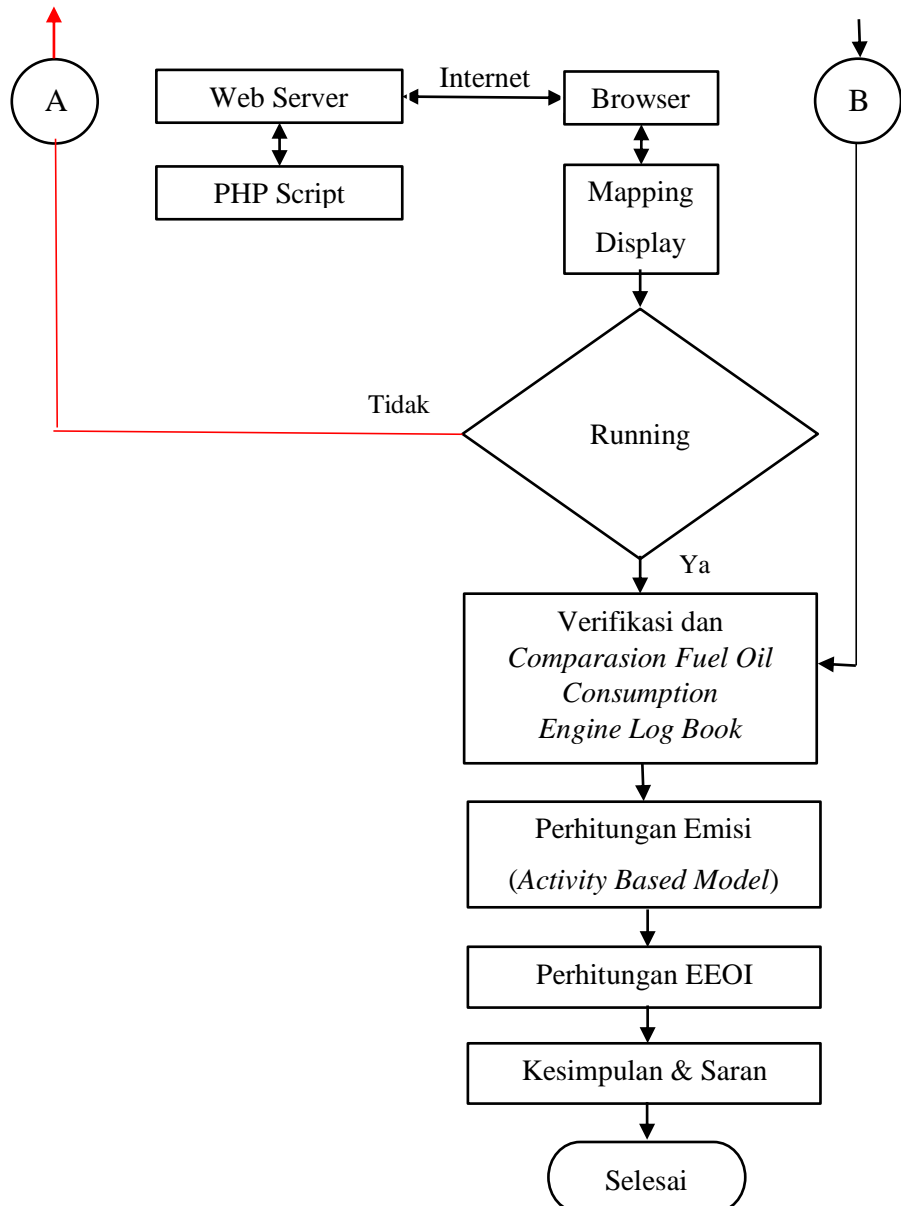
BAB III

METODOLOGI PENELITIAN

Dalam merencanakan penelitian yang akan dilakukan, penting untuk membuat sebuah kerangka. Kerangka atau bisa disebut metodologi bertujuan untuk memberikan platform struktur sehingga indikator penggerjaan lebih cepat dan tepat dengan hasil yang optimal. Oleh karena itu pada Gambar 3.1 akan dijelaskan mengenai tahapan-tahapan penelitian yang akan dilakukan. Tahapan penelitian ini merupakan langkah-langkah yang dilakukan dalam penyusunan tesis ini secara berurutan. Langkah-langkahnya adalah sebagai berikut.



Gambar 3. 1 Diagram Alir Metodologi Penelitian



Gambar 3. 1 Diagram Alir Metodologi Penelitian (Lanjutan)

3.1 Perumusan Masalah

Tahap awal dalam sebuah kajian penelitian adalah melakukan penyusunan rumusan masalah yang nantinya point ini akan dijadikan sebagai platform penyelesaian tesis. Perumusan masalah didasarkan pada topik tesis yang telah ditentukan sebelumnya yaitu mengenai monitoring kinerja kapal menggunakan data *automatic identification system* (AIS) untuk menghitung energi effisiensi operasional index.

3.2 Studi Literatur

Pada tahap ini dilakukan pendalaman teori untuk memperkuat dasar dan analisa yang akan dilakukan, studi literatur terkait dengan topik pembahasan. Pada tahap ini dilakukan study terhadap referensi – referensi yang terdapat pada jurnal, tugas akhir, internet, dan buku buku materi penunjang. Informasi yang dibutuhkan pada tahap ini adalah referensi untuk mengolah data base AIS untuk menjadi parameter online berbasis internet, sehingga dapat memonitor konsumsi bahan bakar, emisi gas buang yang dihasilkan dan energi effisiensi operasional index kapal saat beroperasi.

3.3 Pengambilan Data

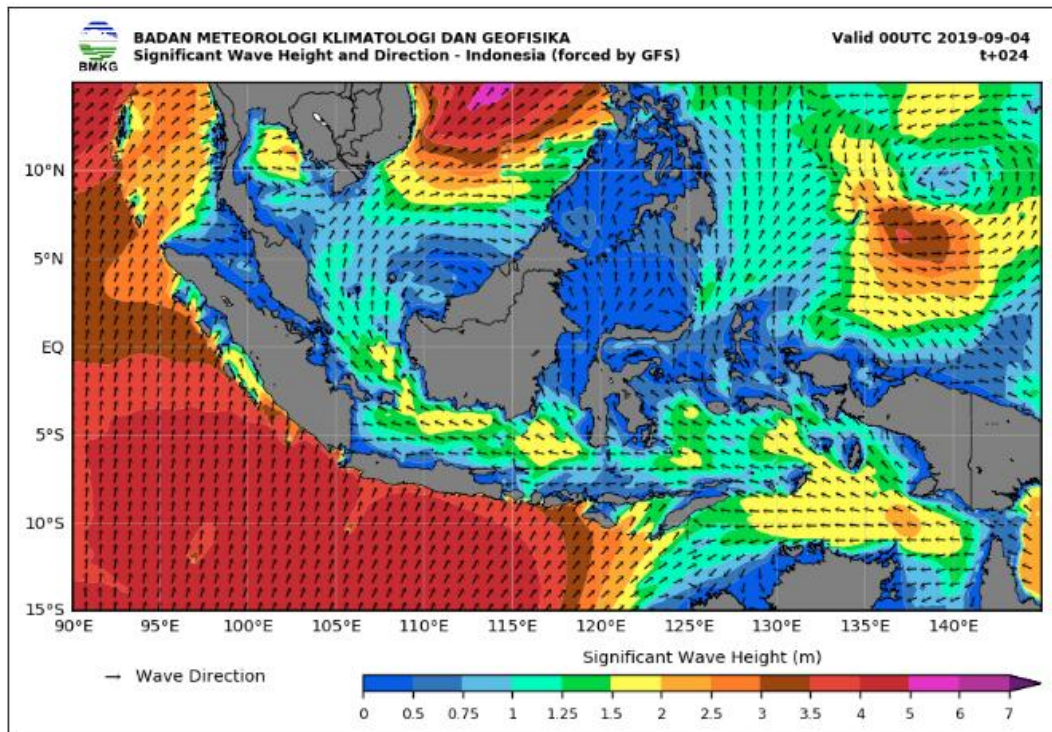
Pengambilan data mengenai monitoring kinerja kapal menggunakan data *automatic identification system* (AIS) untuk menghitung energi effisiensi operasional index diantaranya adalah data AIS, pelacakan data kapal, *gross tonnage* kapal dan MySQL. Data yang didapat akan dijadikan sebagai acuan yang nantinya dibutuhkan terkait dengan monitoring kinerja kapal. Selain itu peta navigasi operasi kapal juga diperlukan untuk mengetahui kondisi lingkungan sekitar secara geografis.

3.4 BMKG (Badan Meteorologi, Klimatologi, dan Geofisika)

Badan Meteorologi, Klimatologi, dan Geofisika (disingkat BMKG), sebelumnya bernama Badan Meteorologi dan Geofisika(disingkat BMG) adalah Lembaga Pemerintah Non Departemen Indonesia yang mempunyai tugas melaksanakan tugas pemerintahan di bidang meteorologi, klimatologi, dan geofisika.

Prakiraan Tinggi Gelombang

Faktor mempertimbangkan prakiraan tinggi gelombang sangat penting dalam mendukung kelancaran dan keselamatan kapal saat berlayar. Karena faktor alam juga sangat menentukan dari kinerja mesin dalam mendukung aktifitas kapal saat berlayar.



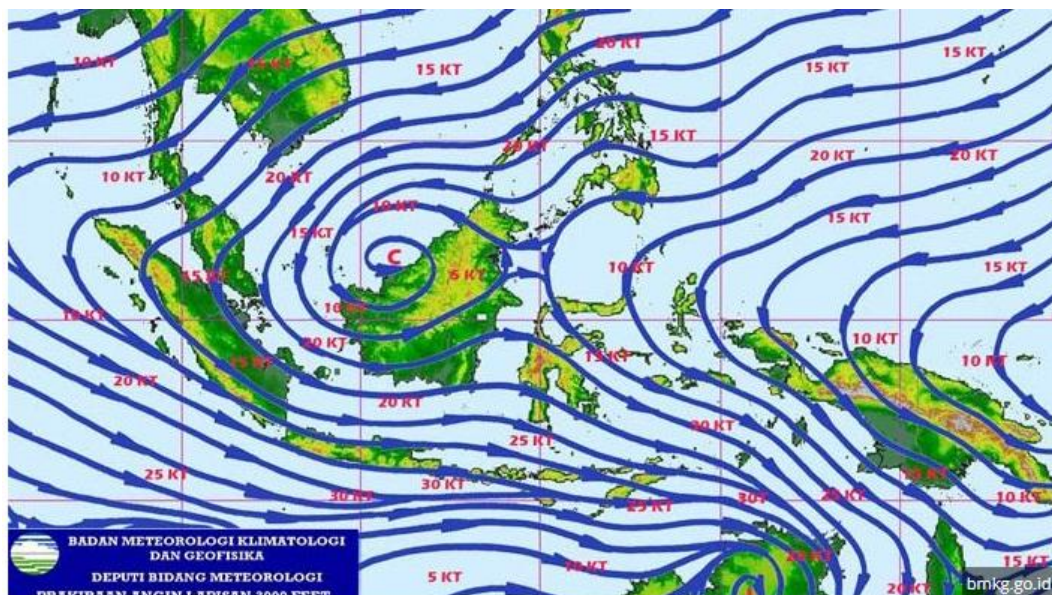
Gambar 3. 2 Peta Prakiraan Tinggi Gelombang
Sumber : (*Badan Meteorologi, Klimatologi, dan Geofisika, 2019*)

Ada beberapa jenis kondisi pelayaran yang dibedakan berdasarkan tinggi gelombang :

- *Slight Sea* (0,5 – 1,25 m)
- *Moderate Sea* (1,25 – 2,50 m)
- *Rough Sea* (2,50 – 4,0 m)
- *Very Rough Sea* (4,0 – 6,0 m)

Prakiraan Angin

Mempertimbangkan kecepatan dan arah angin juga sangat mempengaruhi dalam mendukung keselamatan dan kelangsungan kapal saat beroperasi. Karena faktor kecepatan dan arah angin dapat menjadi tahanan tambahan bagi kapal saat beroperasi. Faktor alam juga menentukan seberapa besar daya mesin yang diperlukan kapal saat beroperasi.



Gambar 3. 3 Peta Prakiraan Arah dan Kecepatan Angin

Sumber : (*Badan Meteorologi, Klimatologi, dan Geofisika, 2019*)

3.5 Parameter Kinerja Kapal

Bagian ini memberikan informasi dasar mengenai parameter utama resistensi dan propulsi kapal yang dianalisis dalam tesis ini.

3.5.1 Resistansi Kapal

Hambatan kapal yang bepergian melalui air terdiri dari banyak komponen. Ini dapat dibagi menjadi komponen yang dihitung dalam lingkungan statis, seperti resistensi lambung, dan komponen karena lingkungan yang dinamis, seperti keberadaan angin dan gelombang. Komponen utama resistensi yang dipelajari dalam analisis ini dijelaskan di bawah ini.

3.5.2 Hambatan Lambung

Saat lambung kapal melewati badan air, kapal itu mengalami hambatan terhadap gerakan ke depan. Hambatan lambung kapal terutama terdiri dari dua komponen: resistansi akibat gelombang, dan resistansi karena gesekan (Larsson, et al., 2010). Resistansi akibat pembuatan gelombang memperhitungkan perpindahan air dan gelombang yang dihasilkan oleh lambung kapal saat bepergian melalui

badan air yang tenang. Hambatan gesekan memperhitungkan resistensi karena lambung menyeret air bersama dengan itu, karena lapisan batas. Area lambung dan geladak di atas garis air juga mengalami hambatan udara saat bepergian dengan kecepatan maju. Hambatan yang membuat gelombang dan hambatan udara untuk kondisi pemuatan tertentu tidak diharapkan berubah seiring waktu, karena bentuk lambung dan geladak diharapkan tetap konstan selama periode yang dianalisis. Namun, resistensi gesekan akan berubah. Resistansi gesekan dari sebuah kapal sebanding dengan kekasaran lambung, yang meningkat karena lambung menjadi kotor dari waktu ke waktu. Sebagai lambung menjadi busuk dan resistensi gesekan meningkat, kinerja kapal akan menurun.

3.5.3 Menambahkan Perlawan Gelombang

Ketika sebuah kapal melewati gelombang laut, kapal itu mengalami resistensi tambahan karena dua sistem gelombang: refleksi gelombang pendek di lambung kapal, dan gerakan naik-turun yang digerakkan oleh gelombang dan gerakan pitch (Henk van den Boom, 2013). Besarnya tahanan tambahan tergantung pada sejumlah faktor, termasuk keterangan kapal, seperti panjang, balok, dan kecepatan, serta parameter gelombang, seperti tinggi gelombang yang signifikan, periode gelombang, dan arah gelombang. Oleh karena itu, besarnya resistensi gelombang yang ditambahkan akan berubah secara konstan selama umur kapal. Untuk dapat membandingkan kinerja kapal dari waktu ke waktu, resistensi tambahan akibat gelombang harus dihilangkan dari resistansi total, tergantung pada kondisi gelombang yang dialami di setiap lokasi dan waktu tertentu.

$$R_{AWL} = 2 \int_0^{\infty} \frac{R_{wave}(\omega; STW)}{\zeta_A^2} S_n(\omega) d\omega$$

Dimana:

R_{AWL} : peningkatan resistensi rata-rata pada gelombang tidak beraturan dalam Newton

R_{wave} : peningkatan resistensi rata-rata pada gelombang reguler dalam Newton

ζ_A^2 : amplitudo gelombang dalam meter

ω : frekuensi melingkar dari gelombang reguler dalam rad / s

STW : kecepatan kapal dalam m / s

S_n : spektrum frekuensi gelombang dalam m² / s

3.5.4 Menambahkan Hambatan Angin

Meskipun hambatan lambung kapal di dalam air adalah bagian dominan dari resistansi total, ada juga resistansi tambahan karena pergerakan udara. Meskipun perkiraan resistansi dari tes model memperhitungkan resistansi udara di udara diam, masih ada resistansi tambahan akibat angin. Penambahan tahanan karena angin tergantung pada keterangan kapal, seperti koefisien drag dan area depan, dan parameter angin, seperti kecepatan dan arah. Dalam situasi di mana angin datang dari belakang kapal, resistansi tambahan dapat menjadi negatif, menurunkan resistansi total kapal. Mirip dengan resistensi gelombang tambahan, hambatan angin tambahan juga akan terus berubah dari waktu ke waktu, dan harus dihilangkan dari total hambatan yang dialami di setiap lokasi dan waktu tertentu untuk dapat membandingkan kinerja kapal dari waktu ke waktu.

$$R_{wind} = \frac{1}{2} \rho_{air} V_{air}^2 C_X A_F$$

Dimana :

R_{wind} : kekuatan angin di Newton

ρ_{air} : kepadatan udara pada suhu udara yang berpengalaman dalam kg / m³

V_{air}^2 : kecepatan angin dalam m / s

C_X : koefisien angin untuk arah angin relatif

A_F : area permukaan air di atas kapal dalam m²

3.5.5 Perubahan Resistansi Karena Draft

Resistensi lambung kapal berubah tergantung pada kondisi pemuatan kapal. Sebuah kapal dengan draft yang lebih besar akan memiliki ketahanan ombak yang lebih besar, karena kapal harus memindahkan lebih banyak air dan menghasilkan gelombang yang berbeda saat bergerak dengan kecepatan maju, serta resistensi gesekan yang lebih besar karena area permukaan lambung yang lebih besar. Draft pengoperasian kapal diharapkan untuk berubah secara teratur sepanjang umur kapal.

Draft kemungkinan akan berubah untuk setiap perjalanan baru, karena muatan barang mungkin berbeda dari perjalanan ke perjalanan, atau kapal dapat

melakukan perjalanan dalam kondisi pemberat (tidak dimuat). Selanjutnya, dalam perjalanan tertentu, konsep akan berubah karena pembakaran bahan bakar. Agar dapat membandingkan kinerja kapal secara akurat di berbagai perjalanan dengan konsep yang berbeda, koreksi harus diterapkan untuk menormalkan resistensi terhadap kondisi desain.

$$R_{ADIS} = 0.65 R_T \left(\frac{\Delta_0}{\Delta} - 1 \right)$$

Dimana:

R_{ADIS} : resistensi tambahan karena peningkatan draft dalam Newton

R_T : hambatan total dalam kondisi desain di Newton

Δ_0 : perpindahan dalam kondisi desain

Δ : perpindahan dalam kondisi yang dianalisis

3.5.6 Perubahan Resistansi Karena Sifat Air

Resistensi kapal tergantung pada sifat-sifat air yang digunakannya untuk berpergian. Hambatan lambung sebanding dengan kepadatan dan viskositas air. Air dengan kepadatan lebih tinggi dan viskositas lebih tinggi pada gilirannya akan meningkatkan ketahanan kapal. Kepadatan dan viskositas air laut tergantung pada suhu dan salinitas air, yang bervariasi tergantung pada badan air, lokasi, dan waktu dalam setahun. Agar dapat membandingkan kinerja kapal secara akurat di berbagai perjalanan, koreksi resistansi harus diterapkan untuk menyesuaikan resistensi dengan kondisi air yang dinormalisasi.

$$R_{AS} = R_T \left(1 - \frac{P_w}{P_{w0}} \right) - R_F \left(1 - \frac{C_f}{C_{f0}} \right)$$

Dimana:

R_{AS} : koreksi resistansi karena perubahan sifat air di Newton

R_T : hambatan total pada sifat air standar dari uji model

R_F : hambatan gesekan dalam kondisi air di Newton

C_{f0} : koefisien tahanan gesek dalam kondisi air standar

C_f : koefisien tahanan gesek dalam kondisi air

P_w : kepadatan air dalam kondisi air dalam kg / m³

P_{w0} : kepadatan air dalam kondisi air standar dalam kg / m³

3.5.7 Koreksi Resistansi

Hambatan terkoreksi kapal selama setiap periode laporan dapat dihitung dengan mengurangi pekerjaan yang dilakukan oleh koreksi (koreksi jarak yang ditempuh selama setiap periode AIS) dari total kerja efektif yang dilakukan oleh kapal, dan kemudian membaginya dengan total jarak yang ditempuh.

$$R_{corrected} = \frac{W_E - \sum_{i=1}^n R_{AWL} \cdot di - \sum_{i=1}^n R_{wind} \cdot di - \sum_{i=1}^n R_{ADIS} \cdot di - \sum_{i=1}^n R_{AS} \cdot di}{\sum_{i=1}^n di}$$

Dimana:

$R_{corrected}$: resistensi terkoreksi rata-rata selama periode laporan dalam Newton

W_E : power efektif yang dilakukan oleh kapal

R_{AWL} : koreksi resistansi akibat gelombang

R_{wind} : koreksi resistansi akibat angin

R_{ADIS} : koreksi resistansi akibat draft

R_{AS} : koreksi resistansi akibat sifat air

3.6 Daya Kapal dan Konsumsi Bahan Bakar Kapal

Untuk kapal yang dipelajari dalam tesis ini, tenaga pendorong dari mesin ditransmisikan ke air sekitarnya melalui baling-baling. Kinerja baling-baling tidak hanya tergantung pada desain baling-baling, tetapi juga sangat tergantung pada aliran ke bidang baling-baling. Beberapa nilai dimaksudkan untuk menggambarkan aliran ke dalam baling-baling, seperti koefisien fraksi bangun, koefisien deduksi dorong, efisiensi lambung, dan efisiensi relatif-rotatif, dihitung selama pengujian model. Kinerja baling-baling itu sendiri, dijelaskan oleh gaya dorong dan koefisien torsi, ditentukan selama tes model air terbuka.

3.6.1 Daya Kapal

Daya yang dikirim ke baling-baling dapat dihitung berdasarkan tahanan yang dikoreksi dan parameter kapal lainnya. Karena kecepatan kapal berubah

beberapa kali per hari, kecepatan melalui air dan efisiensi diambil sebagai rata-rata tertimbang selama periode laporan siang hari, seperti yang ditunjukkan dalam persamaan.

$$P_{DCorrective} = \frac{R_{Corrective.} \left(\frac{\sum_{i=1}^n STW_{i.di}}{\sum_{i=1}^n i.di} \right)}{\left(\frac{\sum_{i=1}^n \eta_o \cdot \eta_H \cdot \eta_{RR} \cdot id_i}{\sum_{i=1}^n i.di} \right)}$$

Dimana:

- $P_{DCorrective}$ = daya yang dikirim selama periode dalam Watt
- $R_{Corrective.}$ = resistensi terkoreksi dalam Newton
- STW_i = kecepatan kapal melalui air untuk setiap periode AIS dalam m / s
- η_o = efisiensi lambung untuk setiap periode AIS
- η_H = efisiensi (open water) propeller untuk setiap periode AIS
- η_{RR} = efisiensi rotasi relatif untuk setiap periode AIS

3.6.2 Konsumsi Bahan Bakar Kapal

Konsumsi bahan bakar harian berbanding lurus dengan daya yang disalurkan kapal. Ini dihitung seperti yang ditunjukkan pada persamaan .

$$\underline{M_{fc} = P_{DCorrective} \cdot SFOC_{ME} \cdot 24}{\eta_{trans} \cdot 1000 \cdot 1000}$$

Dimana:

- M_{fc} : massa bahan bakar yang terbakar dalam ton / hari
- $P_{DCorrective}$: daya yang dikirim dalam Watt
- $SFOC_{ME}$: konsumsi bahan bakar spesifik mesin utama dalam kg / kWh
- η_{trans} : effisiensi transmisi

3.6.3 Perhitungan Emisi

Dalam melakukan perhitungan emisi digunakan metode perhitungan berdasarkan karakteristik kapal, seperti mode operasi, kapasitas daya mesin, waktu operasi kapal yang mana data-data tersebut didapatkan dari data AIS. Perhitungan estimasi emisi secara matematis dapat dilihat pada persamaan di bawah ini (Handani, et al., 2018) :

$$E = P \times FL \times T \times EF$$

Dimana:

- P : daya mesin (ME, AE dan AB)
- FL : *fraction load of engine*
- T : waktu operasi engine
- EF : faktor emisi mesin (ME, AE dan AB)

3.7 Perhitungan Bahan Bakar dan Emisi

3.7.1 Perhitungan Bahan Bakar

Konsumsi bahan bakar harian berbanding lurus dengan daya yang disalurkan kapal. Ini dihitung seperti yang ditunjukkan pada persamaan .

$$\underline{M_{fc} = P_{DCorrective} \cdot SFOC_{ME} \cdot 24}{\eta_{trans} \cdot 1000 \cdot 1000}$$

Dimana:

- M_{fc} adalah massa dinormalisasi dari bahan bakar yang dibakar dalam ton / hari
- $P_{DCorrective}$ adalah daya yang dikirim normal dalam Watt
- $SFOC_{ME}$ adalah konsumsi bahan bakar spesifik mesin utama dalam kg / kWh
- η_{trans} adalah efisiensi transmisi

3.7.2 Perhitungan Emisi

Pada tahap ini merupakan tahap perhitungan konsumsi bahan bakar, dimana data-data yang dibutuhkan adalah data operasional dan data teknik kapal meliputi spesifikasi mesin utama dan mesin bantu, konsumsi bahan bakar, dan data utama kapal. Data yang akan digunakan untuk proses penyelesaian penelitian antara lain data kapal yang beroperasi yakni KM. Doro Londa dengan spesifikasi mesin sebagai berikut:

Spesifikasi teknis *main machinery* :

- 2 KRUPP MAK 8 M 601 C
- Output, 8520 kW, 428 RPM

Spesifikasi teknis *aux. machinery* :

- 4 Daihatsu Engine Type 6 DL – 24
- Output, 882 kW, 750 RPM

Proses perhitungan kebutuhan bakar sesuai dengan variasi kecepatan. Hal yang perlu dipertimbangkan dalam melakukan kalkulasi ini antara lain adalah rute pelayaran yang ditempuh, kondisi gelombang saat pelayaran, dan lama waktu sandar pada masing-masing pelabuhan. Berikut merupakan rumusan empiris perhitungan bahan bakar:

$$FC = BHP \times SFOC \times t$$

Dimana :

FC = *Fuel Consumption* (gr)

BHP = *Power Engine* (kW)

SFOC = *Specific Fuel Oil Consumption* (g/kWh)

t = *Total time* (waktu pelayaran) (*hours*)

3.8 Perhitungan EEOI

EEOI menetapkan jumlah ton emisi CO₂ per ton mil laut dihitung menggunakan data operasional aktual (konsumsi bahan bakar, massa muatan yang diangkut, dan jarak berlayar) dan merupakan efisiensi energi kapal yang dicapai secara aktual selama operasi. EEOI dihitung sebagai berikut:

$$EEOI = \frac{(\text{Faktor konversi massa bahan bakar menjadi } CO_2) \times (\text{Konsumsi bahan bakar})}{(\text{massa muatan aktual yang diangkat}) \times (\text{jarak berlayar aktual})}$$

Perhitungan EEOI untuk setiap pelayaran secara detail dilakukan dengan menggunakan persamaan berikut :

$$EEOI = \frac{\sum_j FC_j \times C_{Fj}}{(m_{cargo})}$$

Untuk menghitung rata-rata EEOI dalam periode perhitungan termasuk beberapa pelayaran:

$$EEOI_{rata-rata} = \frac{\sum i \sum j (FC_j \times C_{Fj})}{\sum i (m_{cargo} \times D_i)}$$

Dimana:

j : jenis bahan bakar

i : jumlah pelayaran

FC_j : massa bahan bakar yang dikonsumsi j pada pelayaran

C_{Fj} : massa bahan bakar untuk faktor konveri massa CO_2 untuk bahan bakar j pada pelayaran

m_{cargo} : muatan yang diangkut (ton) atau kerja yang dilakukan (jumlah TEU atau penumpang) atau gross tonnes untuk kapal penumpang.

D : jarak dalam mil laut sesuai dengan muatan yang diangkut atau kerja yang dilakukan.

3.9 Pembuatan Browser

Pembuatan Browser dimulai dengan perencanaan PHP *Hypertext Preprocessor* yang merupakan suatu bahasa pemrograman yang difungsikan untuk membangun suatu website dinamis. PHP menyatu dengan kode HTML, dengan adanya PHP web akan sangat mudah di-maintenance. PHP berjalan pada sisi server sehingga PHP disebut juga sebagai bahasa Server Side Scripting. Artinya bahwa dalam setiap/untuk menjalankan PHP, wajib adanya web server. PHP ini bersifat open source, skrip ini akan membuat suatu aplikasi dapat diintegrasikan ke dalam HTML sehingga suatu halaman web tidak lagi bersifat statis, namun menjadi bersifat dinamis. Sifat server side berarti penggeraan skrip dilakukan di server, baru kemudian hasilnya di kirimkan ke browser.

3.10 Pembuatan Display Mapping

Setelah semua script selesai dibuat, maka hasil dari script PHP tersebut akan menampilkan sebuah Tabel dari Tampilan Google Maps pada browser internet.

Dimana Tabel tersebut akan menunjukkan total konsumsi bahan bakar, emisi gas buang yang dihasilkan, dan nilai EEOI. Hal ini berlaku pada setiap kapal yang terdeteksi AIS System, dan yang yang ditampilkan berupa ; Nama Kapal, Bendera Negara, Konsumsi Bahan Bakar, Emisi Gas Buang, nilai EEOI, serta Parameter kapal lainnya.

3.11 Verifikasi dan Komparasi

Pada bagian ini, akan disimpulkan berbagai kesimpulan terutama yang berkaitan dengan hasil perhitungan konsumsi bahan bakar, estimasi emisi gas buang dan nilai EEOI dengan data konsumsi bahan bakar aktual yang diverifikasi oleh Engine Log Book yang diperoleh langsung dari kapal. Sehingga dapat diberikan tanggapan berupa saran apakah penelitian ini sangat perlu dikembangkan untuk menjangkau seluruh kapal dimanapun berada.

BAB IV

ANALISA DAN PEMBAHASAN

4.1 Umum

Bab ini merupakan uraian mengenai langkah-langkah analisa yang dilakukan dalam mengolah data. Data diperoleh dari hasil survei dari pelayaran kapal KM. Dorolonda dengan rute Surabaya – Jakarta dan sebaliknya Jakarta – Surabaya pada tanggal 9 sampai dengan 12 Oktober 2019. Data yang diperoleh survei saat berlayar adalah data rute kapal berdasarkan posisi *latitude* dan *longitude* serta *record* konsumsi bahan bakar. Selanjutnya data tersebut di analisa dan dilakukan perhitungan konsumsi bahan bakar, emisi dan Indeks Operasional Effisiensi Energi yang ditunjang oleh data kondisi lingkungan secara aktual saat kapal berlayar. Data lingkungan diperoleh dari data yang dikeluarkan oleh Badan Meteorologi, Klimatologi, dan Geofisika (BMKG) kantor cabang Surabaya. Hasil perhitungan konsumsi bahan bakar tersebut diverifikasi oleh *record* konsumsi bahan bakar kapal yang digunakan, sehingga dengan tingkat error antara hasil perhitungan dan data aktual digolongkan valid. Rumusan perhitungan tersebut dirubah menjadi algorithma untuk diterjemahkan dalam bahasa PHP Script sehingga menjadi *features* AIS dalam memonitor konsumsi besar bahan bakar kapal.

4.2 Pengambilan Data

Dalam tesis untuk mengembangkan sistem monitoring bahan bakar berbasis intenet menggunakan contoh kapal yang dioperasikan oleh sebuah instansi perusahaan pelayaran. Dalam pengambilan data tesis ini dilakukan dengan cara mengikuti kapal KM. Dorolonda berlayar dari Surabaya – Jakarta dan sebaliknya Jakarta – Surabaya pada tanggal 9 sampai dengan 12 Oktober 2019. Pengambilan data dengan berlayar diperlukan untuk mendapatkan *record* konsumsi bahan bakar, letak geografis rute kapal berlayar dan mengumpulkan data-data yang diperlukan untuk membuat rumusan konsumsi bahan bakar, emisi yang dihasilkan, serta nilai indeks operasional. Adapun data utama kapal KM. Dorolonda yang dijadikan model atau contoh ditunjukkan pada Tabel 4. 1.

Tabel 4. 1. *Ship Particular* KM. Doro Londa

| | |
|-----------------------------|-----------------------|
| Nama Kapal | KM. Doro Londa |
| Tipe Kapal | <i>Passenger Ship</i> |
| MMSI | 525005046 |
| LOA | 146,5 m |
| <i>Draft</i> | 5,90 m |
| <i>Breadth</i> | 23,4 m |
| <i>Displacement</i> | 10534,7 |
| <i>Vt Design</i> | 23,67 |
| <i>Gross Tonnage</i> | 14,685 |
| <i>Netto Tonnage</i> | 4,629 |
| <i>Death Weight Tonnage</i> | 3,175 |
| <i>Main Engine</i> | 2 Krupp MAK 8M 601 C |
| <i>Aux. Engine</i> | Daihatsu 6 DL - 24 |

4.2.1 Pencatatan Rute Pelayaran

Dari hasil berlayar didapatkan rute pelayaran dan letak geografis yang dilalui oleh kapal KM. Doro Londa yang berlayar pada tanggal 9 sampai dengan 10 Oktober 2019 yang dicatat berdasarkan posisi *latitude* dan *longitude*, yang mana dapat dilihat dari Tabel 4. 2:

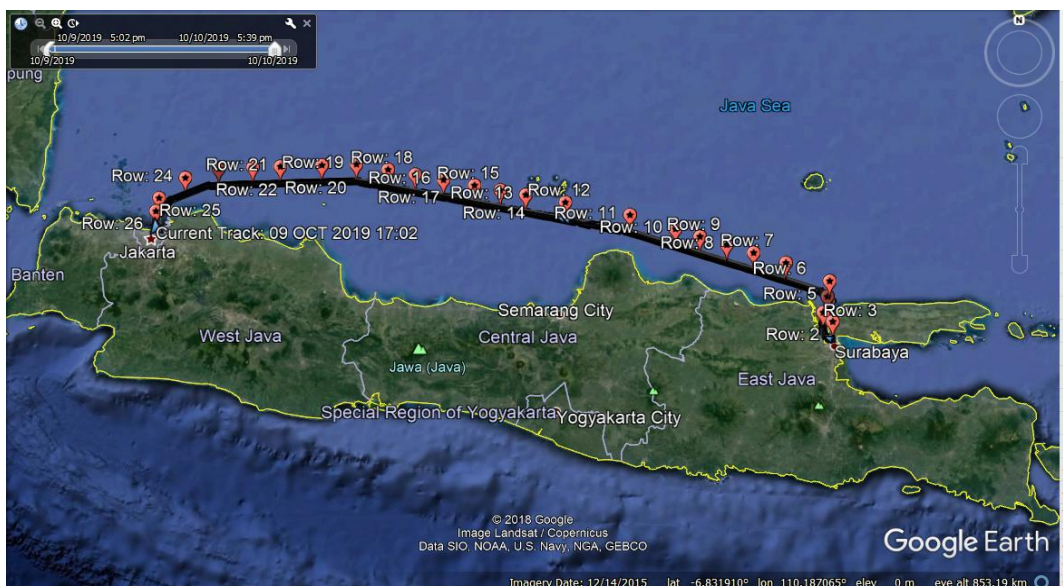
Tabel 4. 2. Tabel Posisi *Latitude & Longitude* KM. Doro Londa tanggal 9 s.d 10 Oktober 2019

| No. | Row | Speed | Time | Latitude | Longitude |
|-----|-------|-------|-------|----------------|-----------------|
| 1 | Row 1 | - | 17.04 | 07° 11. 776' S | 112° 44. 041' E |
| 2 | Row 2 | - | 17.58 | 07° 11. 776' S | 112° 44. 041' E |
| 3 | Row 3 | 15 | 18.20 | 07° 11. 186' S | 112° 41. 759' E |
| 4 | Row 4 | 14,9 | 18.25 | 07° 10. 351' S | 112° 40. 868' E |
| 5 | Row 5 | 15 | 18.30 | 07° 09. 450' S | 112° 40. 233' E |
| 6 | Row 6 | 14,8 | 18.35 | 07° 08. 155' S | 112° 39. 531' E |
| 7 | Row 7 | 14,8 | 18.40 | 07° 06. 960' S | 112° 39. 375' E |
| 8 | Row 8 | 15 | 18.55 | 07° 03. 115' S | 112° 39. 738' E |
| 9 | Row 9 | 15 | 19.00 | 07° 01. 715' S | 112° 40. 228' E |

Tabel 4. 2 Tabel Posisi *Latitude & Longitude* KM. Doro Londa tanggal 9 s.d 10 Oktober 2019 (Lanjutan)

| No. | Row | Speed | Time | Latitude | Longitude |
|-----|--------|-------|-------|----------------|-----------------|
| 10 | Row 10 | 15 | 19.05 | 07° 00. 672' S | 112° 40. 709' E |
| 11 | Row 11 | 15,2 | 19.10 | 06° 59. 663' S | 112° 41. 345' E |
| 12 | Row 12 | 15,1 | 19.15 | 06° 58. 610' S | 112° 42. 094' E |

Dari catatan posisi *latitude* dan *longitude* tersebut diplotkan pada aplikasi *google earth* untuk mengetahui letak geografis yang dilalui kapal KM. Doro Londa pada tanggal 9 sampai dengan 10 Oktober 2019, rute letak geografis tersebut dapat dilihat pada Gambar 4. 1.



Gambar 4. 1 Rute Pelayaran KM. Doro Londa Surbaya – Jakarta

Sedangkan catatan posisi *latitude* dan *longitude* kapal KM. Doro Londa saat berlayar dari Jakarta – Surabaya pada tanggal 11 sampai dengan 12 Oktober 2019, yang mana dapat dilihat pada Tabel 4. 3.

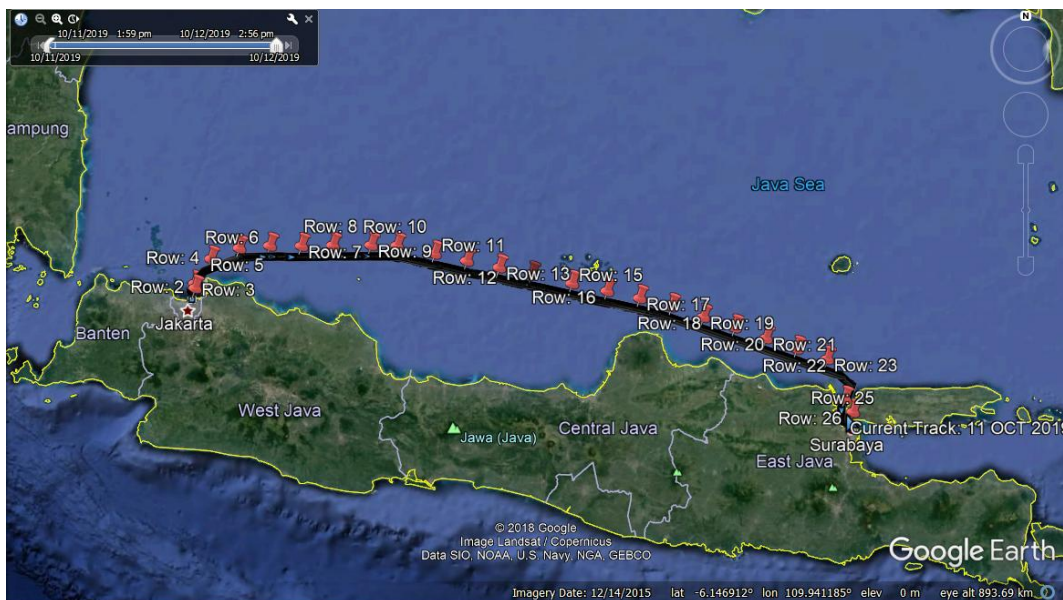
Tabel 4. 3 Posisi *Latitude & Longitude* KM. Doro Londa tgl 11 s.d 12 Oktober 2019

| No. | Row | Speed | Time | Latitude | Longitude |
|-----|-------|-------|-------|----------------|-----------------|
| 1 | Row 1 | - | 14.00 | 06° 06. 200' S | 106° 52. 956' E |
| 2 | Row 2 | - | 15.00 | 06° 06. 200' S | 106° 52. 956' E |
| 3 | Row 3 | 6,9 | 15.15 | 06° 05. 921' S | 106° 52. 999' E |

Tabel 4. 3 Posisi *Latitude & Longitude* KM. Doro Londa tgl 11 s.d 12 Oktober 2019
 (Lanjutan)

| No. | Row | Speed | Time | Latitude | Longitude |
|-----|--------|-------|-------|----------------|-----------------|
| 4 | Row 4 | 3,9 | 15.50 | 06° 05. 630' S | 106° 52. 991' E |
| 5 | Row 5 | 11,7 | 15.25 | 06° 04. 849' S | 106° 52. 844' E |
| 6 | Row 6 | 12,7 | 15.30 | 06° 03. 787' S | 106° 52. 766' E |
| 7 | Row 7 | 16,7 | 16.00 | 05° 56. 591' S | 106° 56. 183' E |
| 8 | Row 8 | 16,2 | 16.05 | 05° 55. 393' S | 106° 56. 906' E |
| 9 | Row 9 | 16,2 | 16.10 | 05° 54. 146' S | 106° 57. 762' E |
| 10 | Row 10 | 16,2 | 16.15 | 05° 53. 184' S | 106° 58. 485' E |
| 11 | Row 11 | 15,8 | 16.20 | 05° 52. 211' S | 106° 59. 462' E |
| 12 | Row 12 | 15,9 | 16.25 | 05° 51. 341' S | 107° 00. 544' E |

Untuk catatan posisi *latitude* dan *longitude* tersebut diplotkan pada aplikasi *google earth* untuk mengetahui letak geografis yang dilalui kapal KM. Doro Londa pada tanggal 11 sampai dengan 12 Oktober 2019, rute letak geografis tersebut dapat dilihat pada Gambar 4. 2.



Gambar 4. 2 Rute Pelayaran KM. Doro Londa Jakarta – Surabaya

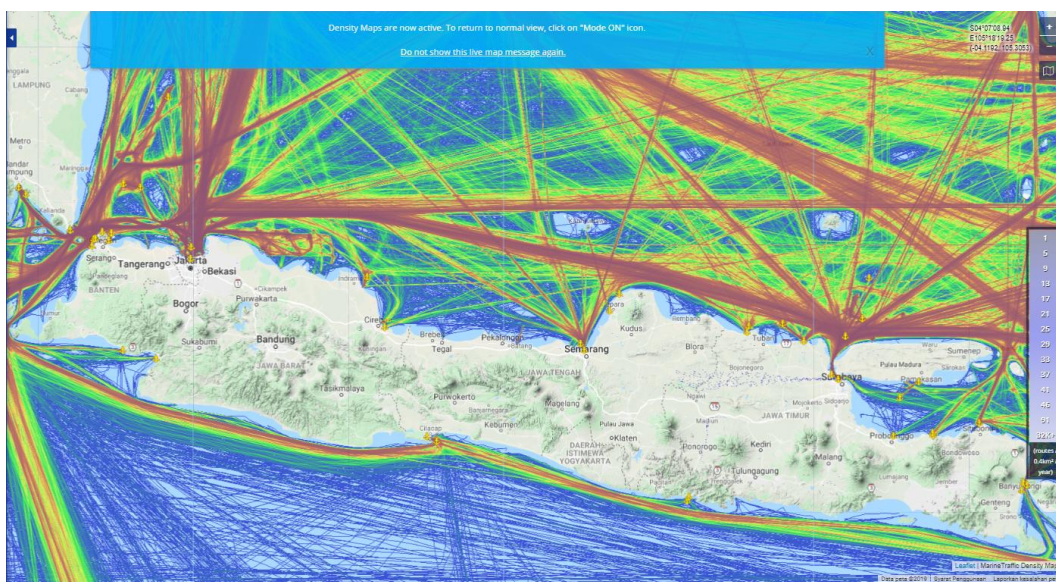
4.2.2 Validasi Rute Pelayaran

Dari hasil pencatatan rute pelayaran KM. Doro Londa yang telah diplotkan di map melalui aplikasi *google earth*, perlu di lakukan nya validasi untuk mengetahui apakah benar rute tersebut rute yang disering dilalui oleh kapal kapal lainnya ketika kapal berlayar dari surabaya- jakarta atau sebaliknya. Dalam hal ini terkait untuk menentukan rute pelayaran terbaik dengan beberapa faktor parameter

yang perlu dilihat, berikut beberapa faktor yang perlu ditinjau untuk menetukan rute pelayaran:

- *Safety* (tidak mengganggu jalur para nelayan, ditinjau dari tingkat jarak dermaga terdekat jika terjadi *incident*)
- Effisiensi bahan bakar (jalur terdekat untuk menghemat bahan bakar)
- Kondisi lingkungan (cuaca & kondisi perairan juga menetukan rute pelayaran, karena salah satu faktor yang menetukan kinerja mesin kapal saat berlayar)

Jika dilihat dari <https://www.marinetraffic.com/> dapat diketahui jalur dengan kepadatan kapal yang lebih besar seperti pada Gambar 4. 3, hal ini membuktian bahwa jalur tersebut merupakan jalur yang sering digunakan oleh kapal saat berlayar.



Gambar 4. 3 Validasi Rute KM.Doro Londa Surabaya – Jakarta / Jakarta – Surabaya

4.2.3 Rekapitulasi Konsumsi Bahan Bakar

Data konsumsi bahan bakar KM. Doro Londa yang berlayar pada tanggal 9 sampai dengan 10 Oktober 2019 dilakukan rekapitulasi pada setiap jamnya, serta ditunjang data posisi *latitude & longitude* untuk mengetahui letak geografis yang dilalui oleh kapal. Kondisi lingkungan pelayaran juga dipertimbangkan karena berpengaruh pada konsumsi bahan bakar. Data menunjukkan konsumsi bahan bakar berbeda dari *point to point record* seperti pada Tabel 4. 4 karena ada perubahan arah angin, kecepatan angin, arah arus, kecepatan arus, arah gelombang dan tinggi rendahnya gelombang yang bererak secara dinamis.

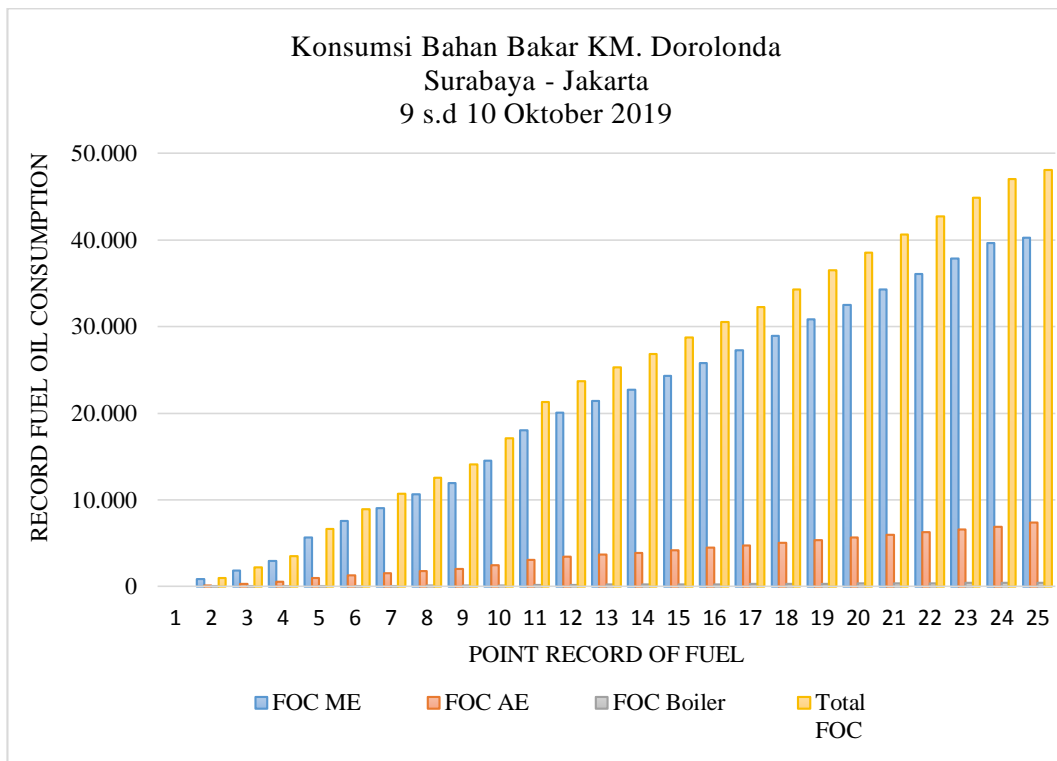
Tabel 4. 4 Record Konsumsi Bahan Bakar KM. Doro Londa tanggal 9 s.d 10 Oktober 2019

| ROF | FOC Main Engine ME PS / ME SB | | Time | Interval Minute | FOC ME PS | FOC ME SB | FOC ME | Flow Rate ME | FOC Aux Engine | FOC AE | Flow Rate AE | FOC Boiler | FOC Boiler | Flow rate Boiler | Total FOC | Flow Rate FOCTotal |
|-----|----------------------------------|---------------|-------|--------------------|--------------|--------------|-----------|--------------------|-------------------|-----------|--------------------|---------------|---------------|------------------------|--------------|-----------------------|
| 1 | 6.514.627,00 | 10.116.525,00 | 17.58 | 0 | 0,00 | 0,00 | 0,00 | 0,00 | 3.768.146,20 | 0,00 | 0,00 | 184.610 | 0 | 0,000 | 0,00 | 0,00 |
| 2 | 6.514.969,00 | 10.117.043,00 | 18.40 | 42 | 342,00 | 518,00 | 860,00 | 20,48 | 3.768.246,20 | 100,00 | 2,38 | 184.620 | 10 | 0,238 | 970,00 | 23,10 |
| 3 | 6.515.364,00 | 10.117.652,00 | 19.15 | 35 | 395,00 | 609,00 | 1.004,00 | 28,69 | 3.768.451,50 | 205,30 | 5,87 | 184.629 | 9 | 0,257 | 1.218,30 | 34,81 |
| 4 | 6.515.823,50 | 10.118.264,00 | 19.55 | 40 | 459,50 | 612,00 | 1.071,50 | 26,79 | 3.768.668,20 | 216,70 | 5,42 | 184.642 | 13 | 0,325 | 1.301,20 | 32,53 |
| 5 | 6.516.947,50 | 10.119.852,20 | 21.20 | 85 | 1.124,00 | 1.588,20 | 2.712,20 | 31,91 | 3.769.109,80 | 441,60 | 5,20 | 184.666 | 24 | 0,282 | 3.177,80 | 37,39 |
| 6 | 6.517.751,50 | 10.120.959,00 | 22.20 | 60 | 804,00 | 1.106,80 | 1.910,80 | 31,85 | 3.769.431,20 | 321,40 | 5,36 | 184.682 | 16 | 0,267 | 2.248,20 | 37,47 |
| 7 | 6.518.378,00 | 10.121.842,00 | 23.10 | 50 | 626,50 | 883,00 | 1.509,50 | 30,19 | 3.769.682,00 | 250,80 | 5,02 | 184.696 | 14 | 0,280 | 1.774,30 | 35,49 |
| 8 | 6.519.021,00 | 10.122.773,00 | 00.00 | 50 | 643,00 | 931,00 | 1.574,00 | 31,48 | 3.769.949,00 | 267,00 | 5,34 | 184.709 | 13 | 0,260 | 1.854,00 | 37,08 |
| 9 | 6.519.561,50 | 10.123.561,00 | 00.45 | 45 | 540,50 | 788,00 | 1.328,50 | 29,52 | 3.770.172,50 | 223,50 | 4,97 | 184.721 | 12 | 0,267 | 1.564,00 | 34,76 |
| 10 | 6.520.592,00 | 10.125.069,00 | 02.10 | 85 | 1.030,50 | 1.508,00 | 2.538,50 | 29,86 | 3.770.599,80 | 427,30 | 5,03 | 184.745 | 24 | 0,282 | 2.989,80 | 35,17 |
| 11 | 6.522.040,00 | 10.127.157,00 | 04.05 | 115 | 1.448,00 | 2.088,00 | 3.536,00 | 30,75 | 3.771.211,50 | 611,70 | 5,32 | 184.785 | 40 | 0,348 | 4.187,70 | 36,41 |
| 12 | 6.522.842,50 | 10.128.358,00 | 05.15 | 70 | 802,50 | 1.201,00 | 2.003,50 | 28,62 | 3.771.565,80 | 354,30 | 5,06 | 184.810 | 25 | 0,357 | 2.382,80 | 34,04 |
| 13 | 6.523.374,00 | 10.129.182,00 | 06.00 | 45 | 531,50 | 824,00 | 1.355,50 | 30,12 | 3.771.810,20 | 244,40 | 5,43 | 184.826 | 16 | 0,356 | 1.615,90 | 35,91 |
| 14 | 6.523.892,50 | 10.129.985,00 | 06.45 | 45 | 518,50 | 803,00 | 1.321,50 | 29,37 | 3.772.044,00 | 233,80 | 5,20 | 184.840 | 14 | 0,311 | 1.569,30 | 34,87 |
| 15 | 6.524.515,50 | 10.130.948,00 | 07.40 | 55 | 623,00 | 963,00 | 1.586,00 | 28,84 | 3.772.333,80 | 289,80 | 5,27 | 184.860 | 20 | 0,364 | 1.895,80 | 34,47 |

Tabel 4. 4 Record Konsumsi Bahan Bakar KM. Doro Londa tanggal 9 s.d 10 Oktober 2019 (Lanjutan)

| ROF | FOC Main Engine ME PS / ME SB | | Time | Interval Minute | FOC ME PS | FOC ME SB | FOC ME | Flow Rate ME | FOC Aux Engine | FOC AE | Flow Rate AE | FOC Boiler | FOC Boile r | Flow rate Boiler | Total FOC | Flow Rate FOCTotal |
|-----|----------------------------------|---------------|-------|--------------------|--------------|--------------|-----------|--------------------|-------------------|-----------|--------------------|---------------|-------------------|------------------------|--------------|-----------------------|
| 16 | 6.525.107,50 | 10.131.845,00 | 08.30 | 50 | 592,00 | 897,00 | 1.489,00 | 29,78 | 3.772.607,20 | 273,40 | 5,47 | 184.876 | 16 | 0,320 | 1.778,4 0 | 35,57 |
| 17 | 6.525.691,00 | 10.132.714,00 | 09.18 | 48 | 583,50 | 869,00 | 1.452,50 | 30,26 | 3.772.883 | 275,80 | 5,75 | 184.894 | 18 | 0,375 | 1.746,3 0 | 36,38 |
| 18 | 6.526.366,00 | 10.133.713,00 | 10.15 | 57 | 675,00 | 999,00 | 1.674,00 | 29,37 | 3.773.179,20 | 296,20 | 5,20 | 184.917 | 23 | 0,404 | 1.993,2 0 | 34,97 |
| 19 | 6.527.120,50 | 10.134.854,00 | 11.15 | 60 | 754,50 | 1.141,00 | 1.895,50 | 31,59 | 3.773.509,00 | 329,80 | 5,50 | 184.937 | 20 | 0,333 | 2.245,3 0 | 37,42 |
| 20 | 6.527.791,00 | 10.135.877,00 | 12.15 | 60 | 670,50 | 1.023,00 | 1.693,50 | 28,23 | 3.773.807 | 298,00 | 4,97 | 184.956 | 19 | 0,317 | 2.010,5 0 | 33,51 |
| 21 | 6.528.499,00 | 10.136.962,00 | 13.15 | 60 | 708,00 | 1.085,00 | 1.793,00 | 29,88 | 3.774.120,00 | 313,00 | 5,22 | 184.975 | 19 | 0,317 | 2.125,0 0 | 35,42 |
| 22 | 6.529.199,5 | 10.138.018,00 | 14.15 | 60 | 700,50 | 1.056,00 | 1.756,50 | 29,28 | 3.774.433,80 | 313,80 | 5,23 | 184.994 | 19 | 0,317 | 2.089,3 0 | 34,82 |
| 23 | 6.529.904,50 | 10.139.094,00 | 15.15 | 60 | 705,00 | 1.076,00 | 1.781,00 | 29,68 | 3.774.753,80 | 320,00 | 5,33 | 185.016 | 22 | 0,367 | 2.123,0 0 | 35,38 |
| 24 | 6.530.630,50 | 10.140.190,00 | 16.15 | 60 | 726,00 | 1.096,00 | 1.822,00 | 30,37 | 3.775.054,20 | 300,40 | 5,01 | 185.035 | 19 | 0,317 | 2.141,4 0 | 35,69 |
| 25 | 6.530.901,00 | 10.140.496,00 | 17.00 | 45 | 270,50 | 306,00 | 576,50 | 12,81 | 3.775.543,80 | 489,60 | 10,88 | 185.064 | 29 | 0,644 | 1.095,1 0 | 24,34 |

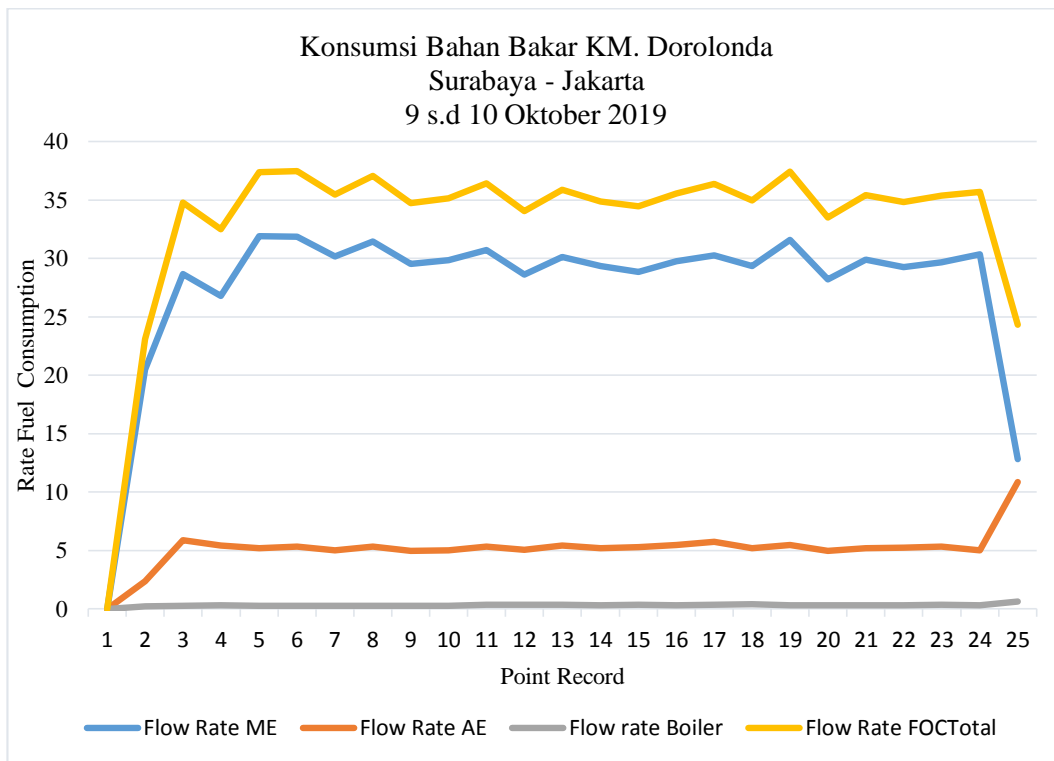
Dari hasil analisa tabel di atas, nilai konsumsi bahan bakar secara komulatif KM. Doro Londa saat berlayar tanggal 9 sampai dengan 10 Oktober 2019 untuk Mesin Induk adalah 40.245 Liter, konsumsi bahan bakar Mesin Bantu adalah 7.397,6 Liter dan konsumsi bahan bakar Boiler adalah 454 Liter. Jadi total konsumsi bahan bakar keseluruhan yaitu 48.096,60 Liter. Grafik selengkapnya dapat diperlihatkan pada Gambar 4. 4.



Gambar 4. 4 Konsumsi Bahan Bakar KM. Doro Londa Surabaya – Jakarta 9 s.d 10 Oktober 2019

Sedangkan untuk hasil analisa *flow rate* konsumsi bahan bakar KM. Doro Londa pada tanggal 9 sampai dengan 10 Oktober 2019 untuk setiap menitnya bergerak secara fluktuatif pada masing-masing *point record*. Hal ini disebabkan karena beberapa faktor yaitu salah satunya perbedaan kondisi lingkungan yang berubah pada saat berlayar. Grafik *Flow Rate* konsumsi bahan bakar dapat diamati pada garfik Gambar 4. 5. Contohnya saat empat jam pertama ketika berlayar, grafik menunjukkan terjadinya penurunan konsumsi bahan bakar pada *main engine* dari 28.69 liter ke 26.79 liter, hal ini relevan dengan kondisi aktual lingkungan yang terjadi pada jam tersebut yaitu adanya arah angin dan arus laut yang searah dengan arah kapal. Sebaliknya pada dua puluh jam pelayaran terjadi kenaikan konsumsi

bahan bakar dari 29.37 liter ke 31.59 liter hal ini disebabkan adanya arah angin dan arus laut yang berlawanan dengan arah kapal.



Gambar 4. 5 Flow Rate Konsumsi Bahan Bakar KM Doro Londa 9 s.d 10 Oktober 2019

Data konsumsi bahan bakar KM. Doro Londa yang berlayar pada tanggal 11 sampai dengan 12 Oktober 2019 dilakukan rekapitulasi pada setiap jamnya, serta ditunjang data posisi *latitude & longitude* untuk mengetahui letak geografis yang dilalui oleh kapal. Kondisi lingkungan pelayaran juga dipertimbangkan karena berpengaruh pada konsumsi bahan bakar. Data menunjukkan konsumsi bahan bakar berbeda dari *point to point record* seperti pada Tabel 4.5 karena ada perubahan arah angin, kecepatan angin, arah arus, kecepatan arus, arah gelombang dan tinggi rendahnya gelombang yang bererak secara dinamis. Total konsumsi bahan bakar ketika rute Surabaya-Jakarta dan Jakarta-Surabaya memiliki perbedaan sejumlah 1500 Liter. Dalam perjalanan KM. Doro Londa Surabaya-Jakarta dan sebaliknya memakan waktu kurang lebih 24 jam, adanya perbedaan jumlah kumulatif konsumsi bahan bakar dikarenakan ketika perjalanan pulang kapal melawan arus saat berlayar.

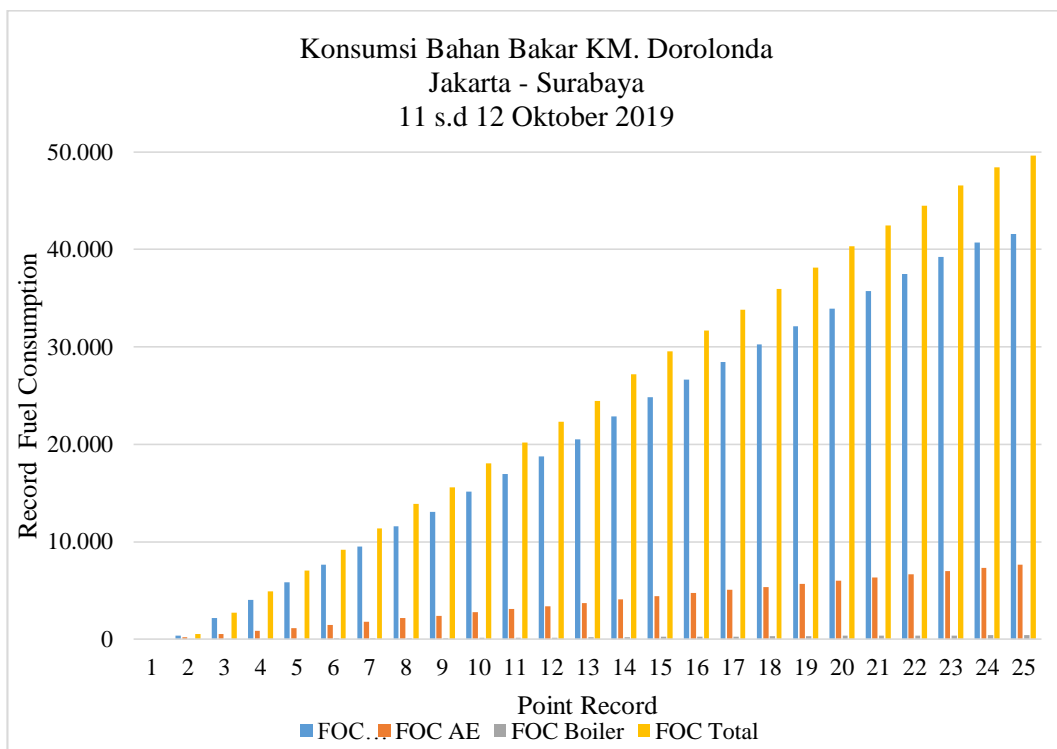
Tabel 4. 5 Record Konsumsi Bahan Bakar KM. Doro Londa tanggal 11 s.d 12 Oktober 2019

| ROF | FOC Main Engine ME PS / ME SB | | Time | Interval Minute | FOC ME PS | FOC ME SB | FOC ME | Flow Rate ME | FOC Aux Engine | FOC AE | Flow Rate AE | FOC Boiler | FOC Boiler | Flow Rate Boiler | FOC Total | Flow Rate FOC Total |
|-----|----------------------------------|---------------|-------|--------------------|--------------|--------------|-----------|--------------------|-------------------|-----------|--------------------|---------------|---------------|------------------------|--------------|---------------------------|
| 1 | 6.530.904,00 | 10.140.500,00 | 15.00 | 0 | 0,00 | 0,00 | 0,00 | 0,00 | 3.781.410,50 | 0,00 | 0,00 | 185.597 | 0 | 0 | 0 | 0,00 |
| 2 | 6.531.081,50 | 10.140.690,00 | 15.30 | 30 | 177,50 | 190,00 | 367,50 | 12,25 | 3.781.601,50 | 191,00 | 6,37 | 185.604 | 7 | 0,23 | 565,50 | 18,85 |
| 3 | 6.531.787,00 | 10.141.783,00 | 16.30 | 60 | 705,50 | 1.093,00 | 1.798,50 | 29,98 | 3.781.925,00 | 323,50 | 5,39 | 185.626 | 22 | 0,37 | 2.144,00 | 35,73 |
| 4 | 6.532.547,50 | 10.142.908,00 | 17.30 | 60 | 760,50 | 1.125,00 | 1.885,50 | 31,43 | 3.782.254,00 | 329,00 | 5,48 | 185.644 | 18 | 0,30 | 2.232,50 | 37,21 |
| 5 | 6.533.265,50 | 10.143.980,00 | 18.30 | 60 | 718,00 | 1.072,00 | 1.790,00 | 29,83 | 3.782.567,20 | 313,20 | 5,22 | 185.660 | 16 | 0,27 | 2.119,20 | 35,32 |
| 6 | 6.533.987,50 | 10.145.072,00 | 19.30 | 60 | 722,00 | 1.092,00 | 1.814,00 | 30,23 | 3.782.882,50 | 315,30 | 5,25 | 185.674 | 14 | 0,23 | 2.143,30 | 35,72 |
| 7 | 6.534.715,50 | 10.146.187,00 | 20.30 | 60 | 728,00 | 1.115,00 | 1.843,00 | 30,72 | 3.783.200,30 | 317,80 | 5,30 | 185.692 | 18 | 0,30 | 2.178,80 | 36,31 |
| 8 | 6.535.551,00 | 10.147.472,00 | 21.42 | 72 | 835,50 | 1.285,00 | 2.120,50 | 29,45 | 3.783.569,50 | 369,20 | 5,13 | 185.710 | 18 | 0,25 | 2.507,70 | 34,83 |
| 9 | 6.536.112,00 | 10.148.341,20 | 22.30 | 48 | 561,00 | 869,20 | 1.430,20 | 29,80 | 3.783.820,50 | 251,00 | 5,23 | 185.722 | 12 | 0,25 | 1.693,20 | 35,27 |
| 10 | 6.536.919,50 | 10.149.615,60 | 23.40 | 70 | 807,50 | 1.274,40 | 2.081,90 | 29,74 | 3.784.182,00 | 361,50 | 5,16 | 185.741 | 19 | 0,27 | 2.462,40 | 35,18 |
| 11 | 6.537.636,50 | 10.150.726,00 | 00.40 | 60 | 717,00 | 1.110,40 | 1.827,40 | 30,46 | 3.784.496,10 | 314,10 | 5,24 | 185.759 | 18 | 0,30 | 2.159,50 | 35,99 |
| 12 | 6.538.346,50 | 10.151.804,00 | 01.40 | 60 | 710,00 | 1.078,00 | 1.788,00 | 29,80 | 3.784.801,80 | 305,70 | 5,09 | 185.776 | 17 | 0,28 | 2.110,70 | 35,18 |
| 13 | 6.539.066,00 | 10.152.880,00 | 02.40 | 60 | 719,50 | 1.076,00 | 1.795,50 | 29,93 | 3.785.106,20 | 304,40 | 5,07 | 185.791 | 15 | 0,25 | 2.114,90 | 35,25 |
| 14 | 6.540.014,50 | 10.154.262,00 | 03.55 | 75 | 948,50 | 1.382,00 | 2.330,50 | 31,07 | 3.785.503,20 | 397,00 | 5,29 | 185.816 | 25 | 0,33 | 2.752,50 | 36,70 |
| 15 | 6.540.804,00 | 10.155.447,00 | 05.00 | 65 | 789,50 | 1.185,00 | 1.974,50 | 30,38 | 3.785.847,00 | 343,80 | 5,29 | 185.841 | 25 | 0,38 | 2.343,30 | 36,05 |
| 16 | 6.541.536,50 | 10.156.525,00 | 06.00 | 60 | 732,50 | 1.078,00 | 1.810,50 | 30,18 | 3.786.162,00 | 315,00 | 5,25 | 185.866 | 25 | 0,42 | 2.150,50 | 35,84 |

Tabel 4. 5 Record Konsumsi Bahan Bakar KM. Doro Londa tanggal 11 s.d 12 Oktober 2019 (Lanjutan)

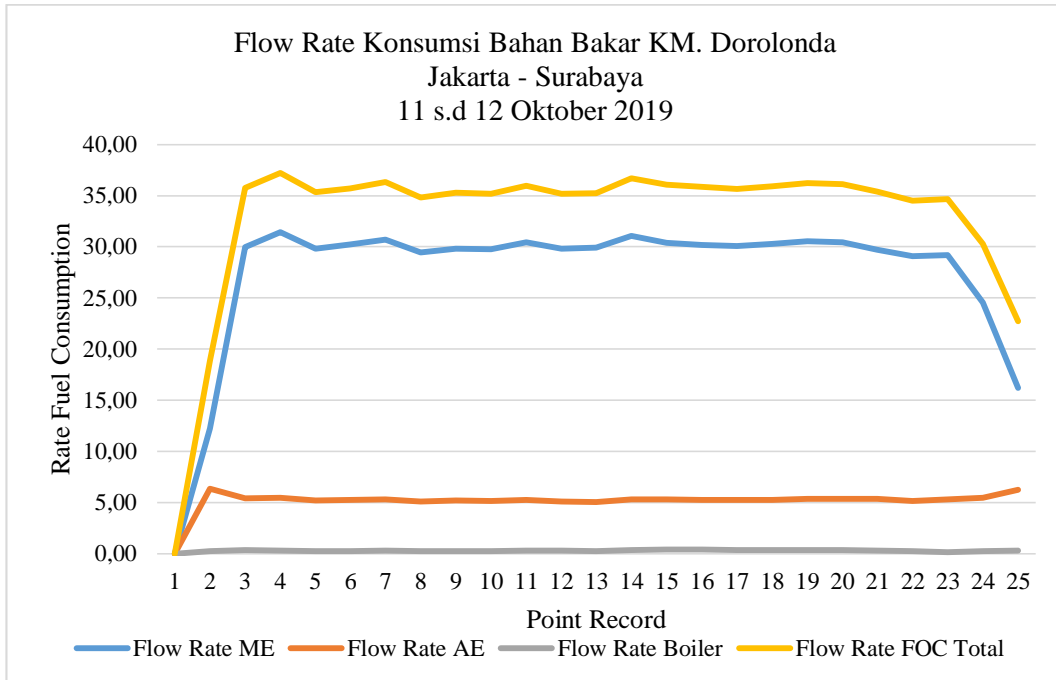
| ROF | FOC Main Engine ME PS / ME SB | | Time | Interval Minute | FOC ME PS | FOC ME SB | FOC ME | Flow Rate ME | FOC Aux Engine | FOC AE | Flow Rate AE | FOC Boiler | FOC Boiler | Flow Rate Boiler | FOC Total | Flow Rate FOC Total |
|-----|----------------------------------|---------------|-------|--------------------|--------------|--------------|-----------|--------------------|-------------------|-----------|--------------------|---------------|---------------|------------------------|--------------|---------------------------|
| 17 | 6.542.263,50 | 10.157.602,00 | 07.00 | 60 | 727,00 | 1.077,00 | 1.804,00 | 30,07 | 3.786.476,20 | 314,20 | 5,24 | 185.887 | 21 | 0,35 | 2.139,20 | 35,65 |
| 18 | 6.542.994,50 | 10.158.689,00 | 08.00 | 60 | 731,00 | 1.087,00 | 1.818,00 | 30,30 | 3.786.792,20 | 316,00 | 5,27 | 185.908 | 21 | 0,35 | 2.155,00 | 35,92 |
| 19 | 6.543.737,00 | 10.159.779,00 | 09.00 | 60 | 742,50 | 1.090,00 | 1.832,50 | 30,54 | 3.787.114,50 | 322,30 | 5,37 | 185.928 | 20 | 0,33 | 2.174,80 | 36,25 |
| 20 | 6.544.472,00 | 10.160.869,00 | 10.00 | 60 | 735,00 | 1.090,00 | 1.825,00 | 30,42 | 3.787.434,80 | 320,30 | 5,34 | 185.949 | 21 | 0,35 | 2.166,30 | 36,10 |
| 21 | 6.545.191,50 | 10.161.933,00 | 11.00 | 60 | 719,50 | 1.064,00 | 1.783,50 | 29,73 | 3.787.755,80 | 321,00 | 5,35 | 185.967 | 18 | 0,30 | 2.122,50 | 35,38 |
| 22 | 6.545.931,00 | 10.162.938,00 | 12.00 | 60 | 739,50 | 1.005,00 | 1.744,50 | 29,08 | 3.788.065,50 | 309,70 | 5,16 | 185.982 | 15 | 0,25 | 2.069,20 | 34,49 |
| 23 | 6.546.681,50 | 10.163.939,00 | 13.00 | 60 | 750,50 | 1.001,00 | 1.751,50 | 29,19 | 3.788.383,60 | 318,10 | 5,30 | 185.992 | 10 | 0,17 | 2.079,60 | 34,66 |
| 24 | 6.547.311 | 10.164.781,00 | 14.00 | 60 | 629,50 | 842,00 | 1.471,50 | 24,53 | 3.788.713 | 329,20 | 5,49 | 186.007 | 15 | 0,25 | 1.815,70 | 30,26 |
| 25 | 6.547.742,00 | 10.165.240,00 | 14.55 | 55 | 431,00 | 459,00 | 890,00 | 16,18 | 3.789.055,50 | 342,70 | 6,23 | 186.025 | 18 | 0,33 | 1.250,70 | 22,74 |

Dari hasil analisa tabel diatas, nilai konsumsi bahan bakar secara komulatif KM Doro Londa saat berlayar tanggal 11 sampai dengan 12 Oktober 2019 lebih meningkat. Hal ini ditunjukan dalam data untuk Mesin Induk adalah 41.578 Liter, konsumsi bahan bakar Mesin Bantu adalah 7.645 Liter dan konsumsi bahan bakar Boiler adalah 428 Liter. Jadi total konsumsi bahan bakar keseluruhan yaitu 49.651 Liter. Grafik selengkapnya dapat diperlihatkan pada Gambar 4. 6.



Gambar 4. 6 Konsumsi Bahan Bakar KM Doro Londa tanggal 11 s.d 12 Oktober 2019

Sedangkan untuk hasil analisa *flow rate* konsumsi bahan bakar KM Doro Londa pada tanggal 11 sampai dengan 12 Oktober 2019 untuk permenitnya bergerak secara fluktuatif pada masing-masing point recordnya. Hal ini disebabkan karena beberapa faktor yaitu salah satunya perbedaan kondisi lingkungan yang berubah pada saat berlayar. Grafik *flow rate* konsumsi bahan bakar dapat diamati pada Gambar 4. 7. Contohnya saat tiga belas jam pertama ketika berlayar, grafik menunjukkan terjadinya peningkatan konsumsi bahan bakar pada *main engine* dari 29.93 liter ke 31.07 liter, hal ini relevan dengan kondisi aktual lingkungan yang terjadi pada jam tersebut yaitu adanya arah angin dan arus laut yang searah dengan arah kapal.



Gambar 4. 7 Flow Rate Konsumsi Bahan Bakar KM. Doro Londa 11 s.d 12 Oktober 2019

4.2.4 Pengambilan Data BMKG

Data BMKG sangat diperlukan untuk mengetahui kondisi letak geografis yang akan dilalui oleh kapal. Hal ini juga untuk menetukan garis haluan kapal atau rute pelayaran yang aman jika dilalui, serta menjadi salah satu parameter kinerja mesin saat berlayar. Begitu juga menjadi salah satu faktor yang mempengaruhi jumlah konsumsi bahan bakar karena faktor perbedaan kondisi dari masing masing letak geografis rute pelayaran.

Ada beberapa data BMKG yang menjadi informasi penting dalam penentuan garis haluan atau rute kapal yaitu sebagai berikut ;

- Pergerakan arah angin & kecepatan angin
- Arah arus & kecepatan arus
- Arah gelombang & tinggi rendahnya gelombang

Masing masing letak geografis mempunyai pergerakan yang dinamis dari waktu ke waktunya. Ini yang menyebabkan perbedaan konsumsi bahan bakar yang berbeda walaupun dengan rute pelayaran yang sama. Data BMKG yang dilalui kapal KM. Doro Londa pada tanggal 9 sampai dengan 12 Oktober 2019 dapat dilihat pada Tabel 4. 6 & Tabel 4. 7.

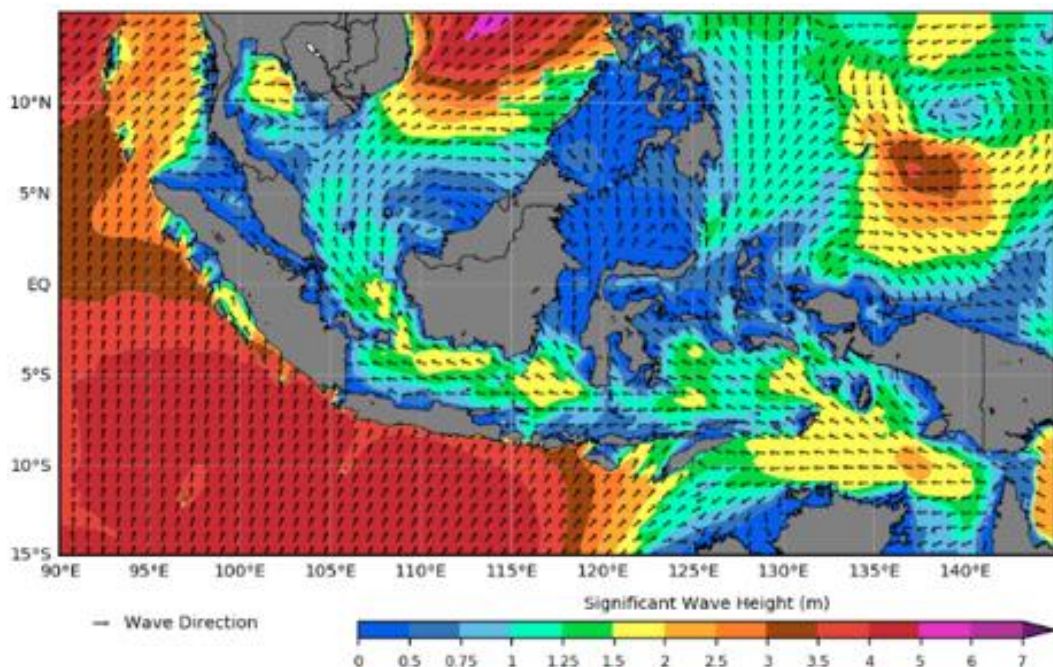
Tabel 4. 6 Data BMKG berdasarkan Posisi Latitude & Longitude KM Doro Londa pada Tanggal 9 s.d 10 Oktober 2019

| ROF | Date | Time (WIB) | WindDir (TN) | WindDir | WindSpd (knot) | CuDir(TN) | CuDir | CuSpd (cm/s) | WaveDir (TN) | WaveDir | Htot (m) | H1/10 (m) | H1/100 (m) | PTot(s) | WaveLen(m) |
|-----|------------|------------|--------------|---------|----------------|-----------|-------|--------------|--------------|---------|----------|-----------|------------|---------|------------|
| 1 | 10/11/2019 | 15 | 58.93 | ENE | 4.12 | 314.38 | NW | 2.97 | 88.65 | E | .43 | .54 | .71 | 4.25 | 28.24 |
| 2 | 10/11/2019 | 15 | 59.43 | ENE | 4.30 | 314.16 | NW | 3.40 | 89.17 | E | .48 | .60 | .79 | 4.72 | 34.70 |
| 3 | 10/11/2019 | 16 | 60.49 | ENE | 6.15 | 321.03 | NW | 3.72 | 90.00 | E | .60 | .77 | 1.01 | 5.61 | 49.08 |
| 4 | 10/11/2019 | 17 | 56.56 | ENE | 7.32 | 339.63 | NNW | 3.76 | 90.00 | E | .64 | .82 | 1.07 | 5.61 | 49.11 |
| 5 | 10/11/2019 | 18 | 50.61 | NE | 8.37 | 357.92 | N | 5.01 | 90.00 | E | .69 | .87 | 1.15 | 5.55 | 48.08 |
| 6 | 10/11/2019 | 19 | 46.57 | NE | 9.67 | 11.06 | N | 6.25 | 90.00 | E | .74 | .94 | 1.23 | 5.49 | 47.05 |
| 7 | 10/11/2019 | 20 | 53.84 | NE | 8.96 | 23.24 | NNE | 4.45 | 90.00 | E | .70 | .89 | 1.17 | 5.28 | 43.55 |
| 8 | 10/11/2019 | 22 | 68.64 | ENE | 7.75 | 64.35 | ENE | 1.56 | 90.00 | E | .66 | .84 | 1.10 | 5.24 | 42.82 |
| 9 | 10/11/2019 | 23 | 77.58 | ENE | 7.49 | 138.38 | SE | 1.65 | 90.00 | E | .66 | .84 | 1.11 | 5.05 | 39.74 |
| 10 | 10/12/2019 | 0 | 82.95 | E | 7.48 | 166.28 | SSE | 1.52 | 91.02 | E | .70 | .89 | 1.17 | 5.03 | 39.41 |
| 11 | 10/12/2019 | 1 | 82.12 | E | 7.67 | 49.88 | NE | .19 | 90.96 | E | .72 | .91 | 1.20 | 5.03 | 39.46 |
| 12 | 10/12/2019 | 2 | 81.80 | E | 8.04 | 24.65 | NNE | 1.81 | 90.50 | E | .73 | .93 | 1.22 | 5.06 | 39.98 |
| 13 | 10/12/2019 | 3 | 85.22 | E | 8.20 | 23.93 | NNE | 2.59 | 90.05 | E | .73 | .93 | 1.22 | 5.09 | 40.36 |
| 14 | 10/12/2019 | 4 | 95.01 | E | 7.49 | 358.67 | N | 1.78 | 90.61 | E | .70 | .89 | 1.17 | 5.28 | 43.42 |
| 15 | 10/12/2019 | 5 | 110.95 | SEE | 6.95 | 295.73 | WNW | 1.18 | 90.00 | E | .66 | .84 | 1.11 | 5.40 | 45.42 |
| 16 | 10/12/2019 | 6 | 125.80 | SE | 7.33 | 251.82 | WSW | 1.80 | 90.00 | E | .67 | .85 | 1.12 | 5.44 | 46.08 |
| 17 | 10/12/2019 | 7 | 137.31 | SE | 8.22 | 227.14 | SW | 2.79 | 90.00 | E | .68 | .86 | 1.13 | 5.42 | 45.83 |
| 18 | 10/12/2019 | 8 | 137.61 | SE | 7.24 | 239.34 | WSW | 4.05 | 90.00 | E | .64 | .82 | 1.07 | 5.36 | 44.84 |
| 19 | 10/12/2019 | 9 | 136.26 | SE | 6.49 | 249.31 | WSW | 4.52 | 90.00 | E | .60 | .76 | 1.00 | 5.23 | 42.75 |
| 20 | 10/12/2019 | 10 | 131.66 | SE | 5.86 | 264.32 | W | 4.28 | 90.00 | E | .51 | .65 | .85 | 4.67 | 34.02 |
| 21 | 10/12/2019 | 11 | 120.92 | SEE | 5.15 | 280.09 | W | 4.16 | 90.00 | E | .40 | .50 | .66 | 3.75 | 21.97 |
| 22 | 10/12/2019 | 12 | 107.34 | SEE | 4.50 | 287.72 | WNW | 4.16 | 90.00 | E | .29 | .37 | .48 | 2.84 | 12.60 |
| 23 | 10/12/2019 | 13 | 95.01 | E | 3.63 | 285.86 | WNW | 2.80 | 90.00 | E | .13 | .16 | .21 | 1.31 | 2.67 |
| 24 | 10/12/2019 | 14 | 96.42 | E | 2.19 | 105.87 | SEE | .32 | 90.00 | E | .01 | .01 | .02 | .18 | .05 |
| 25 | 10/12/2019 | 15 | 84.38 | E | 1.48 | 79.80 | E | .60 | 90.00 | E | .06 | .07 | .10 | .83 | 1.06 |

Tabel 4. 7 Data BMKG berdasarkan Posisi Latitude & Longitude KM Doro Londa pada Tanggal 9 s.d 10 Oktober 2019

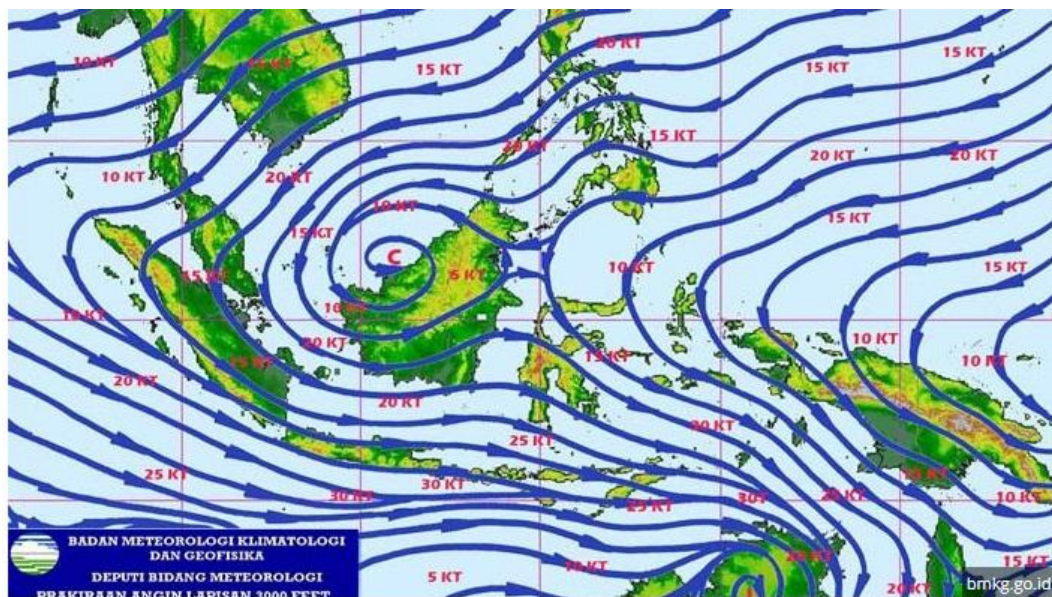
| ROF | Date | Time (WIB) | WindDir (TN) | WindDir | WindSpd (knot) | CuDir (TN) | CuDir | CuSpd (cm/s) | WaveDir (TN) | WaveDir | Htot (m) | H1/10 (m) | H1/100 (m) | Ptot (s) | WaveLen (m) |
|-----|------------|------------|--------------|---------|----------------|------------|-------|--------------|--------------|---------|----------|-----------|------------|----------|-------------|
| 1 | 10/10/2019 | 18 | 101.47 | SEE | 2.17 | 69.96 | ENE | 1.07 | 90.00 | E | .06 | .07 | .10 | .85 | 1.12 |
| 2 | 10/10/2019 | 19 | 86.50 | E | 2.95 | 83.38 | E | .73 | 90.00 | E | .01 | .01 | .02 | .28 | .12 |
| 3 | 10/10/2019 | 19 | 85.05 | E | 4.25 | 260.84 | W | .94 | 90.00 | E | .03 | .03 | .04 | .20 | .07 |
| 4 | 10/10/2019 | 20 | 90.66 | E | 5.57 | 269.52 | W | 6.04 | 90.00 | E | .20 | .26 | .34 | 1.51 | 3.57 |
| 5 | 10/10/2019 | 21 | 91.16 | E | 7.04 | 270.99 | W | 11.31 | 90.00 | E | .45 | .57 | .75 | 3.33 | 17.33 |
| 6 | 10/10/2019 | 22 | 94.87 | E | 7.60 | 271.17 | W | 13.77 | 90.00 | E | .58 | .74 | .97 | 4.26 | 28.35 |
| 7 | 10/10/2019 | 23 | 99.03 | E | 7.77 | 271.00 | W | 15.61 | 90.00 | E | .69 | .88 | 1.15 | 4.99 | 38.85 |
| 8 | 10/11/2019 | 0 | 102.94 | SEE | 7.92 | 269.64 | W | 15.11 | 90.00 | E | .76 | .97 | 1.27 | 5.25 | 43.04 |
| 9 | 10/10/2019 | 1 | 99.90 | E | 7.51 | 267.99 | W | 20.55 | 90.00 | E | .78 | 1.00 | 1.31 | 5.39 | 45.35 |
| 10 | 10/10/2019 | 2 | 100.60 | E | 8.74 | 269.75 | W | 16.97 | 90.00 | E | .88 | 1.11 | 1.46 | 5.42 | 45.77 |
| 11 | 10/10/2019 | 4 | 113.53 | SEE | 10.21 | 278.34 | W | 12.88 | 90.00 | E | .92 | 1.17 | 1.54 | 5.29 | 43.65 |
| 12 | 10/10/2019 | 5 | 119.88 | SEE | 11.25 | 289.27 | WNW | 11.37 | 90.00 | E | .97 | 1.23 | 1.61 | 5.18 | 41.87 |
| 13 | 10/10/2019 | 6 | 128.72 | SE | 11.85 | 296.33 | WNW | 10.62 | 90.00 | E | .99 | 1.26 | 1.66 | 5.07 | 40.09 |
| 14 | 10/10/2019 | 7 | 141.32 | SE | 11.84 | 295.75 | WNW | 10.61 | 90.00 | E | .94 | 1.19 | 1.56 | 5.05 | 39.74 |
| 15 | 10/10/2019 | 8 | 152.41 | SSE | 9.67 | 293.65 | WNW | 10.63 | 90.00 | E | .80 | 1.02 | 1.34 | 5.06 | 39.90 |
| 16 | 10/10/2019 | 9 | 159.60 | SSE | 8.10 | 295.08 | WNW | 9.65 | 90.00 | E | .76 | .97 | 1.27 | 5.09 | 40.48 |
| 17 | 10/10/2019 | 9 | 167.95 | SSE | 7.54 | 298.59 | WNW | 8.69 | 90.00 | E | .73 | .92 | 1.22 | 5.16 | 41.48 |
| 18 | 10/10/2019 | 10 | 160.26 | SSE | 5.66 | 307.92 | NW | 8.34 | 90.00 | E | .65 | .82 | 1.08 | 5.23 | 42.66 |
| 19 | 10/10/2019 | 11 | 147.44 | SSE | 3.93 | 305.90 | NW | 9.80 | 90.00 | E | .62 | .78 | 1.03 | 5.44 | 46.16 |
| 20 | 10/10/2019 | 12 | 126.52 | SE | 2.43 | 300.80 | WNW | 10.94 | 90.00 | E | .61 | .77 | 1.02 | 5.62 | 49.24 |
| 21 | 10/10/2019 | 13 | 102.86 | SEE | 1.45 | 298.73 | WNW | 10.19 | 90.00 | E | .60 | .77 | 1.01 | 5.62 | 49.19 |
| 22 | 10/10/2019 | 14 | 46.91 | NE | .38 | 296.66 | WNW | 8.62 | 90.00 | E | .60 | .76 | 1.00 | 5.61 | 49.11 |
| 23 | 10/10/2019 | 15 | 278.17 | W | 1.41 | 293.94 | WNW | 7.82 | 90.00 | E | .57 | .73 | .96 | 5.64 | 49.56 |
| 24 | 10/10/2019 | 16 | 262.03 | W | 3.66 | 291.68 | WNW | 7.03 | 90.00 | E | .53 | .67 | .88 | 5.52 | 47.59 |
| 25 | 10/10/2019 | 17 | 262.71 | W | 4.33 | 287.68 | WNW | 5.19 | 88.66 | E | .40 | .50 | .66 | 4.29 | 28.68 |

Dari data tabel 4.7 direpresentasikan menjadi bentuk peta perkiraan gelombang pada tanggal 10 Oktober 2019 yang di keluarkan oleh BMKG, jika diamati lebih dalam terdapat perubahan arah gelombang pada letak geografis yang berbeda. Perubahan tersebut dapat dilihat dari Peta Perkiraan Gelombang seperti pada Gambar 4. 8. Pada Peta BMKG tanggal 10 Oktober arah gelombang dari arah timur searah dengan arah kapal berlayar.



Gambar 4. 8 Peta Perkiraan Gelombang pada tanggal 10 Oktober 2019

Pada tanggal 9 sampai dengan 10 Oktober KM Doro Londa secara garis besar berlayar menuju dengan arah yang sama, ini menyebabkan kecepatan kapal yang lebih optimal dan dapat menghemat konsumsi bahan bakar saat kapal berlayar dari Surabaya menuju ke Jakarta. Hal tersebut dapat diamati pada tabel grafik konsumsi bahan bakar pada tanggal yang sama. Selanjutnya dari data tabel perkiraan cuaca pada tanggal 9 sampai dengan 10 Oktober 2019 juga dapat dipetakan perkiraan arah angin dan kecepatan angin. Pergerakan arah angin dan kecepatan angin juga bergerak secara fluktuatif, ini juga mempengaruhi pergerakan kapal dan konsumsi bahan bakar kapal saat berlayar. Peta tersebut dapat diamati dari Peta Perkiraan arah angin pada Gambar 4. 9.



Gambar 4. 9 Peta Perkiraan arah angin pada tanggal 10 Oktober 2019

4.3. Perhitungan Tahanan Menggunakan Metode Holtrop

Perhitungan tahanan menggunakan metode holtrop dilakukan untuk mengetahui nilai tahanan total kapal yang dipengaruhi oleh nilai Fn, luas permukaan basah kapal, serta koefisien-koefisien lainnya sehingga didapatkan besarnya tahanan tambahan, tahanan gesek, tahanan gelombang dan transom serta tahanan model. Berikut merupakan langkah-langkah rumusan empiris dalam melakukan perhitungan tahanan dengan menggunakan metode holtrop.

4.3.1 Kriteria Metode Holtrop

Tabel 4. 8 Range of variables for statistical power prediction method at MARIN

| Ship type | Max. Fn | Cp | L/B | B/T |
|-------------------------------|---------|-------------|-----------|-----------|
| Tanker, Bulk Carriers (Ocean) | 0.24 | 0.73 – 0.85 | 5.1 – 7.1 | 2.4 – 3.2 |
| Trawlers, Coaster | 0.38 | 0.55 – 0.65 | 3.9 – 6.3 | 2.1 – 3.0 |
| Containerships | 0.45 | 0.55 – 0.67 | 6.0 – 9.5 | 3.0 – 4.0 |
| Cargoliners | 0.30 | 0.56 – 0.75 | 5.3 – 8.0 | 2.4 – 4.0 |
| Ro-Ro, car-ferries | 0.35 | 0.55 – 0.67 | 5.3 – 8.0 | 3.2 – 4.0 |

(Sumber : Lewis, 1988 : 90)

Dimana batasan pada metode Holtrop :

F_n : hingga 0.35

C_p : 0.55 – 0.67

B/T : 3.20 – 4.00

L/B : 5.30 – 8.00

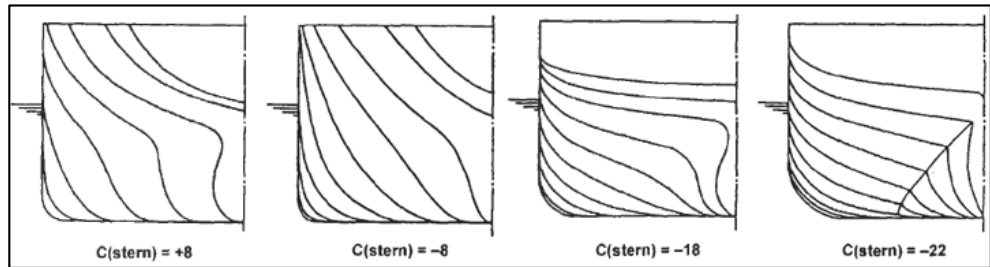
4.3.2 Perhitungan *Form Factor*

$$1 + k = 0.93 + 0.487118c_{14} (B/T)^{1.06806} (T/L)^{0.46106} (L/L_R)^{0.121563} (L^3/V)^{0.36486} (1 - C_p)^{-0.604247}$$

Dimana :

$$L_R = L \left(\frac{1 - C_p + 0.06 x C_p x lcb}{4C_p - 1} \right)$$

$$c_{14} = 1 + 0.011 c_{\text{stern}}$$



Gambar 4. 10 Nilai c_{stern} yang di dapat dari hasil pendekatan gambar yang menyerupai bentuk potongan badan kapal kita

4.3.3 Perhitungan Luas Permukaan Basah

$$S = L (2T + B) \sqrt{C_M} (0.453 + 0.4425 C_B - 0.2862 C_M - 0.003467B/T + 0.3696 C_{WP}) + 2.38A_{BT}/C_B$$

Dimana :

L : LWL

C_M : Koef. Midship

C_B : Koef. Block

C_{WP} : Koef. Waterline

A_{BT} : Luas penampang melintang dari Bulb

4.3.4 Perhitungan Tahanan Tambahan (R_{APP})

$$R_{APP} = 0.5 \rho V^2 S_{APP} (1 + k_2)_{eq} C_F$$

Dimana :

- S_{APP} merupakan luasan area appendage yang meliputi rudder dan bilge keel. Luasan yang mempengaruhi tahanan tambahan pada kapal ini adalah rudder tanpa menggunakan bilge keel. Luasan rudder dapat dicari dengan menggunakan rumus (BKI, 2006 : A.3. 14-1) :

$$A = C_1 \times C_2 \times C_3 \times C_4 \times \frac{1.75 \times L \times T}{100}$$

keterangan :

C1: 1 ,secara umum

C2: 1 ,secara umum

C3: 1 ,secara umum

C4: 1 ,secara umum

- $(1 + k_2)_{eq}$ merupakan appendage resistance factor, kapal yang dirancang memiliki tahanan tambahan rudder di buritan dan bilge keel. Nilai dari $\sum(1 + k_2)$ dapat dicari dengan menjumlahkan komponen-komponen yang ada pada kapal sesuai dengan tabel *approximate i+k₂ value* dibawah ini

$$(1 + k_2)_{eq} = \frac{\sum(1+k_2)S_{APP}}{\sum S_{APP}}$$

C_F merupakan koefisien tahanan gesek dari kapal dengan perhitungan yang menggunakan metode ITTC 1957.

Tabel 4. 9. *Approximate 1 + k₂ values*

| Effective From Factor Values k ₂ for Different Appendages | |
|--|---------------------------|
| Type of appendage | Value of 1+k ₂ |
| Rudder of single screw ship | 1.3-1.5 |
| Spade type rudders of twin screw ships | 2.8 |
| Skeg rudders of twin screw ships | 1.5-2.0 |
| Shaft brackets | 3.0 |
| Bossings | 2.0 |
| Bilge keels | 1.4 |
| Stabilizer fins | 2.8 |
| Shafts | 2.0 |
| Sonar dome | 2.7 |

(Sumber : Lewis, 1988 : 92)

- Menentukan Harga Bilangan Froude Number dan Reynould Number (Harvald, 1983 : 118)

$$\begin{aligned} g &: 9.8 \text{ m/s}^2 \\ v &: 0.94252 \times 10^{-6} \text{ m}^2/\text{s} (\text{pada suhu } 25^\circ) \end{aligned}$$

$$F_n = \frac{V}{\sqrt{gL}}$$

- Mencari Nilai Koefisien Tahanan Gesek (C_f)
(Harvald, 1983 : 118)

$$C_f = \frac{0.075}{(\log_{10} R_n - 2)^2}$$

4.3.5 Perhitungan Tahanan Gesek (R_F)

Menurut metode ITTC 1957, tahanan kapal dapat dihitung dengan menggunakan persamaan :

$$R_F = \frac{1}{2} \times \rho \times C_F \times S \times V^2$$

4.3.6 Perhitungan Tahanan Gelombang (R_w)

$$R_w = C_1 \cdot C_2 \cdot C_5 \cdot \nabla \cdot \rho \cdot g \cdot \exp\{m_1 F_n^d + m_2 \cos(\lambda F_n^{-2})\}$$

Dimana :

- $C_1 = 2223105 \cdot C_7^{3.78613} \cdot (T/B)^{1.07961} \cdot (90 - i_E)^{-1.37565}$
- $C_7 = B/L$
- $i_E = 9.5$ (*setengah sudut masuk* $19^\circ/2$)
- $C_2 = \exp(-1.89\sqrt{C_3})$
- $C_3 = 0$ (*kapal tidak menggunakan bulbous bow*)
- $C_5 = 1 - 0.8 \cdot A_T / (B \cdot T \cdot C_M)$
- $\lambda = 1.446 \cdot C_P - 0.03 L/B$
- $m_1 = 0.0140407 \cdot \frac{L}{T} - 1.75254 \cdot \frac{\sqrt[1]{V}}{L} + (-4.79323) \cdot \frac{B}{L} - C_{16}$
- $d = -0.9$
- $m_2 = C_{15} \cdot C_P^2 \cdot \exp(-0.1 \cdot F_n^{-2})$

4.3.7 Perhitungan Tahalan Model – Ship Correlation (R_A)

$$R_A = \frac{1}{2} \cdot \rho \cdot V^2 \cdot S \cdot C_A$$

Dimana :

- $C_A = 0.006(L + 100)^{-0.16} - 0.00205 + 0.003\sqrt{\frac{L}{7.5}} \cdot C_B^4 \cdot C_2 \cdot (0.04 - C_4)$
- $C_4 = 0.04$ when $T_F/L > 0.04$
- $C_2 = \exp(-1.89\sqrt{C_3})$
- $C_3 = 0$ (*kapal tidak menggunakan bulbous bow*)
- $C_2 = \exp(-1.89\sqrt{0})$
- $C_2 = 1$

4.3.8 Perhitungan Tahanan Total (R_T)

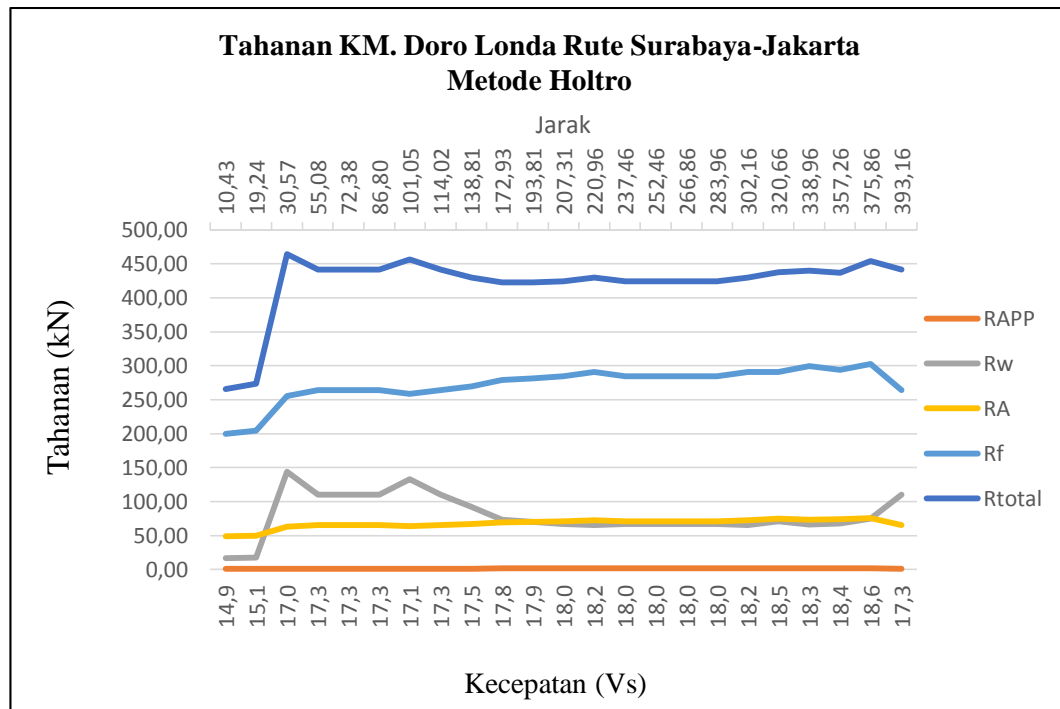
$$R_{total} = R_{APP} + R_F + R_W + R_A$$

Dimana :

- R_{APP} = Tahanan tambahan
- R_F = Tahanan gesek
- R_W = Tahanan gelombang
- R_A = Tahanan model

4.3.9 Hasil Perhitungan Tahanan Total Rute Surabaya-Jakarta

Berdasarkan Gambar 4. 11 dapat dilihat bahwa tahanan total KM. Doro Londa yang beroperasi dengan rute pelayaran Surabaya-Jakarta berbeda antara satu titik lokasi dengan titik lokasi lainnya meskipun terdapat kecepatan yang sama seperti pada kecepatan 17,3 knots; 18,0 knots; 18,2 knots dan 18,3 knots. Hal ini dikarenakan adanya perbedaan kondisi lingkungan yang menyebabkan tahanan tambahan, tahanan gesek, tahanan gelombang serta tahanan model berbeda-beda



Gambar 4. 11 Grafik tahanan KM. Doro Londa Rute Surabaya-Jakarta berdasarkan Metode Holtrop dengan 25 variasi lokasi dan kondisi lingkungan yang berbeda

Dengan menggunakan rumus perhitungan empiris didapatkan nilai tahanan pada kecepatan yang berbeda dengan 25 variasi kondisi dan lokasi yang berbeda seperti pada Tabel 4. 11:

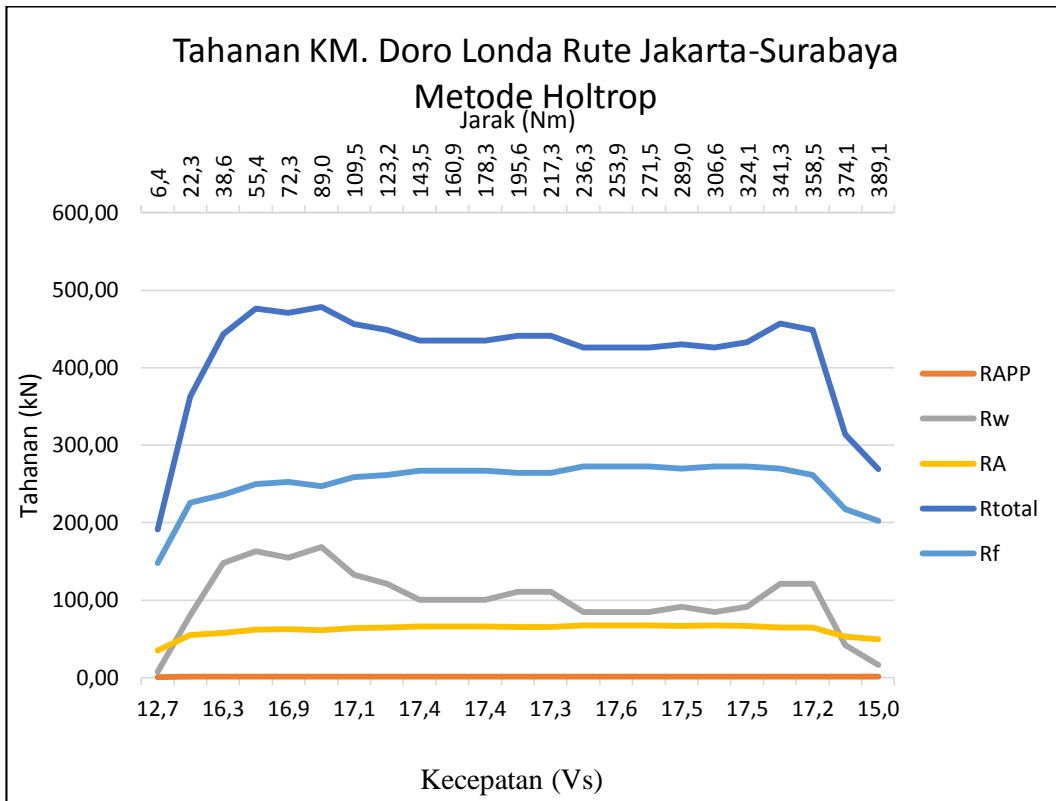
Tabel 4. 10. Hasil Perhitungan Empiris Tahanan berdasarkan Metode Holtrop Rute Surabaya-Jakarta

| No. | V _s | R _F | R _{APP} | R _w | R _A | R _{TOTAL} |
|-----|----------------|----------------|------------------|----------------|----------------|--------------------|
| 1 | 0,00 | 0,00 | 0,00 | 0,00 | 0,00 | 0,00 |
| 2 | 14,90 | 199,61 | 0,96 | 16,52 | 48,52 | 265,61 |
| 3 | 15,10 | 204,67 | 0,99 | 17,68 | 49,83 | 273,17 |
| 4 | 17,00 | 255,67 | 1,23 | 144,12 | 63,16 | 464,18 |
| 5 | 17,30 | 264,21 | 1,27 | 110,47 | 65,41 | 441,36 |
| 6 | 17,30 | 264,21 | 1,27 | 110,47 | 65,41 | 441,36 |
| 7 | 17,30 | 264,21 | 1,27 | 110,47 | 65,41 | 441,36 |
| 8 | 17,10 | 258,50 | 1,25 | 132,78 | 63,90 | 456,43 |
| 9 | 17,30 | 264,21 | 1,27 | 110,47 | 65,41 | 441,36 |
| 10 | 17,50 | 269,97 | 1,30 | 91,83 | 66,93 | 430,03 |
| 11 | 17,80 | 278,73 | 1,34 | 73,44 | 69,24 | 422,75 |
| 12 | 17,90 | 281,68 | 1,36 | 69,79 | 70,02 | 422,85 |
| 13 | 18,00 | 284,64 | 1,37 | 67,28 | 70,81 | 424,10 |
| 14 | 18,20 | 290,61 | 1,40 | 65,47 | 72,39 | 429,87 |
| 15 | 18,00 | 284,64 | 1,37 | 67,28 | 70,81 | 424,10 |
| 16 | 18,00 | 284,64 | 1,37 | 67,28 | 70,81 | 424,10 |
| 17 | 18,00 | 284,64 | 1,37 | 67,28 | 70,81 | 424,10 |
| 18 | 18,00 | 284,64 | 1,37 | 67,28 | 70,81 | 424,10 |
| 19 | 18,20 | 290,61 | 1,40 | 65,47 | 72,39 | 429,87 |
| 20 | 18,50 | 290,61 | 1,44 | 70,57 | 74,80 | 437,42 |
| 21 | 18,30 | 299,67 | 1,41 | 66,12 | 73,19 | 440,39 |
| 22 | 18,40 | 293,62 | 1,43 | 67,80 | 73,99 | 436,84 |
| 23 | 18,60 | 302,72 | 1,46 | 74,48 | 75,61 | 454,27 |
| 24 | 17,30 | 264,21 | 1,27 | 110,48 | 65,41 | 441,37 |
| 25 | 0,00 | 0,00 | 0,00 | 0,00 | 0,00 | 0,00 |

4.3.10 Hasil Perhitungan Tahanan Total Rute Jakarta-Surabaya

Berdasarkan Gambar 4. 12 dapat dilihat bahwa tahanan total KM. Doro Londa yang beroperasi dengan rute pelayaran Jakarta-Surabaya berbeda antara satu titik lokasi dengan titik lokasi lainnya meskipun terdapat kecepatan yang sama seperti pada kecepatan 17,2 knots; 17,3 knots; 17,4 knots; 17,5 knots dan 17,6 knots. Hal ini dikarenakan adanya perbedaan kondisi lingkungan yang

menyebabkan tahanan tambahan, tahanan gesek, tahanan gelombang serta tahanan model berbeda-beda



Gambar 4. 12 Grafik tahanan KM. Doro Londa Rute Jakarta-Surabaya berdasarkan Metode Holtrop dengan 25 variasi lokasi dan kondisi lingkungan yang berbeda

Dengan menggunakan rumus perhitungan empiris didapatkan nilai tahanan pada kecepatan yang berbeda dengan 25 variasi kondisi dan lokasi yang berbeda seperti pada Tabel 4. 11 :

Tabel 4. 11. Hasil Perhitungan Empiris Tahanan berdasarkan Metode Holtrop Rute Jakarta-Surabaya

| No. | Vs | R _F | R _{APP} | R _W | R _A | R _{TOTAL} |
|-----|------|----------------|------------------|----------------|----------------|--------------------|
| 1 | 0,0 | 0,00 | 0,00 | 0,00 | 0,00 | 0,00 |
| 2 | 12,7 | 147,92 | 0,71 | 7,63 | 35,25 | 191,51 |
| 3 | 15,9 | 225,49 | 1,09 | 80,70 | 55,25 | 362,53 |
| 4 | 16,3 | 236,26 | 1,14 | 147,74 | 58,06 | 443,21 |
| 5 | 16,8 | 250,05 | 1,20 | 163,07 | 61,68 | 476,01 |
| 6 | 16,9 | 252,85 | 1,22 | 154,56 | 62,42 | 471,05 |
| 7 | 16,7 | 247,26 | 1,19 | 168,61 | 60,95 | 478,02 |

Tabel 4. 11. Hasil Perhitungan Empiris Tahanan berdasarkan Metode Holtrop Rute Jakarta-Surabaya (Lanjutan)

| | | | | | | |
|----|------|--------|------|--------|-------|--------|
| 8 | 17,1 | 258,50 | 1,25 | 132,78 | 63,90 | 456,43 |
| 9 | 17,2 | 261,35 | 1,26 | 121,35 | 64,65 | 448,61 |
| 10 | 17,4 | 267,08 | 1,29 | 100,55 | 66,17 | 435,09 |
| 11 | 17,4 | 267,08 | 1,29 | 100,55 | 66,17 | 435,09 |
| 12 | 17,4 | 267,08 | 1,29 | 100,55 | 66,17 | 435,09 |
| 13 | 17,3 | 264,21 | 1,27 | 110,47 | 65,41 | 441,36 |
| 14 | 17,3 | 264,21 | 1,27 | 110,47 | 65,41 | 441,36 |
| 15 | 17,6 | 272,88 | 1,31 | 84,41 | 67,69 | 426,29 |
| 16 | 17,6 | 272,88 | 1,31 | 84,41 | 67,69 | 426,29 |
| 17 | 17,6 | 272,88 | 1,31 | 84,41 | 67,69 | 426,29 |
| 18 | 17,5 | 269,97 | 1,30 | 91,83 | 66,93 | 430,03 |
| 19 | 17,6 | 272,88 | 1,31 | 84,41 | 67,69 | 426,29 |
| 20 | 17,5 | 272,88 | 1,30 | 91,83 | 66,93 | 432,94 |
| 21 | 17,2 | 269,97 | 1,26 | 121,35 | 64,65 | 457,23 |
| 22 | 17,2 | 261,35 | 1,26 | 121,35 | 64,65 | 448,61 |
| 23 | 15,6 | 217,57 | 1,05 | 41,89 | 53,18 | 313,69 |
| 24 | 15,0 | 202,13 | 0,97 | 16,64 | 49,17 | 268,92 |
| 25 | 0,0 | 0,00 | 0,00 | 0,00 | 0,00 | 0,00 |

4.4 Perhitungan Tahanan Menggunakan Metode STAWAVE

4.4.1 Perhitungan Tahanan Gelombang Tambahan

Besarnya tahanan tambahan tergantung pada sejumlah faktor, diantaranya ukuran kapal, kecepatan, serta parameter gelombang, seperti tinggi gelombang yang signifikan, periode gelombang, dan arah gelombang. Untuk dapat membandingkan kinerja kapal dari waktu ke waktu, resistensi tambahan akibat gelombang tergantung pada kondisi gelombang yang dialami di setiap lokasi dan waktu tertentu. Berikut merupakan rumusan empiris dari tahanan gelombang tambahan:

$$R_{AWL} = 2 \int_0^{\infty} \frac{R_{wave}(\omega; STW)}{\zeta_A^2} S_n(\omega) d\omega$$

Dimana:

R_{AWL} : peningkatan resistensi rata-rata pada gelombang tidak beraturan dalam Newton

R_{wave} : peningkatan resistensi rata-rata pada gelombang reguler dalam Newton

- ζ_A^2 : amplitudo gelombang dalam meter
 ω : frekuensi melingkar dari gelombang reguler dalam rad / s
 STW : kecepatan kapal dalam m / s
 S_n : spektrum frekuensi gelombang dalam m² / s

4.4.2 Perhitungan Tahanan Angin Tambahan

Meskipun hambatan lambung kapal di dalam air adalah bagian dominan dari resistansi total, ada juga resistansi tambahan karena pergerakan udara. Penambahan tahanan karena angin tergantung pada koefisien drag dan area depan, serta parameter lain seperti kecepatan dan arah angin. Dalam situasi dimana angin datang dari belakang kapal, resistansi tambahan dapat menjadi negatif, menurunkan resistansi total kapal. Hambatan angin tambahan juga akan terus berubah dari waktu ke waktu, dan harus dihilangkan dari total hambatan yang dialami di setiap lokasi dan waktu tertentu untuk dapat membandingkan kinerja kapal dari waktu ke waktu. Berikut merupakan rumusan empiris dari tahanan angin tambahan:

$$R_{wind} = \frac{1}{2} \rho_{air} V_{air}^2 C_X A_F$$

Dimana :

- R_{wind} : kekuatan angin di Newton
 ρ_{air} : massa jenis udara pada suhu udara yang berpengalaman dalam kg / m³
 V_{air}^2 : kecepatan angin dalam m / s
 C_X : koefisien angin untuk arah angin relatif
 A_F : area permukaan kapal di atas air dalam m²

4.4.3 Perhitungan Tahanan Tambahan akibat Perubahan Draft

Kapal dengan draft yang lebih besar akan memiliki ketahanan ombak yang lebih besar, karena kapal harus memindahkan lebih banyak air dan menghasilkan gelombang yang berbeda saat operasi. Selain itu menghasilkan resistensi gesek lebih besar dikarena area permukaan lambung yang tercelup air lebih besar. Draft

dapat berubah dalam setiap operasi, karena muatan barang berbeda dari operasi satu dengan operasi lainnya. Berikut merupakan rumusan empiris dari tahanan tambahan akibat perubahan draft:

$$R_{ADIS} = 0.65 R_T \left(\frac{\Delta_0}{\Delta} - 1 \right)$$

Dimana:

R_{ADIS} : resistensi tambahan karena peningkatan draft dalam Newton

R_T : hambatan total dalam kondisi desain di Newton

Δ_0 : perpindahan dalam kondisi desain

Δ : perpindahan dalam kondisi yang dianalisis

4.4.4 Perhitungan Tahanan Tambahan karena Sifat Air

Resistensi kapal tergantung pada sifat-sifat air yang dilalui dalam rute pelayaran. Hambatan lambung sebanding dengan kepadatan dan viskositas air. Air dengan kepadatan lebih tinggi dan viskositas lebih tinggi berpengaruh terhadap nilai tahanan kapal. Kepadatan dan viskositas air laut tergantung pada suhu, salinitas air, karakteristik air juga bervariasi disetiap lokasi dan waktu yang berbeda dalam kurun waktu satu tahun. Berikut merupakan rumusan empiris dari tahanan tambahan karena sifat air:

$$R_{AS} = R_T \left(1 - \frac{P_w}{P_{w0}} \right) - R_F \left(1 - \frac{C_f}{C_{f0}} \right)$$

Dimana:

R_{AS} : koreksi resistansi karena perubahan sifat air di Newton

R_T : hambatan total pada sifat air standar dari uji model

R_F : hambatan gesekan dalam kondisi air di Newton

C_{f0} : koefisien tahanan gesek dalam kondisi air standar

C_f : koefisien tahanan gesek dalam kondisi air

P_w : kepadatan air dalam kondisi air dalam kg / m³

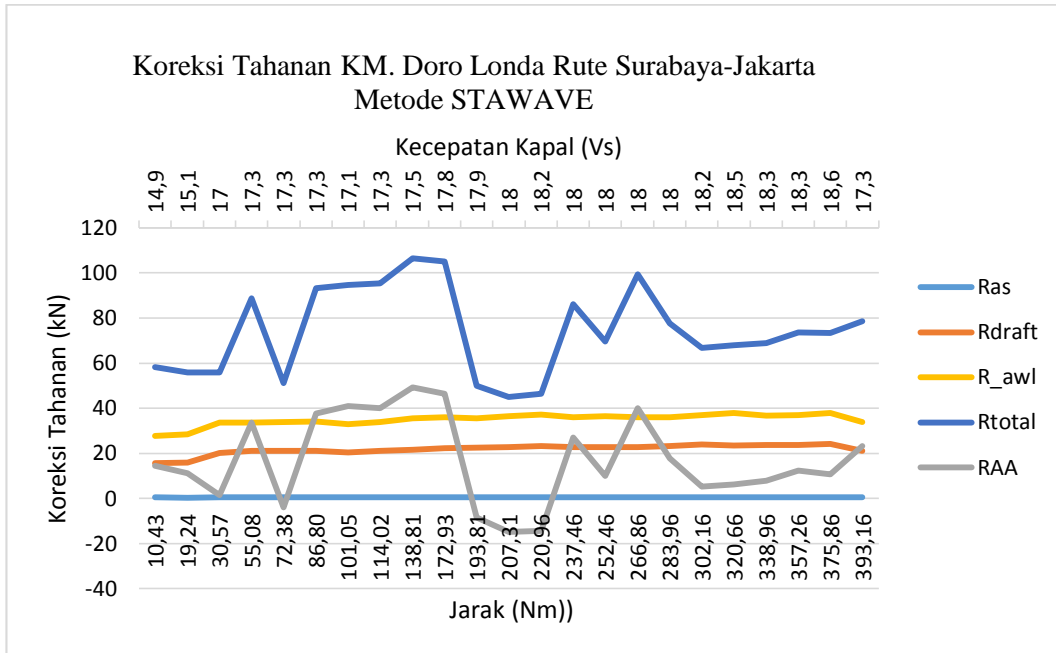
P_{w0} : kepadatan air dalam kondisi air standar dalam kg / m³

4.4.5 Hasil Perhitungan Tahanan Tambahan Rute Surabaya-Jakarta

Hasil perhitungan rumus empiris tahanan gelombang tambahan, tahanan air tambahan, tahanan tambahan akibat perubahan draft serta tahanan tambahan karena sifat air dapat dilihat pada Tabel 4. 12 Hasil Perhitungan Empiris Tahanan Tambahan berdasarkan Metode STWAVE Rute Surabaya-Jakarta Tabel 4. 12. Perhitungan ini menggunakan metode STWAVE dan memiliki 25 variasi kondisi dengan beberapa variasi kecepatan. Terdapat beberapa variasi kondisi dengan kecepatan yang sama, hal ini dikarenakan kapal beroperasi dengan kecepatan yang sama dengan kondisi lingkungan yang berbeda sehingga perlu dianalisa untuk mengetahui adanya perubahan tambahan.

Tabel 4. 12 Hasil Perhitungan Empiris Tahanan Tambahan berdasarkan Metode STWAVE Rute Surabaya-Jakarta

| No. | V _s | R _{AWL} | R _{AA} | R _{DRAFT} | R _{AS} | R _{TOTAL} |
|-----|----------------|------------------|-----------------|--------------------|-----------------|--------------------|
| 1 | 0,0 | 0,00 | 0,00 | 0,00 | 0,00 | 0,00 |
| 2 | 14,9 | 27,73 | 14,45 | 15,56 | 0,40 | 58,15 |
| 3 | 15,1 | 28,35 | 11,05 | 15,98 | 0,38 | 55,76 |
| 4 | 17,0 | 33,61 | 1,57 | 20,26 | 0,48 | 55,92 |
| 5 | 17,3 | 33,58 | 33,60 | 20,98 | 0,49 | 88,65 |
| 6 | 17,3 | 33,76 | -4,08 | 20,98 | 0,49 | 51,16 |
| 7 | 17,3 | 34,02 | 37,66 | 20,98 | 0,53 | 93,19 |
| 8 | 17,1 | 32,84 | 40,95 | 20,50 | 0,48 | 94,77 |
| 9 | 17,3 | 33,97 | 40,02 | 20,98 | 0,49 | 95,46 |
| 10 | 17,5 | 35,41 | 49,13 | 21,47 | 0,51 | 106,51 |
| 11 | 17,8 | 36,00 | 46,39 | 22,21 | 0,52 | 105,12 |
| 12 | 17,9 | 35,42 | -8,47 | 22,46 | 0,57 | 49,98 |
| 13 | 18,0 | 36,47 | -14,83 | 22,71 | 0,53 | 44,89 |
| 14 | 18,2 | 37,06 | -14,44 | 23,22 | 0,55 | 46,39 |
| 15 | 18,0 | 35,90 | 27,11 | 22,71 | 0,53 | 86,26 |
| 16 | 18,0 | 36,43 | 9,91 | 22,71 | 0,53 | 69,58 |
| 17 | 18,0 | 36,01 | 40,03 | 22,71 | 0,57 | 99,32 |
| 18 | 18,0 | 36,03 | 17,77 | 23,22 | 0,53 | 77,55 |
| 19 | 18,2 | 36,98 | 5,13 | 23,99 | 0,55 | 66,65 |
| 20 | 18,5 | 37,83 | 6,12 | 23,48 | 0,56 | 67,98 |
| 21 | 18,3 | 36,66 | 7,91 | 23,73 | 0,55 | 68,86 |
| 22 | 18,3 | 36,97 | 12,23 | 23,73 | 0,60 | 73,53 |
| 23 | 18,6 | 37,99 | 10,63 | 24,25 | 0,57 | 73,44 |
| 24 | 17,3 | 33,94 | 23,11 | 20,98 | 0,49 | 78,53 |
| 25 | 0,0 | 0,36 | 1,57 | 0,00 | 0,00 | 1,94 |



Gambar 4. 13 Grafik koreksi tahanan KM. Doro Londa Rute Surabaya-Jakarta berdasarkan Metode STAWAVE dengan 25 variasi lokasi dan kondisi lingkungan yang berbeda.

Berdasarkan Gambar 4. 13 dapat dilihat bahwa koreksi tahanan tambahan KM. Doro Londa yang beroperasi dengan rute pelayaran Jakarta-Surabaya berbeda antara satu titik lokasi dengan titik lokasi lainnya meskipun terdapat kecepatan yang sama seperti pada kecepatan 17,3 knots; 18 knots; 18,2 knots dan 18,3 knots. Pada dua titik lokasi terdapat nilai tahanan tambahan angin yang negatif yaitu pada kecepatan 17,9 knots; 18 knots; dan 18,2 knots, hal ini dikarenakan arah angin sejajar dengan arah laju kapal sehingga faktor arah dan kecepatan angin mendorong kapal searah dengan gerakan kapal tersebut.

4.4.5 Hasil Perhitungan Tahanan Tambahan Rute Jakarta- Surabaya

Hasil perhitungan rumus empiris tahanan gelombang tambahan, tahanan air tambahan, tahanan tambahan akibat perubahan draft serta tahanan tambahan karena sifat air dapat dilihat pada Tabel 4. 12 Hasil Perhitungan Empiris Tahanan Tambahan berdasarkan Metode STWAVE Rute Surabaya-Jakarta Tabel 4. 13. Perhitungan ini

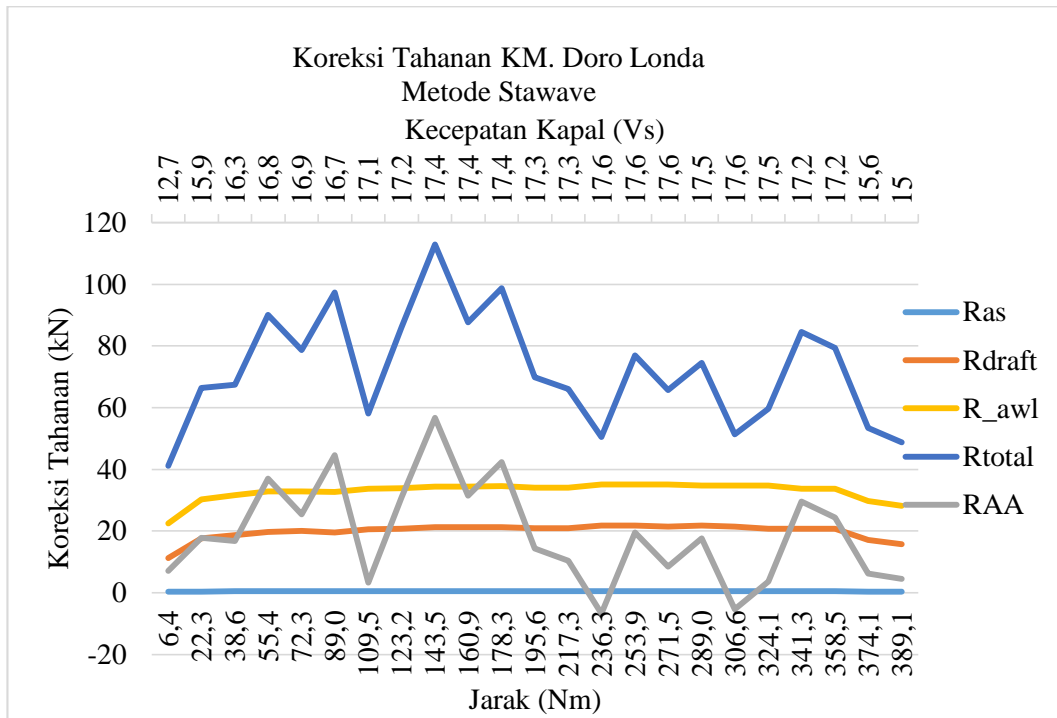
menggunakan metode STWAVE dan memiliki 25 variasi kondisi dengan beberapa variasi kecepatan. Terdapat beberapa variasi kondisi dengan kecepatan yang sama, hal ini dikarenakan kapal beroperasi dengan kecepatan yang sama dengan kondisi lingkungan yang berbeda sehingga perlu dianalisa untuk mengetahui adanya perubahan tambahan.

Tabel 4. 13 Hasil Perhitungan Empiris Tahanan Tambahan berdasarkan Metode STWAVE Rute Jakarta- Surabaya.

| No. | V _s | R _{AWL} | R _{AA} | R _{DRAFT} | R _{AS} | R _{TOTAL} |
|-----|----------------|------------------|-----------------|--------------------|-----------------|--------------------|
| 1 | 0,0 | 0,00 | 1,43 | 0,00 | 0,00 | 1,43 |
| 2 | 14,9 | 22,47 | 7,15 | 11,31 | 0,29 | 41,22 |
| 3 | 15,1 | 30,34 | 17,88 | 17,72 | 0,42 | 66,35 |
| 4 | 17,0 | 31,56 | 16,77 | 18,63 | 0,44 | 67,40 |
| 5 | 17,3 | 32,90 | 36,98 | 19,79 | 0,47 | 90,13 |
| 6 | 17,3 | 32,78 | 25,37 | 20,02 | 0,47 | 78,64 |
| 7 | 17,3 | 32,74 | 44,64 | 19,55 | 0,49 | 97,42 |
| 8 | 17,1 | 33,71 | 3,35 | 20,50 | 0,48 | 58,04 |
| 9 | 17,3 | 33,94 | 30,76 | 20,74 | 0,49 | 85,93 |
| 10 | 17,5 | 34,39 | 56,71 | 21,22 | 0,50 | 112,82 |
| 11 | 17,8 | 34,44 | 31,43 | 21,22 | 0,50 | 87,60 |
| 12 | 17,9 | 34,51 | 42,41 | 21,22 | 0,54 | 98,68 |
| 13 | 18,0 | 34,03 | 14,39 | 20,98 | 0,49 | 69,90 |
| 14 | 18,2 | 34,13 | 10,39 | 20,98 | 0,49 | 65,99 |
| 15 | 18,0 | 35,04 | -6,82 | 21,72 | 0,51 | 50,44 |
| 16 | 18,0 | 35,04 | 19,62 | 21,72 | 0,51 | 76,88 |
| 17 | 18,0 | 35,14 | 8,50 | 21,47 | 0,55 | 65,65 |
| 18 | 18,0 | 34,81 | 17,58 | 21,72 | 0,51 | 74,61 |
| 19 | 18,2 | 34,76 | -5,33 | 21,47 | 0,51 | 51,42 |
| 20 | 18,5 | 34,74 | 3,60 | 20,74 | 0,51 | 59,59 |
| 21 | 18,3 | 33,74 | 29,59 | 20,74 | 0,49 | 84,56 |
| 22 | 18,3 | 33,71 | 24,44 | 20,74 | 0,52 | 79,41 |
| 23 | 18,6 | 29,77 | 6,17 | 17,06 | 0,40 | 53,41 |
| 24 | 17,3 | 28,11 | 4,53 | 15,77 | 0,37 | 48,79 |
| 25 | 0,0 | 0,37 | 0,18 | 0,00 | 0,00 | 0,56 |

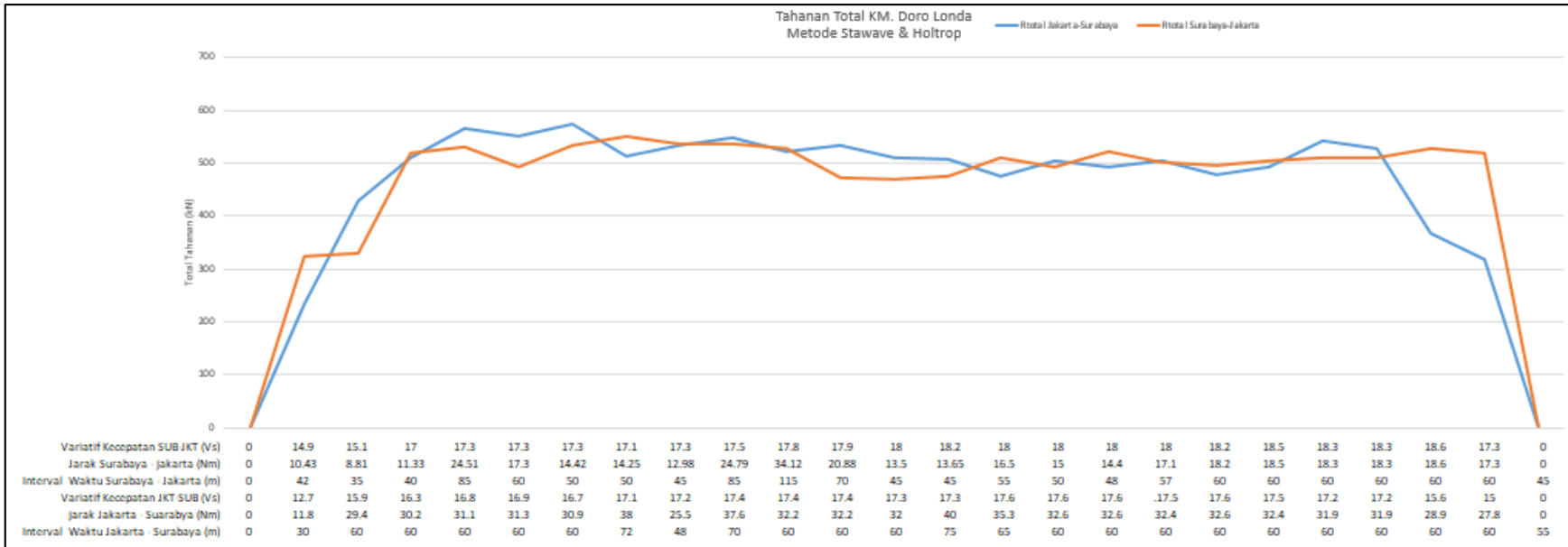
Berdasarkan Gambar 4. 14 dapat dilihat bahwa koreksi tahanan tambahan KM. Doro Londa yang beroperasi dengan rute pelayaran Jakarta-Surabaya berbeda antara satu titik lokasi dengan titik lokasi lainnya meskipun terdapat kecepatan yang

sama seperti pada kecepatan 17,3 knots; 18 knots; 18,2 knots dan 18,3 knots. Pada dua titik lokasi terdapat nilai tahanan tambahan angin yang negatif yaitu pada kecepatan 17,9 knots; 18 knots; dan 18,2 knots, hal ini dikarenakan arah angin sejajar dengan arah laju kapal sehingga faktor arah dan kecepatan angin mendorong kapal searah dengan gerakan kapal tersebut.



Gambar 4. 14 Grafik koreksi tahanan KM. Doro Londa Rute Jakarta- Surabaya berdasarkan Metode STAWAVE dengan 25 variasi lokasi dan kondisi lingkungan yang berbeda.

Hasil perhitungan tahanan total dengan menggunakan metode Holtrop kemudian ditambahkan dengan perhitungan tahanan tambahan dengan metode STAWAVE sehingga tahanan total yang didapatkan adalah tahanan dengan akurasi kondisi lingkungan dengan 25 titik lokasi yang berbeda seperti pada Gambar 4. 15. Perbedaan tahanan total ketika rute Surabaya-Jakarta dan Jakarta-Surabaya terjadi karena adanya kondisi lingkungan yang berbeda sehingga tahanan total yang harus dilawan oleh kapal juga mengalami perbedaan.



Gambar 4. 15 Grafik tahanan total KM. Doro Londa berdasarkan Metode STAWAVE dan Metode Holtrop dengan 25 variasi lokasi serta kondisi lingkungan yang berbeda

4.5. Perhitungan Konsumsi Bahan Bakar

Pada tahap ini merupakan tahap perhitungan konsumsi bahan bakar, dimana data-data yang dibutuhkan adalah data operasional dan data teknik kapal meliputi spesifikasi mesin utama dan mesin bantu, konsumsi bahan bakar, dan data utama kapal. Data yang akan digunakan untuk proses penyelesaian penelitian antara lain data kapal yang beroperasi yakni KM. Doro Londa dengan spesifikasi mesin sebagai berikut:

Spesifikasi teknis *main machinery* :

- 2 KRUPP MAK 8 M 601 C
- Output, 8520 kW, 428 RPM

Spesifikasi teknis *aux. machinery* :

- 4 Daihatsu Engine Type 6 DL – 24
- Output, 882 kW, 750 RPM

Pada proses ini juga diperhitungkan daya (Horse Power) yang diperlukan kapal saat manuver dalam hal mempertahankan kecepatan (V_s) untuk melawan hambatan (resistance) yang dipengaruhi oleh kondisi lingkungan saat kapal berlayar. Perhitungan kebutuhan bakar sesuai dengan variasi kecepatan. Terdapat beberapa variasi kecepatan yang sama namun memerlukan daya yang berbeda hal ini disebabkan oleh tahanan akibat lingkungan yang berbeda.

Tabel 4. 14 Hasil Perhitungan Empiris Daya (BHP) yang dibutuhkan saat beroperasi untuk Rute Surabaya - Jakarta.

| No. | V_s (knot) | V_s (km/h) | Waktu (m) | Waktu (h) | jarak (km) | Jarak (Nm) | BHP |
|-----|--------------|--------------|-----------|-----------|------------|------------|----------|
| 1 | 0,0 | 0 | 0 | 0,00 | 0,00 | 0,00 | 0 |
| 2 | 14,9 | 27,5948 | 42 | 0,70 | 19,32 | 10,43 | 6.896,6 |
| 3 | 15,1 | 27,9652 | 35 | 0,58 | 16,31 | 8,81 | 7.100,7 |
| 4 | 17,0 | 31,484 | 40 | 0,67 | 20,99 | 11,33 | 12.640,6 |
| 5 | 17,3 | 32,0396 | 85 | 1,42 | 45,39 | 24,51 | 13.108,7 |
| 6 | 17,3 | 32,0396 | 60 | 1,00 | 32,04 | 17,30 | 12.181,4 |
| 7 | 17,3 | 32,0396 | 50 | 0,83 | 26,70 | 14,42 | 13.220,9 |
| 8 | 17,1 | 31,6692 | 50 | 0,83 | 26,39 | 14,25 | 13.632,6 |
| 9 | 17,3 | 32,0396 | 45 | 0,75 | 24,03 | 12,98 | 13.277,2 |
| 10 | 17,5 | 32,41 | 85 | 1,42 | 45,91 | 24,79 | 13.423,7 |
| 11 | 17,8 | 32,9656 | 115 | 1,92 | 63,18 | 34,12 | 13.433,2 |
| 12 | 17,9 | 33,1508 | 70 | 1,17 | 38,68 | 20,88 | 12.099,9 |
| 13 | 18,0 | 33,336 | 45 | 0,75 | 25,00 | 13,50 | 12.068,8 |
| 14 | 18,2 | 33,7064 | 45 | 0,75 | 25,28 | 13,65 | 12.391,9 |
| 15 | 18,0 | 33,336 | 55 | 0,92 | 30,56 | 16,50 | 13.133,4 |
| 16 | 18,0 | 33,336 | 50 | 0,83 | 27,78 | 15,00 | 12.704,2 |
| 17 | 18,0 | 33,336 | 48 | 0,80 | 26,67 | 14,40 | 13.469,6 |
| 18 | 18,0 | 33,336 | 57 | 0,95 | 31,67 | 17,10 | 12.909,3 |
| 19 | 18,2 | 33,7064 | 60 | 1,00 | 33,71 | 18,20 | 12.919,3 |
| 20 | 18,5 | 34,262 | 60 | 1,00 | 34,26 | 18,50 | 13.366,9 |
| 21 | 18,3 | 33,8916 | 60 | 1,00 | 33,89 | 18,30 | 13.352,4 |

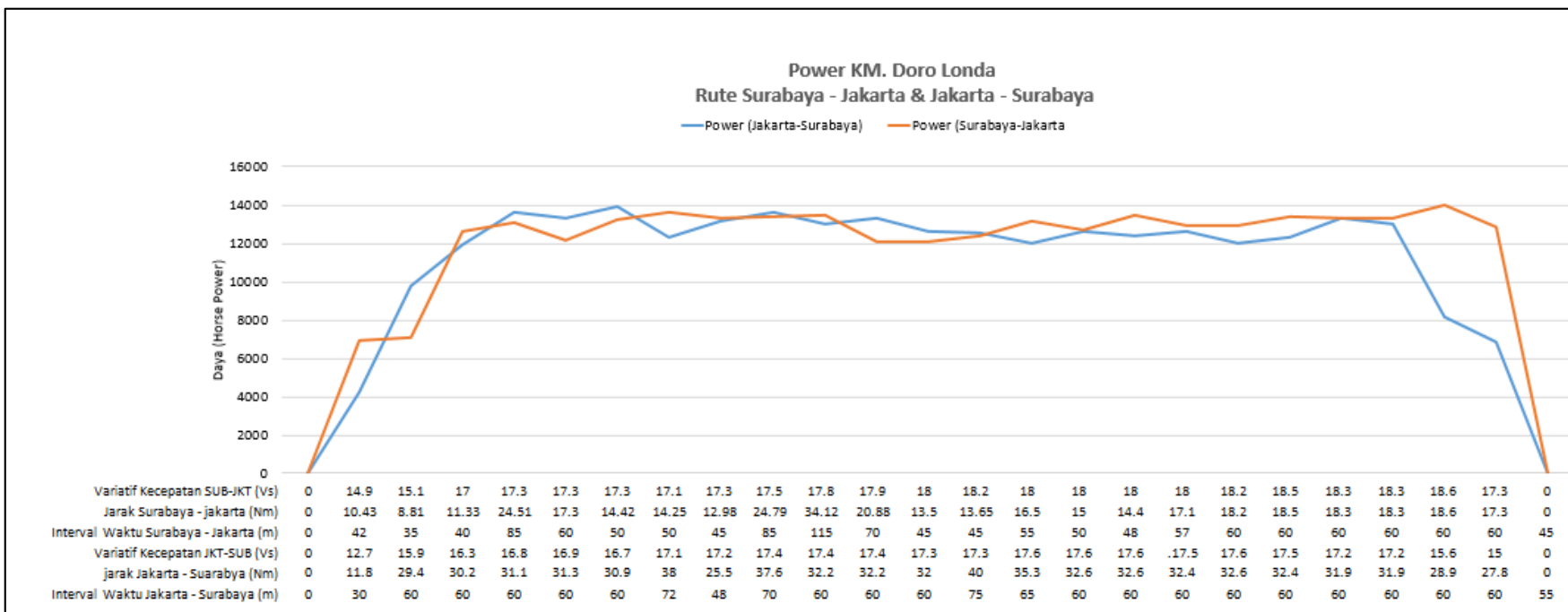
Tabel 4. 14 Hasil Perhitungan Empiris Daya (BHP) yang di butuhkan saat beroperasi untuk Rute Surabaya – Jakarta (Lanjutan).

| No. | Vs (knot) | Vs (km/h) | Waktu (m) | Waktu (h) | jarak (km) | Jarak (Nm) | BHP |
|-----|-----------|-----------|-----------|-----------|------------|------------|----------|
| 22 | 18,3 | 33,8916 | 60 | 1,00 | 33,89 | 18,30 | 13.352,5 |
| 23 | 18,6 | 34,4472 | 60 | 1,00 | 34,45 | 18,60 | 14.032,3 |
| 24 | 17,3 | 32,0396 | 60 | 1,00 | 32,04 | 17,30 | 12.858,6 |
| 25 | 0,0 | 0 | 45 | 0,75 | 0,00 | 0,00 | 0 |

Tabel 4. 15 Hasil Perhitungan Empiris Daya (BHP) yang di butuhkan saat beroperasi untuk Rute Jakarta - Surabaya.

| No. | Vs (knot) | Vs (km/h) | Waktu (m) | Waktu (h) | jarak (km) | Jarak (Nm) | BHP |
|-----|-----------|-----------|-----------|-----------|------------|------------|----------|
| 1 | 0 | 0 | 0 | 0 | 0,0 | 0 | 0 |
| 2 | 12,7 | 23,5204 | 30 | 0,5 | 11,8 | 6,4 | 4.225,5 |
| 3 | 15,9 | 29,4468 | 60 | 1 | 29,4 | 15,9 | 9.749,2 |
| 4 | 16,3 | 30,1876 | 60 | 1 | 30,2 | 16,3 | 11.898,7 |
| 5 | 16,8 | 31,1136 | 60 | 1 | 31,1 | 16,8 | 13.597,5 |
| 6 | 16,9 | 31,2988 | 60 | 1 | 31,3 | 16,9 | 13.281,1 |
| 7 | 16,7 | 30,9284 | 60 | 1 | 30,9 | 16,7 | 13.903,2 |
| 8 | 17,1 | 31,6692 | 72 | 1,2 | 38,0 | 20,5 | 12.282,9 |
| 9 | 17,2 | 31,8544 | 48 | 0,8 | 25,5 | 13,8 | 13.144,2 |
| 10 | 17,4 | 32,2248 | 70 | 1,17 | 37,6 | 20,3 | 13.629,7 |
| 11 | 17,4 | 32,2248 | 60 | 1 | 32,2 | 17,4 | 13.002,3 |
| 12 | 17,4 | 32,2248 | 60 | 1 | 32,2 | 17,4 | 13.277,9 |
| 13 | 17,3 | 32,0396 | 60 | 1 | 32,0 | 17,3 | 12.644,8 |
| 14 | 17,3 | 32,0396 | 75 | 1,25 | 40,0 | 21,6 | 12.548,2 |
| 15 | 17,6 | 32,5952 | 65 | 1,08 | 35,3 | 19,1 | 11.995,5 |
| 16 | 17,6 | 32,5952 | 60 | 1 | 32,6 | 17,6 | 12.660,7 |
| 17 | 17,6 | 32,5952 | 60 | 1 | 32,6 | 17,6 | 12.378,3 |
| 18 | 17,5 | 32,41 | 60 | 1 | 32,4 | 17,5 | 12.625,5 |
| 19 | 17,6 | 32,5952 | 60 | 1 | 32,6 | 17,6 | 12.019,9 |
| 20 | 17,5 | 32,41 | 60 | 1 | 32,4 | 17,5 | 12.322,4 |
| 21 | 17,2 | 31,8544 | 60 | 1 | 31,9 | 17,2 | 13.322,6 |
| 22 | 17,2 | 31,8544 | 60 | 1 | 31,9 | 17,2 | 12.983,9 |
| 23 | 15,6 | 28,8912 | 60 | 1 | 28,9 | 15,6 | 8.187,3 |
| 24 | 15 | 27,78 | 60 | 1 | 27,8 | 15,0 | 6.813,2 |
| 25 | 0 | 0 | 55 | 0,92 | 0,0 | 0 | 0 |

Pola hasil perhitungan daya (BHP) yang berkorelasi dengan variasi 25 kecepatan kapal dan hambatan kapal pada 25 titik lokasi yang berbeda dapat dilihat pada Gambar 4. 15 dan Gambar 4. 16. Perbedaan tahanan total ketika rute Surabaya-Jakarta dan Jakarta-Surabaya terjadi karena adanya kondisi lingkungan yang berbeda sehingga daya (BHP) yang dibutuhkan oleh kapal juga mengalami perbedaan. Pola grafik pada perhitungan daya (BHP) sebanding dengan pola grafik tahanan karena nilai tahanan merupakan faktor pengali dalam menentukan daya yang dibutuhkan kapal untuk beroperasi.



Gambar 4. 16 Grafik Daya (Horse Power) KM. Doro Londa dengan 25 variasi kecepatan & 25 variasi lokasi pada kondisi lingkungan yang berbeda

Proses perhitungan kebutuhan bakar sesuai dengan variasi kecepatan. Hal yang perlu dipertimbangkan dalam melakukan kalkulasi ini antara lain adalah rute pelayaran yang ditempuh, kondisi gelombang saat pelayaran, dan lama waktu sandar pada masing-masing pelabuhan. Berikut merupakan rumusan empiris perhitungan bahan bakar:

$$FC = BHP \times SFOC \times t$$

Dimana :

FC = Fuel Consumption (gr)

BHP = Power Engine (kW)

$SFOC$ = Specific Fuel Oil Consumption (g/kWh)

t = Total time (waktu pelayaran) (hours)

4.5.1 Kebutuhan BB M/E KM. Doro Londa Rute Surabaya-Jakarta

Kebutuhan bahan bakar M/E pada pelayaran ini untuk perjalanan dari Pelabuhan Tanjung Perak, Surabaya menuju Tanjung Priok, Jakarta dengan menggunakan rumus perhitungan empiris didapatkan nilai konsumsi bahan bakar M/E pada kecepatan yang berbeda dengan 25 variasi kondisi dan lokasi yang berbeda seperti pada Tabel 4. 16:

Tabel 4. 16. Hasil Perhitungan Konsumsi Bahan Bakar Rute Surabaya-Jakarta

| No. | Vs | Flow Rate | Konsumsi Bahan Bakar M/E | Komulatif Konsumsi Bahan Bakar M/E |
|-----|------|-----------|--------------------------|------------------------------------|
| 1 | 0,0 | 0,00 | 0,00 | 0,00 |
| 2 | 14,9 | 14,97 | 628,75 | 628,75 |
| 3 | 15,1 | 12,11 | 423,86 | 1.052,61 |
| 4 | 17,0 | 24,64 | 985,54 | 2.038,15 |
| 5 | 17,3 | 54,30 | 4.615,15 | 6.653,30 |
| 6 | 17,3 | 35,62 | 2.136,91 | 8.790,21 |
| 7 | 17,3 | 32,21 | 1.610,60 | 10.400,81 |
| 8 | 17,1 | 33,22 | 1.660,76 | 12.061,57 |
| 9 | 17,3 | 29,11 | 1.310,14 | 13.371,71 |
| 10 | 17,5 | 45,23 | 3.844,55 | 15.501,31 |

Tabel 4. 16. Hasil Perhitungan Konsumsi BB M/E Rute Surabaya-Jakarta (Lanjutan)

| No. | Vs | Flow Rate | Konsumsi Bahan Bakar M/E | Komulatif Konsumsi Bahan Bakar M/E |
|-----|------|-----------|--------------------------|------------------------------------|
| 11 | 17,8 | 43,98 | 5.057,70 | 20.559,01 |
| 12 | 17,9 | 41,27 | 2.889,12 | 23.448,14 |
| 13 | 18,0 | 26,46 | 1.190,90 | 24.639,04 |
| 14 | 18,2 | 27,17 | 1.222,79 | 25.861,83 |
| 15 | 18,0 | 35,20 | 1.935,94 | 27.797,76 |
| 16 | 18,0 | 30,95 | 1.547,66 | 29.345,42 |
| 17 | 18,0 | 31,51 | 1.512,25 | 30.857,68 |
| 18 | 18,0 | 35,86 | 2.043,81 | 32.901,48 |
| 19 | 18,2 | 37,77 | 2.266,35 | 35.167,83 |
| 20 | 18,5 | 39,08 | 2.344,89 | 37.512,73 |
| 21 | 18,3 | 38,95 | 2.337,22 | 39.849,95 |
| 22 | 18,3 | 39,04 | 2.342,34 | 42.192,29 |
| 23 | 18,6 | 41,03 | 2.461,61 | 44.653,90 |
| 24 | 17,3 | 37,60 | 2.255,72 | 46.909,61 |
| 25 | 0,0 | 0,00 | 0,00 | 46.909,61 |

Aliran konsumsi bahan bakar M/E pada setiap menit terlihat fluktuatif itu disebabkan karena adanya perubahan kecepatan dan perubahan kondisi lingkungan sehingga mempengaruhi besarnya nilai tahanan seperti tahanan air, tahanan gelombang, tahanan tambahan dll ketika kapal tersebut berlayar melalui rute operasi yang telah ditentukan, Besarnya nilai *flow rate* penting untuk dilakukan monitoring secara berkala karena dapat dijadikan sebagai acuan bagi user atau operator kapal untuk memantau banyaknya operasional konsumsi bahan bakar M/E total yang diperlukan dalam menempuh suatu rute operasi tertentu.

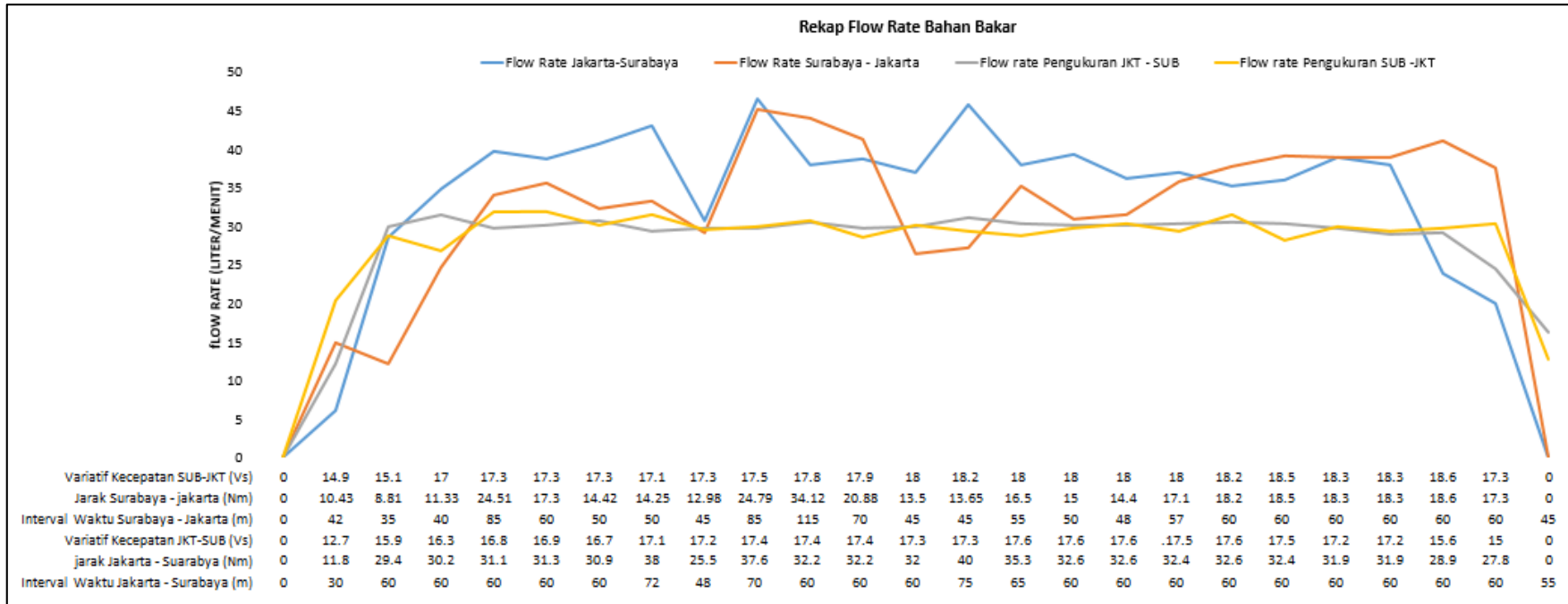
4.5.2 Kebutuhan BB M/E KM. Doro Londa Rute Jakarta-Surabaya

Kebutuhan bahan bakar M/E pada pelayaran ini untuk perjalanan dari Tanjung Priok, Jakarta menuju Pelabuhan Tanjung Perak, Surabaya dengan menggunakan rumus perhitungan empiris didapatkan nilai konsumsi bahan bakar M/E pada kecepatan yang berbeda dengan 25 variasi kondisi dan lokasi yang berbeda seperti pada Tabel 4. 17:

Tabel 4. 17. Hasil Perhitungan Konsumsi Bahan Bakar M/E Rute Jakarta-Surabaya

| No. | Vs | Flow Rate | Konsumsi Bahan Bakar M/E | Komulatif Konsumsi Bahan Bakar M/E |
|-----|------|-----------|--------------------------|------------------------------------|
| 1 | 0,0 | 0 | 0 | 0 |
| 2 | 12,7 | 6,18 | 185,31 | 185,31 |
| 3 | 15,9 | 28,50 | 1.710,24 | 1.895,55 |
| 4 | 16,3 | 34,79 | 2.087,32 | 3.982,87 |
| 5 | 16,8 | 39,76 | 2.385,34 | 6.368,20 |
| 6 | 16,9 | 38,83 | 2.329,81 | 8.698,02 |
| 7 | 16,7 | 40,65 | 2.438,96 | 11.136,97 |
| 8 | 17,1 | 43,09 | 3.102,80 | 14.239,77 |
| 9 | 17,2 | 30,74 | 1.475,72 | 15.715,49 |
| 10 | 17,4 | 46,49 | 3.254,40 | 18.969,89 |
| 11 | 17,4 | 38,02 | 2.280,92 | 21.250,80 |
| 12 | 17,4 | 38,82 | 2.329,26 | 23.580,07 |
| 13 | 17,3 | 36,97 | 2.218,21 | 25.798,28 |
| 14 | 17,3 | 45,86 | 3.439,45 | 29.237,73 |
| 15 | 17,6 | 37,99 | 2.469,63 | 31.707,36 |
| 16 | 17,6 | 39,26 | 2.355,61 | 34.062,97 |
| 17 | 17,6 | 36,19 | 2.171,45 | 36.234,41 |
| 18 | 17,5 | 36,91 | 2.214,81 | 38.449,23 |
| 19 | 17,6 | 35,14 | 2.108,60 | 40.557,82 |
| 20 | 17,5 | 36,03 | 2.161,65 | 42.719,47 |
| 21 | 17,2 | 38,95 | 2.337,10 | 45.056,57 |
| 22 | 17,2 | 37,96 | 2.277,69 | 47.334,26 |
| 23 | 15,6 | 23,94 | 1.436,25 | 48.770,51 |
| 24 | 15,0 | 19,92 | 1.195,20 | 49.965,71 |
| 25 | 0,0 | 1,28 | 83,15 | 50.048,86 |

Aliran konsumsi BB M/E pada setiap menit terlihat fluktuatif itu disebabkan karena adanya perubahan kecepatan dan perubahan kondisi lingkungan serta dipengaruhi oleh waktu sehingga menyebabkan flow rate atau aliran BB M/E menjadi fluktuatif. Tahanan tambahan kondisi sangat dipengaruhi oleh besarnya nilai tahanan seperti aliran dan arah dari angin serta gelombang. Besarnya nilai *flow rate* penting untuk dilakukan monitoring secara berkala karena dapat dijadikan sebagai acuan bagi user atau operator kapal untuk memantau banyaknya operasional konsumsi BB M/E total yang diperlukan dalam menempuh suatu rute operasi tertentu. Data flow rate konsumsi BB M/E KM. Doro Londa dengan rute Jakarta-Surabaya dan Surabaya – Jakarta dapat dilihat pada Gambar 4. 17.



Gambar 4. 17 Grafik *flow rate* bahan bakar M/E KM. Doro Londa Surabaya-Jakarta & Jakarta-Surabaya

4.5.3 Kebutuhan BB A/E KM. Doro Londa Rute Surabaya-Jakarta

Kebutuhan bahan bakar A/E pada pelayaran ini untuk perjalanan dari Pelabuhan Tanjung Perak, Surabaya menuju Tanjung Priok, Jakarta dengan menggunakan rumus perhitungan empiris didapatkan nilai konsumsi bahan bakar A/E pada kecepatan yang berbeda dengan 25 variasi kondisi dan lokasi yang berbeda seperti pada Tabel 4. 16:

Tabel 4. 18. Hasil Perhitungan Konsumsi Bahan Bakar A/E Rute Surabaya-Jakarta

| No. | Vs | Flow Rate A/E (Liter/Menit) | Konsumsi Bahan Bakar A/E (Liter) | Komulatif Konsumsi Bahan Bakar A/E |
|-----|------|--------------------------------|-------------------------------------|---------------------------------------|
| 1 | 0,0 | 0,0 | 0,00 | 0,00 |
| 2 | 14,9 | 1,4 | 173,68 | 173,68 |
| 3 | 15,1 | 1,1 | 120,61 | 294,28 |
| 4 | 17,0 | 1,3 | 157,53 | 451,81 |
| 5 | 17,3 | 2,8 | 711,34 | 1163,16 |
| 6 | 17,3 | 2,0 | 354,44 | 1517,60 |
| 7 | 17,3 | 1,6 | 246,14 | 1763,74 |
| 8 | 17,1 | 1,6 | 246,14 | 2009,88 |
| 9 | 17,3 | 1,5 | 199,37 | 2209,25 |
| 10 | 17,5 | 2,8 | 711,34 | 2920,59 |
| 11 | 17,8 | 3,8 | 1302,08 | 4222,67 |
| 12 | 17,9 | 2,3 | 482,43 | 4705,10 |
| 13 | 18,0 | 1,5 | 199,37 | 4904,48 |
| 14 | 18,2 | 1,5 | 199,37 | 5103,85 |
| 15 | 18,0 | 1,8 | 297,83 | 5401,68 |
| 16 | 18,0 | 1,6 | 246,14 | 5647,82 |
| 17 | 18,0 | 1,6 | 226,84 | 5874,66 |
| 18 | 18,0 | 1,9 | 319,88 | 6194,54 |
| 19 | 18,2 | 2,0 | 354,44 | 6548,99 |
| 20 | 18,5 | 2,0 | 354,44 | 6903,43 |
| 21 | 18,3 | 2,0 | 354,44 | 7257,87 |
| 22 | 18,3 | 2,0 | 354,44 | 7612,31 |
| 23 | 18,6 | 2,0 | 354,44 | 7966,75 |
| 24 | 17,3 | 2,0 | 354,44 | 8321,19 |
| 25 | 0,0 | 1,5 | 199,37 | 8520,56 |

Aliran konsumsi bahan bakar A/E pada setiap menit terlihat fluktuatif itu disebabkan karena adanya perubahan kecepatan dan perubahan kondisi lingkungan sehingga mempengaruhi besarnya nilai tahanan seperti tahanan air, tahanan gelombang, tahanan tambahan dll ketika kapal tersebut berlayar melalui rute operasi yang telah ditentukan, Besarnya nilai *flow rate* penting untuk dilakukan monitoring secara berkala karena dapat dijadikan sebagai acuan bagi user atau operator kapal untuk memantau banyaknya operasional konsumsi bahan bakar A/E total yang diperlukan dalam menempuh suatu rute operasi tertentu.

4.5.4 Kebutuhan BB A/E KM. Doro Londa Rute Jakarta-Surabaya

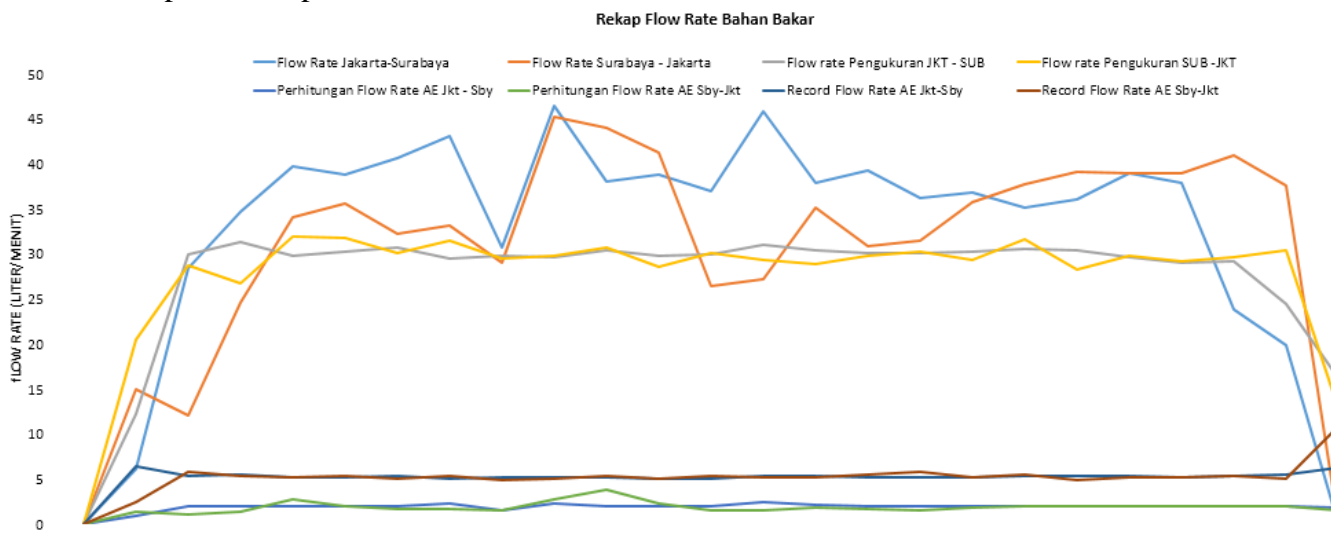
Kebutuhan bahan bakar A/E pada pelayaran ini untuk perjalanan dari Tanjung Priok, Jakarta menuju Pelabuhan Tanjung Perak, Surabaya dengan menggunakan rumus perhitungan empiris didapatkan nilai konsumsi bahan bakar A/E pada kecepatan yang berbeda dengan 25 variasi kondisi dan lokasi yang berbeda seperti pada Tabel 4. 17:

Tabel 4. 19. Hasil Perhitungan Konsumsi Bahan Bakar A/E Rute Jakarta-Surabaya

| No. | Vs | Flow Rate A/E (Liter/Menit) | Konsumsi Bahan Bakar A/E (Liter) | Komulatif Konsumsi Bahan Bakar A/E |
|-----|------|--------------------------------|-------------------------------------|---------------------------------------|
| 1 | 0,0 | 0,0 | 0,00 | 0,00 |
| 2 | 12,7 | 1,0 | 88,61 | 88,61 |
| 3 | 15,9 | 2,0 | 354,44 | 443,05 |
| 4 | 16,3 | 2,0 | 354,44 | 797,49 |
| 5 | 16,8 | 2,0 | 354,44 | 1151,93 |
| 6 | 16,9 | 2,0 | 354,44 | 1506,37 |
| 7 | 16,7 | 2,0 | 354,44 | 1860,81 |
| 8 | 17,1 | 2,4 | 510,39 | 2371,21 |
| 9 | 17,2 | 1,6 | 226,84 | 2598,05 |
| 10 | 17,4 | 2,3 | 482,43 | 3080,49 |
| 11 | 17,4 | 2,0 | 354,44 | 3434,93 |
| 12 | 17,4 | 2,0 | 354,44 | 3789,37 |
| 13 | 17,3 | 2,0 | 354,44 | 4143,81 |
| 14 | 17,3 | 2,5 | 553,81 | 4697,62 |
| 15 | 17,6 | 2,1 | 415,98 | 5113,60 |
| 16 | 17,6 | 2,0 | 354,44 | 5468,04 |
| 17 | 17,6 | 2,0 | 354,44 | 5822,48 |
| 18 | 17,5 | 2,0 | 354,44 | 6176,92 |
| 19 | 17,6 | 2,0 | 354,44 | 6531,36 |
| 20 | 17,5 | 2,0 | 354,44 | 6885,80 |
| 21 | 17,2 | 2,0 | 354,44 | 7240,24 |
| 22 | 17,2 | 2,0 | 354,44 | 7594,68 |
| 23 | 15,6 | 2,0 | 354,44 | 7949,13 |
| 24 | 15,0 | 2,0 | 354,44 | 8303,57 |
| 25 | 0,0 | 1,8 | 297,83 | 8601,40 |

Aliran konsumsi BB A/E pada setiap menit terlihat fluktuatif itu disebabkan karena adanya perubahan kecepatan dan perubahan kondisi lingkungan serta dipengaruhi oleh waktu sehingga menyebabkan flow rate atau aliran BB A/E menjadi fluktuatif. Tahanan tambahan kondisi sangat dipengaruhi oleh besarnya

nilai tahanan seperti aliran dan arah dari angin serta gelombang. Besarnya nilai *flow rate* penting untuk dilakukan monitoring secara berkala karena dapat dijadikan sebagai acuan bagi user atau operator kapal untuk memantau banyaknya operasional konsumsi BB A/E total yang diperlukan dalam menempuh suatu rute operasi tertentu. Data flow rate konsumsi BB A/E KM. Doro Londa dengan rute Jakarta-Surabaya dan Surabaya – Jakarta dapat dilihat pada Gambar 4. 17.



| | | | | | | | | | | | | | | | | | | | | | | | | | |
|---------------------------------------|---|-------|------|-------|-------|------|-------|-------|-------|-------|-------|-------|------|-------|------|------|------|------|------|------|------|------|------|------|---|
| Variatif Kecepatan SUB-JKT (Vs) | 0 | 14,9 | 15,1 | 17 | 17,3 | 17,3 | 17,3 | 17,1 | 17,3 | 17,5 | 17,8 | 17,9 | 18 | 18,2 | 18 | 18 | 18,2 | 18,5 | 18,3 | 18,3 | 18,6 | 17,3 | 0 | | |
| Jarak Surabaya - Jakarta (Nm) | 0 | 10,43 | 8,81 | 11,33 | 24,51 | 17,3 | 14,42 | 14,25 | 12,98 | 24,79 | 34,12 | 20,88 | 13,5 | 13,65 | 16,5 | 15 | 14,4 | 17,1 | 18,2 | 18,5 | 18,3 | 18,3 | 18,6 | 17,3 | 0 |
| Interval Waktu Surabaya - Jakarta (m) | 0 | 42 | 35 | 40 | 85 | 60 | 50 | 50 | 45 | 85 | 115 | 70 | 45 | 45 | 55 | 50 | 48 | 57 | 60 | 60 | 60 | 60 | 60 | 45 | |
| Variatif Kecepatan JKT-SUB (Vs) | 0 | 12,7 | 15,9 | 16,3 | 16,8 | 16,9 | 16,7 | 17,1 | 17,2 | 17,4 | 17,4 | 17,4 | 17,3 | 17,3 | 17,6 | 17,6 | 17,6 | 17,5 | 17,6 | 17,5 | 17,2 | 17,2 | 15,6 | 15 | 0 |
| Jarak Jakarta - Surabaya (Nm) | 0 | 11,8 | 29,4 | 30,2 | 31,1 | 31,3 | 30,9 | 38 | 25,5 | 37,6 | 32,2 | 32,2 | 32 | 40 | 35,3 | 32,6 | 32,6 | 32,4 | 32,4 | 31,9 | 31,9 | 28,9 | 27,8 | 0 | |
| Interval Waktu Jakarta - Surabaya (m) | 0 | 30 | 60 | 60 | 60 | 60 | 60 | 72 | 48 | 70 | 60 | 60 | 60 | 75 | 65 | 60 | 60 | 60 | 60 | 60 | 60 | 60 | 55 | | |

Gambar 4. 18 Grafik *flow rate* bahan bakar A/E KM. Doro Londa Surabaya-Jakarta & Jakarta-Surabaya

4.6. Perhitungan Emisi

Rumusan algoritma perhitungan emisi menggunakan data AIS dengan mempertimbangkan kondisi pelayaran secara aktual berdasarkan pendekatan rumusan empiris, Tahapan untuk melakukan rumusan algoritma diantaranya adalah mentransformasi rumusan ke dalam bahasa MatLab, setelah itu diubah ke dalam bahasa pemrograman PHP script, Hasil transformasi rumusan MatLab secara utuh dapat dilihat dalam lampiran. Dasar rumusan yang digunakan berdasarkan pada pengembangan perhitungan estimasi emisi pada kapal yang dipengaruhi oleh konsumsi bahan bakar, faktor pengali emisi di setiap jenis polutan (Utami & Puriningsih, 2014). Metode yang digunakan diaplikasikan berdasarkan rumusan empiris seperti dibawah ini:

$$E = Vol_i \times FE_i \times 10^{-3}$$

Dimana :

E = Beban pencemar untuk polutan i (ton/menit)

Vol_i = Konsumsi bahan bakar (liter/menit)

Fe_i = Besarnya polutan i yang diemisikan dari setiap (liter) penggunaan bahan bakar (gram/liter bahan bakar)

Berdasarkan rumusan empiris dan faktor-faktor perhitungan terkait maka didapatkan nilai emisi KM. Doro Londa Rute Surabaya-Jakarta seperti pada Tabel 4. 20.

Tabel 4. 20. Hasil Perhitungan Emisi KM. Doro Londa Rute Surabaya-Jakarta

| No, | Vs | CO | NO _x | HC | SO ₂ | CO ₂ |
|-----|------|-------|-----------------|-------|-----------------|-----------------|
| 1 | 0,0 | 0.000 | 0.000 | 0.000 | 0.000 | 0.000 |
| 2 | 14,9 | 0.057 | 0.014 | 0.034 | 0.025 | 4.115 |
| 3 | 15,1 | 0.038 | 0.010 | 0.023 | 0.017 | 2.781 |
| 4 | 17,0 | 0.086 | 0.022 | 0.051 | 0.038 | 6.221 |
| 5 | 17,3 | 0.260 | 0.066 | 0.155 | 0.113 | 18.802 |
| 6 | 17,3 | 0.187 | 0.047 | 0.112 | 0.082 | 13.515 |
| 7 | 17,3 | 0.140 | 0.035 | 0.084 | 0.061 | 10.144 |
| 8 | 17,1 | 0.144 | 0.036 | 0.086 | 0.063 | 10.445 |
| 9 | 17,3 | 0.114 | 0.029 | 0.068 | 0.050 | 8.250 |
| 10 | 17,5 | 0.338 | 0.085 | 0.202 | 0.148 | 24.462 |
| 11 | 17,8 | 0.455 | 0.115 | 0.272 | 0.199 | 32.913 |
| 12 | 17,9 | 0.252 | 0.064 | 0.151 | 0.110 | 18.279 |

Tabel 4.20. Hasil Perhitungan Emisi KM. Doro Londa Rute Surabaya-Jakarta (Lanjutan)

| No, | Vs | CO | NO _x | HC | SO ₂ | CO ₂ |
|-----|--------------|--------------|-----------------|--------------|-----------------|-----------------|
| 13 | 18,0 | 0.104 | 0.026 | 0.062 | 0.045 | 7.536 |
| 14 | 18,2 | 0.107 | 0.027 | 0.064 | 0.047 | 7.727 |
| 15 | 18,0 | 0.168 | 0.043 | 0.101 | 0.074 | 12.197 |
| 16 | 18,0 | 0.135 | 0.034 | 0.081 | 0.059 | 9.767 |
| 17 | 18,0 | 0.131 | 0.033 | 0.079 | 0.057 | 9.516 |
| 18 | 18,0 | 0.178 | 0.045 | 0.106 | 0.078 | 12.888 |
| 19 | 18,2 | 0.197 | 0.050 | 0.118 | 0.086 | 14.291 |
| 20 | 18,5 | 0.204 | 0.052 | 0.122 | 0.089 | 14.761 |
| 21 | 18,3 | 0.203 | 0.051 | 0.121 | 0.089 | 14.715 |
| 22 | 18,3 | 0.204 | 0.051 | 0.122 | 0.089 | 14.746 |
| 23 | 18,6 | 0.214 | 0.054 | 0.128 | 0.093 | 15.461 |
| 24 | 17,3 | 0.196 | 0.050 | 0.117 | 0.086 | 14.227 |
| 25 | 0,0 | 0.006 | 0.001 | 0.003 | 0.002 | 0.398 |
| | Total | 4.117 | 1.041 | 2.461 | 1.798 | 298.158 |

Terdapat dua puluh lima mode operasi yang digunakan terkait dengan waktu pelayaran dalam mode tertentu. Selain itu faktor emisi merupakan pengaruh dari jumlah total konsumsi energi yang dihasilkan oleh mesin berkaitan dengan gas buang (CO, NO_x, HC, SO₂ dan CO₂). Faktor emisi merujuk pada (Starcrest Consulting Group, 2015). Faktor emisi juga didasarkan pada jenis kapal (*ocean going vessel, coastal vessel, river vessel*), jenis mesin (*medium and slow speed diesel engine*), serta tipe bahan bakar yang digunakan (*residual fuel, marine diesel oil, general diesel oil*). Berdasarkan rumusan empiris dan faktor-faktor perhitungan terkait maka didapatkan nilai emisi KM. Doro Londa Rute Jakarta-Surabaya seperti pada Tabel 4. 21.

Tabel 4. 21. Hasil Perhitungan Emisi KM. Doro Londa Rute Jakarta – Surabaya

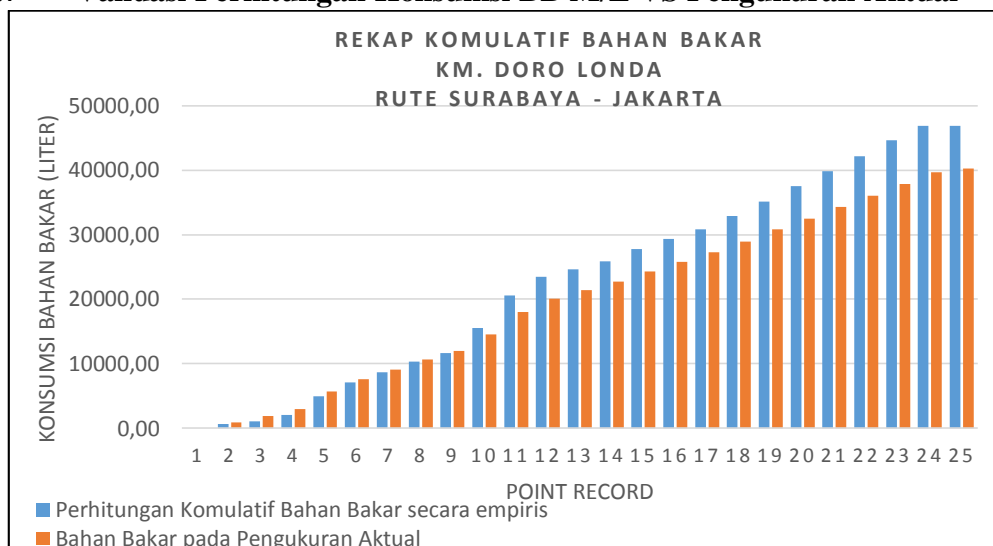
| No, | Vs | CO | NO _x | HC | SO ₂ | CO ₂ |
|-----|------|-------|-----------------|-------|-----------------|-----------------|
| 1 | 0,0 | 0.000 | 0.000 | 0.000 | 0.000 | 0.000 |
| 2 | 12,7 | 0.018 | 0.004 | 0.011 | 0.008 | 1.288 |
| 3 | 15,9 | 0.151 | 0.038 | 0.090 | 0.066 | 10.958 |
| 4 | 16,3 | 0.183 | 0.046 | 0.109 | 0.080 | 13.218 |
| 5 | 16,8 | 0.207 | 0.052 | 0.124 | 0.090 | 15.004 |
| 6 | 16,9 | 0.203 | 0.051 | 0.121 | 0.088 | 14.671 |
| 7 | 16,7 | 0.212 | 0.054 | 0.126 | 0.092 | 15.325 |
| 8 | 17,1 | 0.271 | 0.068 | 0.162 | 0.118 | 19.615 |
| 9 | 17,2 | 0.128 | 0.032 | 0.077 | 0.056 | 9.297 |

Tabel 4.21. Hasil Perhitungan Emisi KM. Doro Londa Rute Jakarta–Surabaya (Lanjutan)

| No. | Vs | CO | NO _x | HC | SO ₂ | CO ₂ |
|-----|--------------|--------------|-----------------|--------------|-----------------|-----------------|
| 10 | 17,4 | 0.283 | 0.071 | 0.169 | 0.123 | 20.468 |
| 11 | 17,4 | 0.199 | 0.050 | 0.119 | 0.087 | 14.378 |
| 12 | 17,4 | 0.203 | 0.051 | 0.121 | 0.088 | 14.668 |
| 13 | 17,3 | 0.193 | 0.049 | 0.116 | 0.084 | 14.002 |
| 14 | 17,3 | 0.300 | 0.076 | 0.179 | 0.131 | 21.720 |
| 15 | 17,6 | 0.216 | 0.055 | 0.129 | 0.094 | 15.632 |
| 16 | 17,6 | 0.205 | 0.052 | 0.122 | 0.089 | 14.826 |
| 17 | 17,6 | 0.189 | 0.048 | 0.113 | 0.083 | 13.722 |
| 18 | 17,5 | 0.193 | 0.049 | 0.115 | 0.084 | 13.982 |
| 19 | 17,6 | 0.184 | 0.047 | 0.110 | 0.080 | 13.345 |
| 20 | 17,5 | 0.189 | 0.048 | 0.113 | 0.082 | 13.663 |
| 21 | 17,2 | 0.203 | 0.051 | 0.121 | 0.089 | 14.715 |
| 22 | 17,2 | 0.198 | 0.050 | 0.119 | 0.087 | 14.359 |
| 23 | 15,6 | 0.129 | 0.033 | 0.077 | 0.056 | 9.316 |
| 24 | 15,0 | 0.109 | 0.027 | 0.065 | 0.047 | 7.871 |
| 25 | 0,0 | 0.008 | 0.002 | 0.005 | 0.004 | 0.595 |
| | Total | 4.373 | 1.106 | 2.613 | 1.910 | 316.635 |

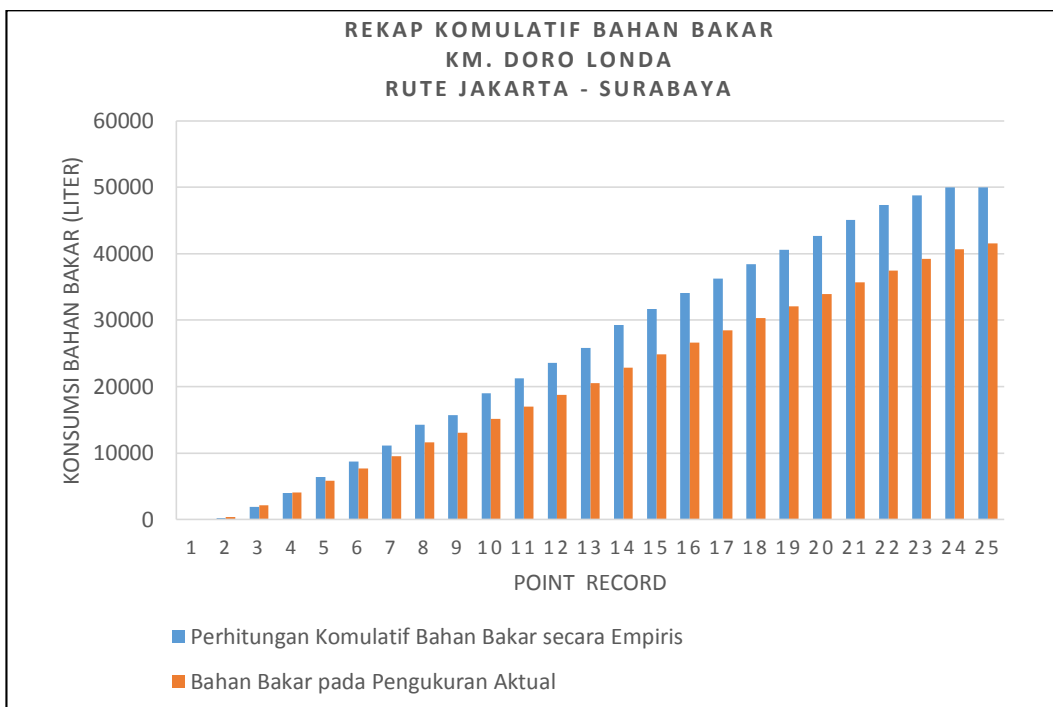
Hasil perhitungan emisi ketika keberangkatan dan perjalanan kembali terdapat perbedaan, hal ini diakibatkan adanya selisih bahan bakar yang dikonsumsi oleh M/E dan A/E, faktor yang mempengaruhi utamanya adalah kondisi lingkungan yang berbeda. Seluruh hasil perhitungan emisi dalam (ton/menit).

4.7 Validasi Perhitungan Konsumsi BB M/E VS Pengukuran Aktual



Gambar 4. 19 Grafik Komulatif Bahan Bakar M/E secara Empiris Vs Pengukuran Aktual KM. Doro Londa Rute Surabaya-Jakarta

Memverifikasi hasil perhitungan rumusan empiris konsumsi bahan bakar M/E yang berdasarkan kondisi pelayaran secara aktual dengan laporan penggunaan bahan bakar M/E (*Engine Log Book*) seperti pada Gambar 4. 19 untuk rute pelayaran Surabaya-Jakarta dan Gambar 4. 20 untuk rute pelayaran Jakarta-Surabaya.



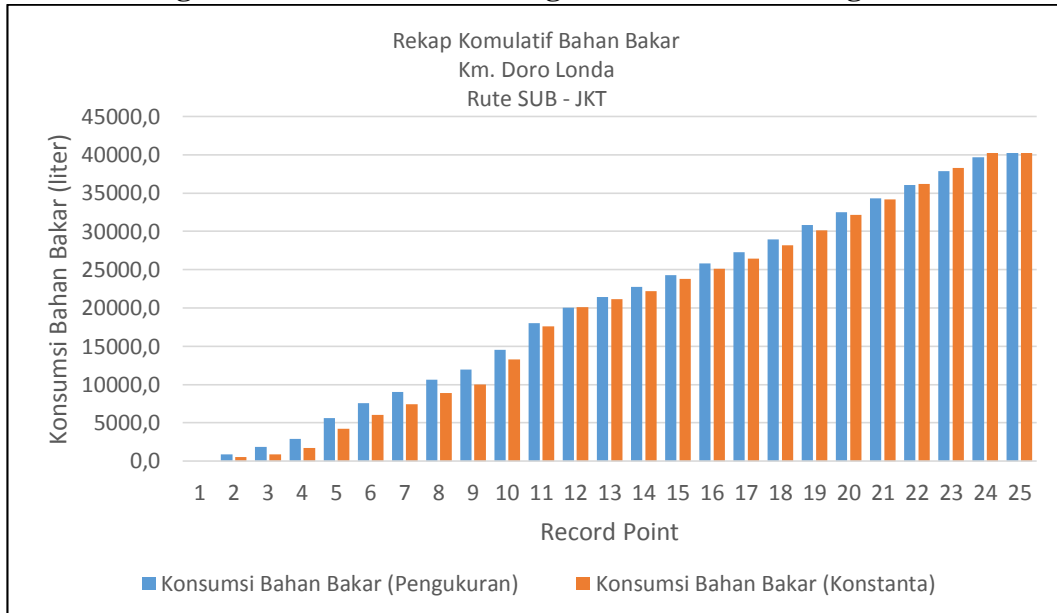
Gambar 4. 20 Grafik Perhitungan Komulatif Bahan Bakar M/E secara Empiris Vs Pengukuran Aktual KM. Doro Londa Rute Jakarta-Surabaya

Terdapat selisih rekapitulasi perhitungan konsumsi bahan bakar M/E dengan pengukuran konsumsi bahan bakar secara aktual seperti Tabel 4. 22, pada rute Surabaya-Jakarta memiliki selisih sejumlah 14,2%, sedangkan pada rute Jakarta-Surabaya memiliki selisih sejumlah 16,9%, hal ini disebabkan karena ada faktor perbedaan kondisi lingkungan. Perbedaan nilai ini diakibatkan oleh adanya faktor kondisi lingkungan, dimana pada rute Surabaya-Jakarta KM. Doro Londa melawan pergerakan arus dan arah angin sehingga prosentase perbedaan konsumsi bahan bakar M/E secara empiris dan aktual lebih besar dibandingkan rute Jakarta-Surabaya.

Tabel 4. 22. Rekapitulasi Perhitungan Konsumsi Bahan Bakar M/E secara Empiris VS Pengukuran Konsumsi Bahan Bakar M/E secara Aktual (Rute Jakarta – Surabaya)

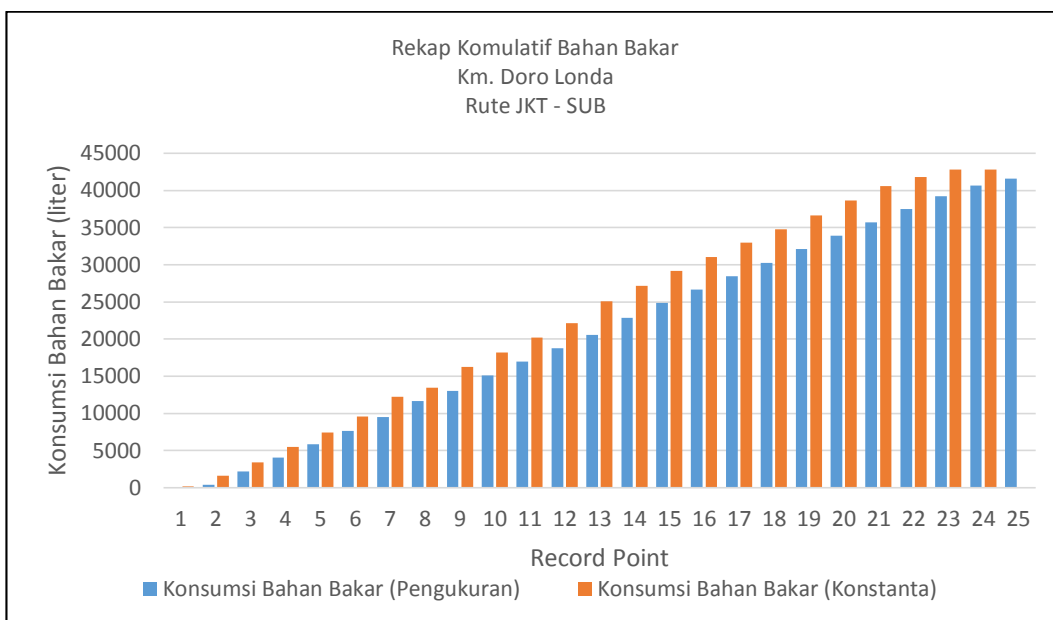
| Rute | Konsumsi BB M/E Perhitungan Empiris (Liter) | Pengukuran Konsumsi BB M/E Aktual (Liter) | Selisih (%) |
|--------------------|---|---|----------------|
| Surabaya - Jakarta | 46.910 | 40.245 | 14,2 |
| Jakarta - Surabaya | 50.049 | 41.578 | 16,9 |

4.8 Perhitungan Konsumsi BB M/E dengan Konstanta Vs Pengukuran Aktual



Gambar 4. 21 Grafik Komulatif Bahan Bakar M/E secara Empiris + Konstanta Vs Pengukuran Aktual KM. Doro Londa Rute Surabaya-Jakarta

Memverifikasi hasil perhitungan rumusan empiris konsumsi bahan bakar M/E dengan menambahkan nilai konstanta untuk mencari pendekatan nilai konsumsi bahan bakar M/E pengukuran aktual. Tujuan diberinya nilai konstanta untuk memberikan nilai pendekatan yang di akibatkan oleh beberapa faktor yang tidak tercover dalam perhitungan. Nilai tidak tercover meliputi seperti kondisi actual mesin, kondisi fluktuatif persentase dari beban kinerja engine serta kondisi penggunaan SFOC yang berbeda beda sesuai dengan beban kinerja engine seperti pada Gambar 4.21 dan Gambar 4.22.



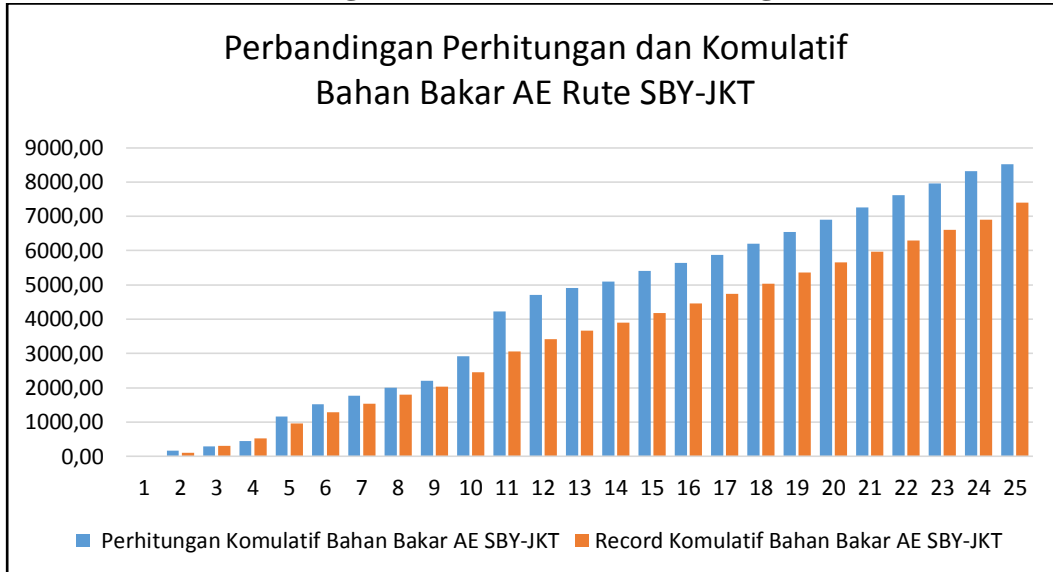
Gambar 4. 22 Grafik Perhitungan Komulatif Bahan Bakar secara Empiris + Konstanta Vs Pengukuran Aktual KM. Doro Londa Rute Jakarta-Surabaya

Penambahan nilai konstanta pada rumusan empiris konsumsi bahan bakar M/E sebesar 0.857 berpengaruh terhadap perhitungan konsumsi bahan bakar M/E dengan penambahan nilai konstanta dengan pengukuran konsumsi bahan bakar M/E secara aktual, penambahan nilai kontanta diperlukan untuk pendekatan nilai konsumsi bahan bakar. Pendekatan hasil rumusan empiris dengan nilai konstanta dapat dilihat pada Tabel 4. 22 pada rute Surabaya-Jakarta memiliki selisih sejumlah 0.11%, sedangkan pada Tabel 4. 22 rute Jakarta-Surabaya memiliki selisih sejumlah 2.9%, penambahan nilai konstanta memeliki margin error sebesar 2.8 % hal ini disebabkan karena adanya perbedaan kondisi lingkungan saat berlayar dari Surabaya – Jakarta dengan Jakarta – Surabaya.

Tabel 4. 23. Rekapitulasi Perhitungan Konsumsi Bahan Bakar secara Empiris + Konstanta VS Pengukuran Konsumsi Bahan Bakar M/E secara Aktual

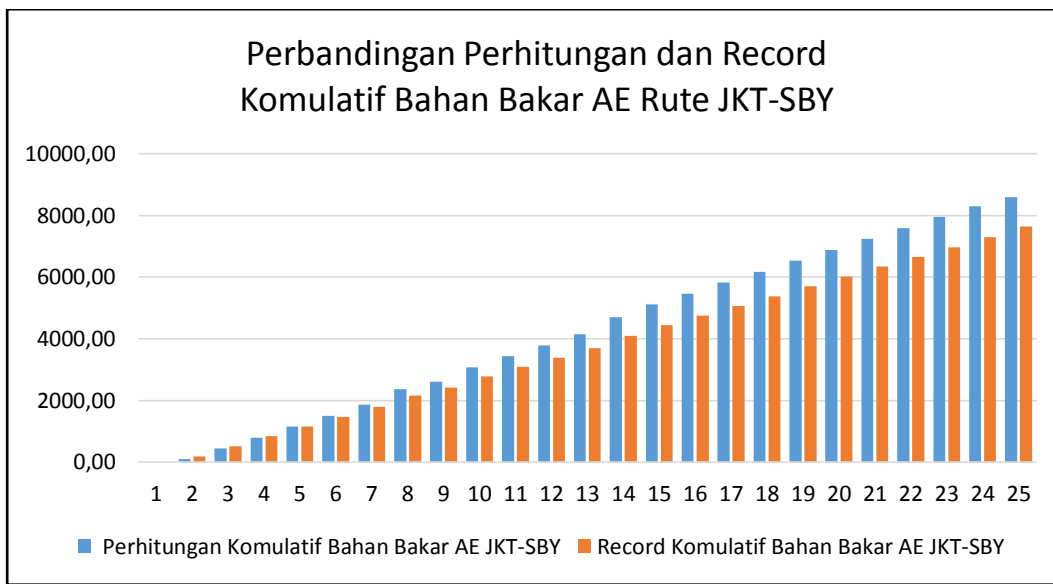
| Rute | Konsumsi BB M/E Perhitungan Empiris dengan Konstanta (Liter) | Pengukuran Konsumsi BB M/E Aktual (Liter) | Selisih (%) |
|--------------------|--|---|-------------|
| Surabaya - Jakarta | 40.201 | 40.245 | 0.11 |
| Jakarta - Surabaya | 42.820 | 41.578 | 2.9 |

4.9 Validasi Perhitungan Konsumsi BB A/E VS Pengukuran Aktual



Gambar 4. 23 Grafik Komulatif Bahan Bakar A/E secara Empiris Vs Pengukuran Aktual KM. Doro Londa Rute Surabaya-Jakarta

Memverifikasi hasil perhitungan rumusan empiris konsumsi bahan bakar A/E yang berdasarkan kondisi pelayaran secara aktual dengan laporan penggunaan bahan bakar A/E (*Engine Log Book*) seperti pada Gambar 4. 19 untuk rute pelayaran Surabaya-Jakarta dan Gambar 4. 20 untuk rute pelayaran Jakarta-Surabaya.



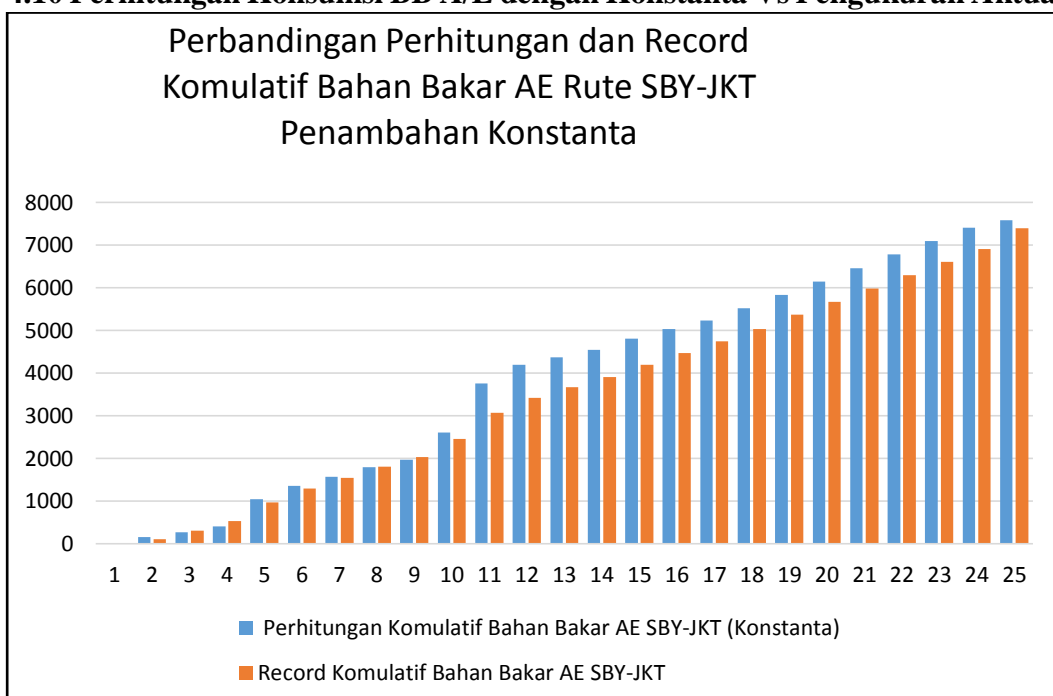
Gambar 4. 24 Grafik Perhitungan Komulatif Bahan Bakar A/E secara Empiris Vs Pengukuran Aktual KM. Doro Londa Rute Jakarta-Surabaya

Terdapat selisih rekapitulasi perhitungan konsumsi bahan bakar A/Edengan pengukuran konsumsi bahan bakar secara aktual seperti Tabel 4. 22, pada rute Surabaya-Jakarta memiliki selisih sejumlah 14,2%, sedangkan pada rute Jakarta-Surabaya memiliki selisih sejumlah 16,9%, hal ini disebabkan karena ada faktor perbedaan kondisi lingkungan. Perbedaan nilai ini diakibatkan oleh adanya faktor kondisi lingkungan, dimana pada rute Surabaya-Jakarta KM. Doro Londa melawan pergerakan arus dan arah angin sehingga prosentase perbedaan konsumsi bahan bakar A/E secara empiris dan aktual lebih besar dibandingkan rute Jakarta-Surabaya.

Tabel 4. 24. Rekapitulasi Perhitungan Konsumsi Bahan Bakar A/E secara Empiris VS Pengukuran Konsumsi Bahan Bakar A/E secara Aktual (Rute Jakarta – Surabaya)

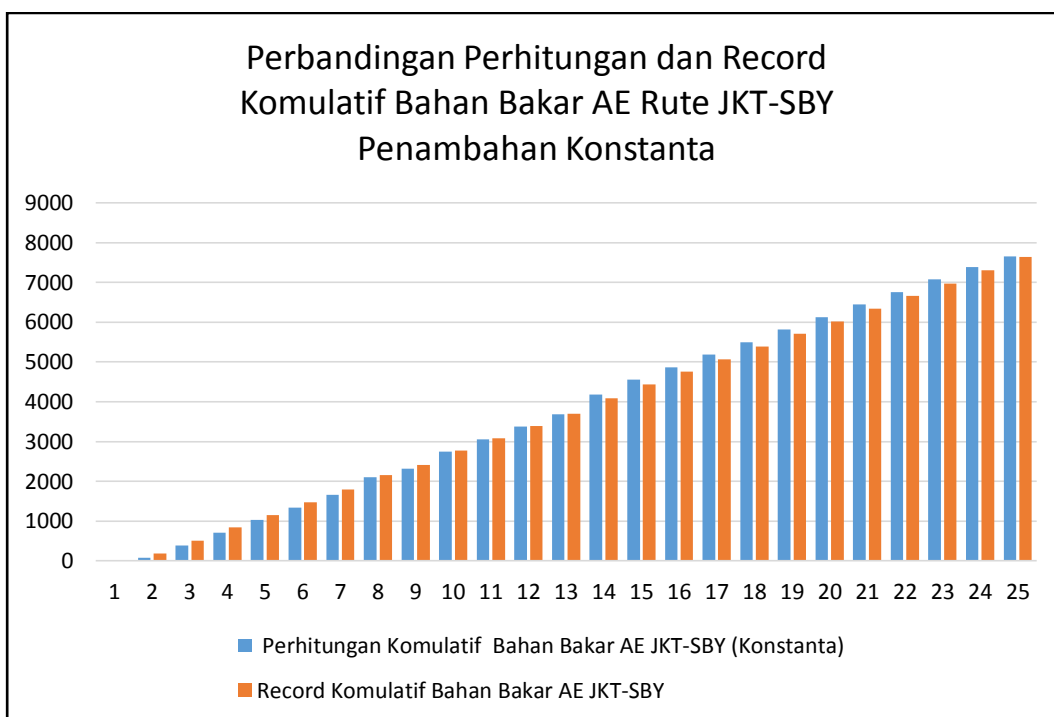
| Rute | Konsumsi BB A/E Perhitungan Empiris (Liter) | Pengukuran Konsumsi BB A/E Aktual (Liter) | Selisih (%) |
|--------------------|---|---|----------------|
| Surabaya - Jakarta | 8.521 | 7.398 | 15,2 |
| Jakarta - Surabaya | 8.601 | 7.645 | 12,5 |

4.10 Perhitungan Konsumsi BB A/E dengan Konstanta Vs Pengukuran Aktual



Gambar 4. 25 Grafik Komulatif Bahan Bakar A/E secara Empiris + Konstanta Vs Pengukuran Aktual KM. Doro Londa Rute Surabaya-Jakarta

Memverifikasi hasil perhitungan rumusan empiris konsumsi bahan bakar A/E dengan menambahkan nilai konstanta untuk mencari pendekatan nilai konsumsi bahan bakar A/E pengukuran aktual. Tujuan diberinya nilai konstanta untuk memberikan nilai pendekatan yang di akibatkan oleh beberapa faktor yang tidak tercover dalam perhitungan. Nilai tidak tercover meliputi seperti kondisi actual mesin, kondisi fluktuatif persentase dari beban kinerja engine serta kondisi penggunaan SFOC yang berbeda beda sesuai dengan beban kinerja engine seperti pada Gambar 4.25 dan Gambar 4.26.



Gambar 4. 26 Grafik Perhitungan Komulatif Bahan Bakar A/E secara Empiris + Konstanta Vs Pengukuran Aktual KM. Doro Londa Rute Jakarta-Surabaya

Penambahan nilai konstanta pada rumusan empiris konsumsi bahan bakar A/E sebesar 0.89 berpengaruh terhadap perhitungan konsumsi bahan bakar A/E dengan penambahan nilai konstanta dengan pengukuran konsumsi bahan bakar M/E secara aktual, penambahan nilai kontanta diperlukan untuk pendekatan nilai konsumsi bahan bakar. Pendekatan hasil rumusan empiris dengan nilai konstanta dapat dilihat pada Tabel 4. 22 pada rute Surabaya-Jakarta memiliki selisih sejumlah 1%, sedangkan pada Tabel 4. 22 rute Jakarta-Surabaya memiliki selisih sejumlah 0.99%.

Tabel 4. 25. Rekapitulasi Perhitungan Konsumsi Bahan Bakar secara Empiris + Konstanta VS Pengukuran Konsumsi Bahan Bakar A/E secara Aktual

| Rute | Konsumsi BB A/E Perhitungan Empiris dengan Konstanta (Liter) | Pengukuran Konsumsi BB A/E Aktual (Liter) | Selisih (%) |
|--------------------|--|---|----------------|
| Surabaya - Jakarta | 7655 | 7.398 | 0,99 |
| Jakarta - Surabaya | 7583 | 7645 | 1,00 |

4.11 Index Effisiensi (EEOI)

Analisis EEOI akan mempresentasikan efisiensi energi dari operasional kapal selama periode pelayaran. Menurut Marpol Lampiran VI Peraturan 22 tujuan EEOI adalah persyaratan untuk kapal dengan ukuran lebih dari 400 GT yang beroperasi secara Internasional untuk memiliki SEEMP (*Ship Energy Efficiency Management Plan*) dikapal sejak 1 Januari 2013 (Perdana, et al., 2017). Untuk menentukan nilai EEOI ada beberapa langkah yang perlu dilakukan yakni sebagai berikut ini :

1. Mendefinisikan Periode yang akan dilakukan kalkulasi

Yang dimaksud dengan periode ini adalah hari atau periode pelayaran selama kapal beroperasional pada jangkauan waktu tertentu dan dengan rute tertentu.

2. Menetapkan sumber data

Data yang digunakan untuk proses kalkulasi EEOI berupa informasi yang dikumpulkan langsung selama proses operasional kapal seperti jenis bahan bakar, jarak pelayaran, jam pelayaran dan jenis muatan.

3. Mengumpulkan data

Langkah berikutnya adalah menetapkan data-data yang dapat digunakan selama proses kalkulasi, Yakni data yang berasal dari hasil laporan operasional, bisa juga dilakukan estimasi terhadap jumlah muatan yang dibawa sesuai dengan kapasitas kapal, Pada kapal ini kapal yang diteliti adalah kapal penumpang sehingga muatan terdiri dari logistik dan penumpang (orang).

Menghitung Index Effisiensi (EEOI) berdasarkan data AISITS secara rumusan empiris untuk diterapkan pada aplikasi AISITS sehingga hasil penelitian ini dapat ditampilkan dan memudahkan pengguna dalam pengambilan keputusan.

$$EEOI = \frac{(Faktor konversi massa bahan bakar menjadi CO_2)x(Konsumsi bahan bakar)}{(Massa muatan aktual yang diangkut)x(Jarak berlayar aktual)}$$

$$EEOI = \frac{\sum j x FC_j x C_{Fj}}{m_{cargo} x D}$$

Dimana :

j = jenis bahan bakar

i = jumlah pelayaran

FC_j = massa bahan bakar yang dikonsumsi j pada suatu pelayaran

CF_j = massa bahan bakar untuk faktor konversi massa CO₂ (lihat Tabel 4. 26)
untuk bahan bakar j

M_{cargo} = muatan yang diangkut (ton) atau kerja yang dilakukan (jumlah TEU atau penumpang) atau gross tonnes untuk kapal penumpang (lihat Tabel 4. 27)

D = jarak dalam mil laut sesuai dengan muatan yang diangkut atau kerja yang Dilakukan

Tabel 4. 26. Faktor konversi massa bahan bakar menjadi CO₂

| Jenis Bahan Bakar | Referensi | C _F (t-CO ₂ /t-Fuel) |
|-------------------------------|-----------------|--|
| Diesel/Gas Oi | ISO8217 DMX-DMC | 3,206000 |
| Light Fuel Oil (LFO) | ISO8217 RMA-RMD | 3,151040 |
| Heavy Fuel Oil (HFO) | ISO8217 RME-RMK | 3,114400 |
| Liquefied Petroleum Gas (LPG) | Propane | 3,000000 |
| | Butane | 3,030000 |
| Liquefied Natural Gas (LNG) | - | 2,750000 |

Tabel 4. 27. Massa muatan yang diangkut

| Jenis Kapal | Massa muatan yang diangkut | Satuan |
|--------------------|----------------------------|--------|
| Dry cargo carriers | Massa muatan | Tons |
| Liquid Tankers | Massa muatan | Tons |
| Ro-Ro cargo ships | Massa muatan | Tons |

| | | |
|---|---|-----------------|
| Kapal barang umum | Massa muatan | Tons |
| Kapal kontainer (hanya mengangkut kontainer) | Massa muatan | Tons |
| | Jumlah kontainer | TEU |
| Kapal kontainer (mengangkut kontainer dan muatan yang lain) | Masssa muatan yang dihitung dari TEUSs (Loaded container: 10t / kontainer kosong: 2t) | Tons |
| Kapal penumpang, Kapal penumpang ro-ro | Jumlah penumpang | Orang |
| | Gross tonnes | Tonnes |
| Car ferries, Car carriers | Jumlah mobil | Mobil |
| | Lane meters | Meters |
| Railway and Ro-Ro vessels | Number of railway cars and freight vehicles | Mobil/kendaraan |
| | Lane meters | Meters |

Berdasarkan rumusan empiris dan faktor-faktor perhitungan terkait maka didapatkan nilai EEOI KM, Doro Londa rute Surabaya-Jakarta senilai 0,001210827 (t-(CO₂/t)-NM) sedangkan rute Jakarta-Surabaya memiliki nilai indeks EEOI senilai 0,000609429 (t-(CO₂/t)-NM), Perbedaan nilai EEOI dikarenakan muatan ketika berangkat berbeda dengan muatan kapal ketika kembali ke pelabuhan Tanjung Perak, Berikut rincian muatan yang dibawa oleh KM, Doro Londa pada tanggal 9-10 Oktober 2019 dan 11-12 Oktober 2019:

Muatan kapal rute Surabaya-Jakarta:

- 5 kontainer bermuatan penuh
- 18 kontainer tanpa muatan
- 1031 penumpang
- Total muatan 268,94 ton
- Konsumsi bahan bakar 55.431 liter = 47,67 Ton
- Jarak Surabaya – Jakarta 469.328 Nm

Muatan kapal rute Jakarta-Surabaya:

- 17 kontainer bermuatan penuh
- 4 kontainer tanpa muatan
- 1316 penumpang
- Total muatan 565,04 ton
- Konsumsi Bahan Bakar 58.650 liter = 50.43 Ton.
- Jarak Jakarta – Surabaya 469.599 Nm

BAB V

KESIMPULAN DAN SARAN

5.1 Kesimpulan

- a. Dalam kajian ini digunakan dua metode, yaitu Metode Holtrop untuk menghitung dasar perhitungan tahanan dan Metode Stawave untuk melakukan perhitungan tahanan tambahan (tahanan angin, gelombang, perubahan draft serta sifat air). *Sea Margin* merupakan besarnya daya tambahan yang dibutuhkan dalam kondisi operasional dibandingkan dengan kondisi air yang tenang untuk mempertahankan kecepatan karena efek lingkungan, sehingga *sea margin* yang diperoleh dalam rumusan ini adalah kondisi aktual sesuai dengan perubahan kondisi lingkungan yang dinamis.
- b. Hasil perhitungan empiris dibandingkan dengan pengukuran konsumsi bahan bakar ME secara aktual memiliki perbedaan senilai 14,2% untuk rute Surabaya-Jakarta dan 16,9% untuk rute Jakarta-Surabaya. Dengan nilai konstanta 0,857 hasil perhitungan bahan bakar secara empiris memiliki pendekatan sebesar 0.11% untuk rute Surabaya – Jakarta, sedangkan 2,9% untuk rute Jakarta – Surabaya. Sedangkan perbandingan untuk perhitungan empiris dan pengukuran aktual konsumsi bahan bakar AE untuk rute Surabaya – Jakarta memiliki perbedaan senilai 15,2% dan untuk rute Jakarta – Surabaya memiliki perbedaan senilai 12,5%. Dengan penambahan nilai konstanta 0.89 hasil perhitungan bahan bakar AE secara empiris memiliki nilai pendekatan sebesar 0.99% untuk rute Surabaya – Jakarta sedangkan untuk rute Jakarta – Surabaya nilai pendekatan 1,00%. Perbedaan nilai ini diakibatkan oleh adanya faktor kondisi lifetime engine, kondisi fluktuatif load (beban) serta kondisi penggunaan SFOC yang menyesuaikan dengan kinerja engine.
- c. Berdasarkan hasil perhitungan empiris didapatkan nilai EEOI KM. Doro Londa rute Surabaya-Jakarta senilai 0,001210827 ($t-(CO_2/t)$ -NM) sedangkan rute Jakarta-Surabaya memiliki nilai indeks EEOI senilai 0,000609429 ($t-(CO_2/t)$ -NM). Nilai emisi pada rute Surabaya- Jakarta

memiliki nilai (CO 4.117; NOx 1.041; HC 2.461; SO₂ 1.798; CO₂ 298.158) sedangkan nilai emisi (kg/trip) rute Jakarta-Surabaya (CO 4.373; NOx 1.106; HC 2.613; SO₂ 1.910; CO₂ 316.635).

5.2. Saran

- a. Mengaplikasikan kinerja propeller terhadap pengaruh konsumsi bahan bakar yang dipengaruhi oleh kondisi lingkungan secara aktual.
- b. Mempertimbangkan kondisi lambung kapal (seperti *fouling*) terhadap besarnya nilai tahanan tambahan yang berpengaruh terhadap kinerja kapal.

DAFTAR PUSTAKA

- A.J,Hedley, C, T, S, T, L, H, A,, 2002, Cardiorespiratory & all-cause mortality after restrictions on sulphur content of fuel in Hongkong an interv, stdy, *Lancet*, Volume 360, pp, 1646 - 1652,
- Amanisa, Y, K, &, R, D,, 2010, Pemrograman Basis Data Berbasis Web Menggunakan PHP & MySQL,,
- Badan Meteorologi, Klimatologi, dan Geofisika, 2019, *Pusat Meteorologi Maritim*, [Online] Available at: <http://maritim.bmkg.go.id/>[Accessed 5 September 2019],
- Budi Sitorus, Tulus Irpan H Sitorus, Prasadja Ricardianto, 2016, EVALUASI MANAJEMEN SISTEM INFORMASI DAN TEKNOLOGI INFORMASI PELABUHAN, *Jurnal Manajemen Transportasi & Logistik (JMTransLog)*,
- Chen, Y,, 2014, Satellite-based AIS and its Comparison with LRIT, *the International Journal*, Volume 8, p, 183,
- Coen van Dijk, 2015, *Indonesia Maritime*, s,l,: s,n,
- Hadi, L,, 2018, *Peraturan Terbaru IMO 2020 Tentang Bahan Bakar Kapal*, [Online] Available at: <https://maritimindonesia.com/2018/09/28/peraturan-imo-sulphur-cap-2020/>[Accessed 02 05 2019],
- Handani, D, W,, Ariana, I, M,, Nugroho, T, F, & Indrayuni, F,, 2018, AIS Based Spatial Distribution of Ship Emission in Madura Strait Indonesia, *Journal of JIME*, Volume 53, pp, 113-118,
- Handani, D, W,, Nugroho, T, F,, Ariana, I, M, & Indrayuni, F,, 2018, AIS Based Spatial Distribution of Ship Emission in Madura Strait Indonesia, *Journal of the JIME*, 53(Ship Emmision), pp, 113-118,
- Henk van den Boom, H, H, a, F, M,, 2013, *New Guidelines for Speed/Power Trials*, s,l,:SWZ Maritime 134,
- IMO International Maritime Organization, 2015, *Third IMO Green House Gas Study 2014*, London: International Maritime Organization,
- K,W, Ng, Simon, C, L, C, L, V, B, J, C, A, Y, Y, L, a, A, L,, 2013, Policy change driven by an AIS-assisted marine emission inventory in Hong Kong and the Pearl River Delta, *Atmospheric Environment*, Volume 76, pp, 102-112,
- Kementerian Perhubungan, 2018, *Statistik Perhubungan Buku I*, Jakarta: Sekertaris Jendral PUSTIKOMHUB ,

- Larsson, L., Raven, H, C, & Paulling, J, R,, 2010, *Ship Resistance and Flow*, 1st ed, Jersey City, N.J: Society of Naval Architects and Marine Engineers,
- LAUT, D, J, P,, 2012, *PORT OPERATIONAL SERVICE PERFORMANCE, THE BENCHMARK OF SEA TRANSPORTATION IMPLEMENTATION*, [Online] Available at: <http://dephub.go.id/post/read/kinerja-pelayanan-operasional-pelabuhan-tolak-ukur-keberhasilan-penyelenggaraan-transportasi-laut-11100/> [Accessed 2019],
- Oceanweather, Inc, 2001-2019, *Oceanweather Forecasting*, [Online] Available at: <https://www.oceanweather.com/forecast/About/index.html> [Accessed 22 05 2019],
- Olmer, N, et al,, 2017, *Greenhouse Gas Emissions From Global Shipping, 2013 - 2015*, Beijing: ICCT,
- Pantria, N,, 2012, Studi Karakteristik Fungsi AIS (Automatic Identification System) pada Transportasi Laut,
- Rizkie Garnawan, T, P, A, D, D,, 2012, STUDI INTEGRASI AUTOMATIC IDENTIFICATION SYSTEM (AIS) DATA DAN GEOGRAPHIC INFORMATION SYSTEM (GIS) UNTUK PENGEMBANGAN STRATEGI INSPEKSI KAPAL,
- S&P Global Platts, 2016, *THE IMO'S 2020 GLOBAL SULFUR CAP*, s,l,: s,n,
- Saputra, A,, 2011, Trik dan Solusi Jitu Pemrograman PHP,
- Smith, T, W, P, J, J, P, A, B, A, C, J, J, F, J, H,, 2015, *Third IMO Greenhouse Gas Study 2014*, s,l,:s,n,
- Starcrest Consulting Group, 2015, *Port of Los Angeles, Inventory of Air Emissions for Calendar Year 2015*, [Online] Available at: https://www.portoflosangeles.org/environment/studies_reports.asp [Accessed Januari 2020],
- UNCTADSTAT, 2015, *Mechant Fleet by Flag of Registration and by Type of Ship, annual, 2007 - 2015*, Switzerland: United Nations Conference on Trade and Development,,
- Wagijono, 2011, SISTEM TRANSPORTASI NASIONAL (SISTRANAS) URAT NADI TRANSPORTASI PENDORONG DAN PENDUKUNG PEMBANGUNAN SELURUH SEKTOR, *Jurnal Aplikasi Pelayaran dan Kepelabuhanan*,
- WG/Efek, A,, 2012, *ACS PETUNJUK INDIKATOR OPERASIONAL*, s,l,: Asian Classification Societies (ACS),

Wildenboer, E., 2015, The relation between port performance and economic development, *Literature review and case study of the Hamburg-Le Havre Range*,

Halaman ini sengaja dikosongkan

LAMPIRAN

Halaman ini sengaja dikosongkan

BIODATA PENULIS



Penulis bernama lengkap Al Taqna Adam Wijaya, lahir di Semarang, 12 Januari 1994 dan bertempat tinggal di Jl, Kamiluto Raya No, 3, tepatnya di Desa Muktiharjo Kidul, Kecamatan Pedurungan, Penulis merupakan lulusan D3 Teknik Perkapalan Universitas Diponegoro pada tahun 2015 kemudian melanjutkan jenjang Lintas Jalur S1 Teknik Sistem Perkapalan di Institut Teknologi Sepuluh Nopember pada tahun 2017, Penulis aktif sebagai anggota Laboratorium *Reliability, Availability, Maintainability and Safety (RAMS)*, Penulis telah menempuh karir sebagai *Hull Supervisor* di Galangan Janata Marina Indah (JMI) Semarang sebelum melanjutkan pendidikan ke jenjang Magister di DTSP ITS tahun 2018, Penulis juga aktif dalam beberapa project bersama tim dosen di Departemen Teknik Sistem Perkapalan, Project tersebut diantaranya adalah sebagai Verifikator KM, Sabuk Nusantara untuk Kantor Pelni di wilayah Bengkulu, Padang dan Ambon; Asisten Pimpro untuk pekerjaan inspeksi dan bangunan baru kapal, Dalam bidang akademik, penulis mengambil bidang Monitoring Bahan Bakar dengan pengembangan berdasarkan AISITS sebagai bidang khusus penelitian selama kuliah Magister, Ketertarikan penulis pada bidang monitoring telah lama diminati, sehingga pada penelitian yang tertuang dalam tesis kali ini, penulis mengambil tema tentang monitoring bahan bakar bekerjasama dengan Pelni (dengan objek penelitian KM, Doro Londa rute pelayaran Surabaya-Jakarta) guna mengetahui monitoring bahan bakar secara real time dalam setiap kapal yang dimiliki sebagai aset perusahaan, Penulis menyadari dalam penelitian ini masih banyak kekurangan serta masih banyak hal yang perlu untuk dikembangkan, oleh karena itu penulis berharap adanya kritik, saran serta sharing knowledge dari pihak-pihak terkait guna mengembangkan penelitian sejenis,

Al Taqna Adam Wijaya
wijaya.adam12@gmail.com

Halaman ini sengaja dikosongkan